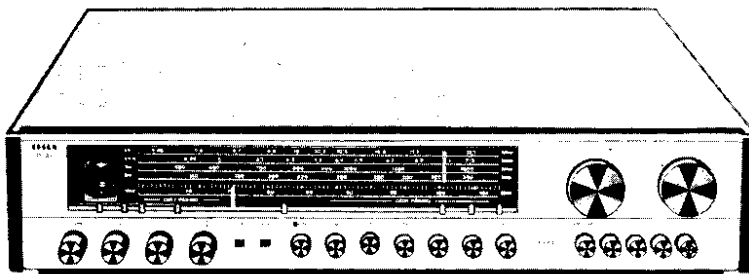


# STEREOFONNÍ ROZHLASOVÝ PŘIJÍMAČ TESLA 810A SP 201

Vyrobila TESLA BRATISLAVA v letech 1973 - 75



Obr. 1. Přijímač 810A

## VŠEOBECNĚ

Jakostní stolní přijímač osazený 50 tranzistory a 36 diodami, vybavený 9 + 4 laděnými okruhy pro příjem stereofonních i monofonních fm signálů na dvou pásmech a 7 + 2 laděnými okruhy pro příjem am signálů na čtyřech vlnových rozsazích. Další vybavení přístroje: Tlačítkový prepinač místního a dálkového příjmu fm, monofonního příjmu stereofonního fm signálu s indikací, potlačení šumu při přelaďování mezi fm stanicemi, afc, regulace osvětlení stupnice, volby vlnových rozsahů, provozu s gramofonem, přípojky pro amplitudovou nebo rychlostní přenosku, přípojky pro sluchátka, zapínání a vypínání sítě. Výladění stanic je usnadněno indikací hrubého a jemného ladění dvěma měřicími přístroji a světelnou indikací stereofonního signálu (fm) nebo indikací jedním měřicím přístrojem (am) a také posuvnými značkami na stupnici. Stereofonní koncový zesilovač se ovládá regulátorem hlasitosti, oddělenými regulátory basu a výšek a regulátorem vyvážení. Kromě obou druhů antén lze k přijímači připojit nízkofrekvenční zesilovač, magnetofon, gramofon s amplitudovou nebo rychlostní přenoskou a na výstup dvě reproduktorové soustavy nebo stereofonní sluchátka. Materiál skříně, která tvoří horní stěnu a bočnice přijímače, je ořech s vláknitým povrchem nebo jasan.

## TECHNICKÉ ÚDAJE

### Vlnové rozsahy

velmi krátké vlny	65,5 - 104,5 MHz
krátké vlny I	9,5 - 12,2 MHz
krátké vlny II	5,95 - 7,4 MHz
střední vlny	525 - 1605 kHz
dłouhé vlny	150 - 340 kHz

### Mezifrekvence

10,7 MHz	pro fm
468 kHz	pro am

Osazení tranzistory a diodami

T101	KF125	-	vf zesilovač; fm
T102	KF125	-	směšovač; fm
T103	KF125	-	oscilátor; fm
D101	KA204M	-	afc
D102	GA201	-	mf omezovač
T104	GC516	}	stabilizátor napěti
D103	KZ721	-	
T201	KF125	-	mf zesilovač; fm
T202	KF125	-	mf zesilovač; fm
T203	KF125	-	mf zesilovač; fm
D202	GA206	-	usměrňovač pro zpožděné avc
T204	KF125	-	mf zesilovač; fm
D203	2-GA206	-	poměrový detektor; fm
D204			
T205	BC226	-	zesilovač pro zpožděné avc
D205	GAZ51	-	usměrňovač řídícího napěti
T210	GC511K	-	zesilovač pro indikaci stereo
T211	KC148	-	předzesilovač pro práh stereo
T212	KC148	-	zesilovač řídícího napěti
T213	KC148	-	předzesilovač pro práh stereo
T214	GC516	-	zesilovač pro práh stereo
T215	GC517	-	předzesilovač pro potlačení šumu
T216	KC148	-	zesilovač pro potlačení šumu
T301	OC170	-	zesilovač a oddělovač v dekodéru
T302	KC507	-	zesilovač pilotního signálu 19 kHz
D302	GA201	-	násobič pilotního signálu
D303	GA201	}	
T303	KC507	-	zesilovač signálu 38 kHz
D301	GA201	-	práh indikace stereo
D304	GA201	}	
D305	GA201	-	zdvojovač napěti pro indikaci stereo
D306			
D307	4-GA203	-	křížový detektor
D308			
D309			
T206	KC148	-	oddělovací stupeň } levý kanál
T207	GC517	-	impedanční měnič }
T208	KC148	-	oddělovací stupeň } pravý kanál
T209	GC517	-	impedanční měnič }
T701	KF125	-	směšovač; am
T702	KF125	-	
T703	KF125	-	oscilátor; am
T704	KF124	-	mf zesilovač; am
T705	KF124	-	mf zesilovač; am
D701	KA204	-	měnič šířky pásma
D702	KA201	-	dolaďování mf okruhu
D703	KA204	-	měnič šířky pásma
D704	KA201	-	dolaďování mf okruhu
D705	GA203	-	detektor; am
T706	KC148	-	nf zesilovač a zesilovač řídícího napěti
T001	KC149	}	korekční předzesilovač pro přenosku; levý kanál
T003	KC148	-	
T002	KC149	}	
T004	KC148	-	korekční předzesilovač pro přenosku; pravý kanál

T801	KC149	-	nf impedanční transformátor; levý kanál
T802	KC149	-	nf impedanční transformátor; pravý kanál
T803	KC148	-	korekční zesilovač; levý kanál
T804	KC148	-	korekční zesilovač; pravý kanál
T901	KC148	-	napěťový zesilovač; levý kanál
T902	KC148	-	napěťový zesilovač; pravý kanál
T903	KC148	-	budicí zesilovač; levý kanál
T904	KC148	-	budicí zesilovač; pravý kanál
D901	KA501	{	
D903	KA501	-	stabilizátor napěti; levý kanál
D905	KA501	{	
D902	KA501	{	
D904	KA501	-	stabilizátor napěti; pravý kanál
D906	KA501	{	
T907	KF506	{	
T905	KF517	-	výkonový zesilovač; levý kanál
T601	KU611	{	
T603	KU611	{	
T908	KF506	{	
T906	KF517	-	výkonový zesilovač; pravý kanál
T602	KU611	{	
T604	KU611	{	
D401	KY130/80	{	
D402	KY130/80	{	dvocestný usměrňovač
D403	KY130/80	{	
D404	KY130/80	{	
T401	GC511K	{	
D405	7NZ70	{	stabilizátor napěti
D601	KY721F	{	
D602	KY721F	{	dvocestný usměrňovač
D603	KY721F	{	
D604	KY721F	{	

Indikační a osvětlovací žárovky

Z1	12 V/0,1 A	-	indikace mono
Z2	6 V/0,05 A	-	indikace stereo
Z4	12 V/0,1 A	-	osvětlení ukazovatelů vyladění
Z3	12 V/0,1 A	{	osvětlení stupnice
Z5	12 V/0,1 A	{	

Anténní impedance na vkv

300 Ω

Koefficient odrazu

≤ 0,5

Vysokofrekvenční citlivost

kv	3 μV (nasycený stav, vstupní signál snížen o 3 dB) nebo 1,7 μV (monofonní signál, fm 1 kHz, zdvih 40 kHz, odstup -26 dB) nebo 7,5 μV (stereofonní signál, L = P, fm = 1 kHz, celkový zdvih 40 kHz, odstup -26 dB)
----	---

kv I 30 μV

kv II 20 μV

sv 20 μV

dv 25 μV

(signál am 1 kHz/30%, odstup -10 dB, úzké pásmo)

Práh stereofonního příjmu	asi 10 $\mu$ V
Práh potlačení šumu na vkv	asi 7 $\mu$ V
Vysokofrekvenční selektivita	
vkv	40 dB při rozladění $\pm$ 300 kHz
sv	40 dB při rozladění $\pm$ 9 kHz, nastavení na úzké pásmo a výstupní napětí na "R" 20 mV
Potlačení zrcadlového signálu	
vkv	-40 dB
sv	-50 dB
Potlačení mf signálu	
vkv	-60 dB
sv	-52 dB
Odstup cizího napěti pro vf	
vkv	mono -66 dB stereo -60 dB (vstupní signál 1 mV, fm 1 kHz, zdvih 40 kHz)
sv	-60 dB (vstupní signál 100 mV, am 1 kHz/30 %)
Přeslechy mezi kanály na vkv	
	-40 dB (vstupní signál 1 mV, fm 1 kHz)
Potlačení pilotního signálu na vkv	
	19 kHz        -60 dB 38 kHz        -60 dB (vstupní signál 1 mV, L = P, fm 1 kHz, celkový zdvih 67,5 kHz)
Samočinné vyrovnávání citlivosti	
	60 dB (vstupní signál 100 mV, am 1 kHz/30 %)
Výstupní napětí	
vkv	"R"            800 mV magnetofon    asi 40 mV (vstupní signál 1 mV, fm 1 kHz, zdvih 40 kHz)
sv	"R"            280 mV magnetofon    asi 12 mV (vstupní signál 1 mV, am 1 kHz/30 %)
Citlivost pro přenosku	
	rychlostní        5 mV/47 k $\Omega$ amplitudovou    150 mV/1 M $\Omega$
Odstup cizího napěti pro nf	
	regulátor hlasitosti na max.        -65 dB vstup pro rychlostní přenosku        -55 dB regulátor hlasitosti na -20 dB        -70 dB
Přebuditelnost	
	vstup pro rychlostní přenosku        20 dB vstup pro amplitudovou přenosku        24 dB

Výstupní impedance

2 x 8 Ω (pro reproduktory)

Jmenovitý výstupní výkon

sinusový 2 x 7 W  
hudební 2 x 10 W

Nízkofrekvenční kmitočtová charakteristika

20 - 20 000 Hz ± 1,5 dB

vstup pro rychlostní přenosku

40 - 20 000 Hz ± 2 dB

výkonová charakteristika pro zkreslení 1 %

20 - 16 000 Hz / -3 dB

Harmonické zkreslení nf části

≤ 1 % v pásmu 40 - 10 000 Hz

Přeslechy mezi nf kanály

-50 dB pro 1 kHz  
-36 dB v pásmu 250 - 10 000 Hz

Rozsahy regulaci basů a výšek

při 100 Hz                   ± 10 dB  
při 10 kHz                   ± 10 dB

Rozsah regulace vyvážení

+ 1 dB                   - ∞

Napájení

ze sítě 120 nebo 220 V; 50 Hz

Příkon při jmenovitém výstupním výkonu

asi 50 W

Jištění tavnými pojistkami

POL	0,3 A pro 220 V
	0,5 A pro 120 V
PO2	0,6 A pro napájení žárovek
P03	0,3 A pro napájení vf části
P0901	0,8 A } pro napájení výkonových zesilovačů
P0902	0,8 A }

Rozměry a hmotnost

430 x 105 x 315 mm           6,5 kg

### POPIS ZAPOJENÍ

Schéma zapojení přijimače S10A je na příloze, která je z technických důvodů vytištěna na dvou listech. Součásti znázorněné na uvedeném schématu mají následující význam (pokud je třeba, sledujte i tabulku funkcí tlačítkových přepínačů na str. 51):

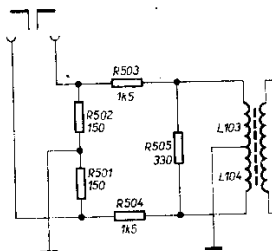
#### PŘÍJEM KMITOČTOVÉ MODULACE

##### Vf zesilovač, směšovač, oscilátor, afc

Vf signály z dipólové antény se přivádějí na symetrický vstup přijimače. Silný místní vysílač by mohl ohrozit příjemové podmínky (křížová modulace ve směšovači); proto je třeba jej zmenšit symetrickým útlumovým členem z odporu R501 - R505, který se zapoje do anténního obvodu přepínačem P13 (MÍSTNY PRIJEM); viz obr. 2. Dosažený útlum je asi -26 dB. Vstupní

laděný okruh je tvořen cívkou L105, ladícím kondenzátorem C103 a doložovacím kondenzátorem C104; jeho přizpůsobení anténní impedanci upravují vinutí L101 - L104 a vazbu s výf zesilovačem T101 zprostředkují členy C101, L106. Uvedené prvky významně ovlivňují šířku přenášeného pásma, přiznivě upravují zrcadlovou selektivitu a omezují vyzařování oscilátorového signálu do antény. Laděný okruh je sériový, tj. má induktivní charakter, jeho reaktance stoupá při naruštění kmitočtu a tak se zavádí účinná záporná zpětná vazba pro vyšší harmonické přijímaného signálu. Tyto harmonické vznikají na nelineárních přechodech tranzistorů a směšováním s harmonickými oscilátoru nebo s jinými signály způsobují křížovou modulaci s parazitními příjmy. Zapojení tranzistoru T101 (a také dalších stupňů) se společnou bází zaručuje stabilitu a rovnoměrnost parametrů v celém rozsahu ladění. V kolektorovém obvodu tranzistoru je zařazena výf pásmová propust uspořádaná jako článek  $\pi$  (členy C106, C107, L108, C109, C108). Výhodou zapojení je kompenzace různých vlivů, která umožňuje dosáhnout stálé selektivity v celém přeladovaném pásmu, v daném případě asi 1 MHz. Tlumivka L107 nemá na výf poměry vliv; pouze uzavírá napájecí okruh tranzistoru. Vazba pásmové propusti s následujícím směšovačem T102 je kapacitní (dálečem C106, C107) a také induktivní (vazební cívka L109).

Zatímco do emitorového obvodu směšovače se zavádí zesílený a upravený přijímaný signál, do obvodu báze přichází přes malou oddělovací kapacitu C120 signál z Clappova oscilátoru, osazeného tranzistorem T103. Laděný okruh L112, C123, C124 je vázán s kolektorem a má podobné provedení a přednosti jako předcházející pásmová propust: dosahuje se jím dobrý souběh oscilátoru s ostatními laděnými okruhy a vhodně se vyrovnává i regulační strmost AFC, které by jinak bylo na nižších kmitočtech neúčinné, kdežto na vyšších by se mohlo objevit přeskakování na stanici blízkou ke stanici naladěné. Impedance laděného okruhu je přizpůsobena kapacitním děličem z členu C119,  $C_{EB}$  nižší impedance emitorového obvodu. Členy L120, R119 zabraňují nežádoucímu kmitání oscilátoru a tlumí za L111 uzavírá kolektorový obvod.



Obr. 2. Anténní útlumový člen

Základem obvodu AFC je varikap D101, připojený k oscilátorovému okruhu přes oddělovací kondenzátory C121, C122. Rídící napětí při nesprávném naladění přijimače se přivádí z výstupu poměrového detektoru (bod MB9), filtruje se a upravuje členy R287, R603, C601, C125, R117, R116, C122 a zavádí se na varikap spolu se základním napětím stabilizovaným Zenerovou diodou D103. Obvod samočinně doložuje přijimač, jen je-li přerušen zkrat na zem přes odpor R289 a spojku 2, tj. tlačítka P3 (AFC) je stisknuto.

Průběh oscilátorového signálu v bodu MB1 vyrovnává kmitočtově závislá zátěž L110, R107, takže zisk směšovače je v celém rozsahu ladění konstantní. Tato zátěž má navíc induktivní charakter pro harmonické signály (tj. její reaktance stoupá s kmitočtem), čímž se zlepšuje odolnost směšovače vůči parazitním příjmul podobně jako ve výf zesilovači. Samostatný oscilátorový stupeň a jeho volná vazba se směšovačem zabezpečuje malou závislost kmitočtu na velikosti zpracovávaného signálu (omezuje možnou přeměnu amplitudové modulace rušivých vstupních signálů na kmitočtovou modulaci signálu mezifrekvenčního). Jednotlivé sekce ladícího kondenzátoru jsou mechanicky spřaženy k zajištění spolehlivého souběhu naladění všech tří okruhů v celém rozsahu. Oscilátorový kmitočet je o mezifrekvenci vyšší než kmitočet přijímaného signálu. Směšováním obou signálů vzniká mf signál 10,7 MHz.

#### Mezifrekvenční zesilovač, AFC, detektor

V kolektorovém obvodu směšovače (bod MB2) je zařazena mf pásmová propust MFO se šířkou pásma asi 300 kHz. Primární okruh L113, C112 je tlumen odporom R105 a při větších signálech i omezovací diodou D102. Při malých signálech je dioda uzavřena předpětím v závěrném směru (z děliče R109, R110). Diodový okruh uzavírá kapacita C111, mf okruh členy C110, R108.

Sekundárni okruh L114, C113 je vásán stínéním vedením s emitorem tranzistoru T201, který ~~pracuje~~ jako první, řízený stupeň mf zesilovače. Všechny čtyři stupně jsou zapojeny se společnou bází, což zajišťuje dobrou stabilitu a souměrnost amplitudové charakteristiky i bez neutralizace. Jednotlivé stupně jsou vásány pásmovými propustmi MF1, MFII, MFIIIa s indukční vazbou nastavitelnou cívками L115, L202, L205, L208. Sekundárni okruhy propustí jsou přizpůsobeny následujícím nízkoimpedančním vstupním kombinovanými kapacitními díloží C113, C114, C201; C207, C208; C211, C212, C214; C218, C219, C221. Tlumící odpory v kolektorových obvodech omezuji vliv silnějších signálů na přenosové vlastnosti propustí.

V sekundárním obvodu třetí propusti je navíc zapojena dioda D202, z níž se odebírá řídící napětí, které se po filtrace a oddělení členy C217, R220, L219 zasíluje ve stejnosměrném zesilovači T205 (v obvodu je také měřicí bod MB3, do něhož se připojuje osciloskop při sladování mf pásmových propustí) a zavádí přes odpor R201 v závěrném směru na emitor tranzistoru T201. Uvedený odpor zmenšuje kolísání vstupní impedance mf zesilovače při regulaci, které by jinak nepříznivě ovlivňovalo předcházející laděný okruh. Časovou konstantu regulace určují členy R202, C202, pronikající vysoké kmitočty se filtrovají kapacitami C205, C204. Napětí vzniklé na emitorovém odporu R205 způsobuje, že se tranzistor otevře, až když napětí na bázi dosáhne -0,5 V; činnost AFC je tedy zpožděná. Přednosti regulace zesílení prvního stupně mf zesilovače je stabilita kmitočtové a fázové charakteristiky, a v důsledku toho i malá závislost přeslechů mezi kanály na velkých změnách úrovně signálu.

Amplituda mf signálu se v celém mf zesilovači neomezuje. Děje se tak až v kolektorovém obvodu tranzistoru T204, kde je zapojen primární okruh L210, C225 a s ním induktivně vásaný i sekundární okruh L212, L213, C226 a další části poměrového detektoru. Vzdálenost vrcholu demodulační křížky samotného detektoru je 700 - 800 kHz a mf zesilovač zajišťuje pracovní oblast asi na 220 kHz, je-li vstupní napětí přijímače větší než 10 µV. Při slabších signálech se šířka pásmá přenášeného detektorem zmenšuje na 150 kHz; tak se zlepší šumové poměry a přitom ještě není ovlivněn nezkreslený přenos stereofonního signálu. Rozdíly ve vlastnostech diod D203 a D204 a tím i potlačení amplitudové modulace se nastavují potenciometrem R230, nulové napětí na výstupu prvkem R232. Po oddělení tlumivkou L215 se odvádí jednak se řídící napětí pro AFC do bodu 6<sup>X</sup> vstupní části pro FM a také přes filtr R288, C235 a spojky 5, 8 na měřicí přístroj M1 a nulou uprostřed, jednak demodulovaný signál na vstup stereofonního dekodéru. Poslední dva mf stupně jsou umístěny včetně tranzistorů a laděných okruhů ve zvláštním oboustranném stinicím krytu, který omezuje rušivé vlivy silného mf signálu na vstupní část.

#### Stereofonní dekodér, oddělovač s filtry

Vstupní zesilovač dekodéru, osazený tranzistorem T301, zpracovává celý demodulovaný signál. K dosažení přímé přenosové charakteristiky tohoto zesilovače je zavedena záporná zpětná vazba mezi obvody emitoru a báze. Teprve v kolektorovém obvodu se z pracovního odporu R307, odděleného kondenzátorem C304, odebírá zvlášť pilotní signál 19 kHz na laděném okruhu L301, L301', C309, odděleném odporem R309, zatímco modulovaný signál se (po úpravě průběhu členy R308, C305) zavádí přes oddělovací kondenzátor C311 do středu křížkového přepínače. Laděný okruh je odbočkou přizpůsoben vstupní impedance dalšího zesilovače (T302), jehož zisk a charakteristiku upravuje opět zpětná vazba na částečně blokovaném emitorovém odporu R312. Stupeň pracuje jako zdvojováč, protože jeho pracovní impedance tvoří okruh L302, L302', L302'', C307, naladěný na 19 kHz, a ze získaného signálu se dvoucestným usměrňením diodami D302, D303 obnovuje pomocná nosná vlna s dvojnásobným kmitočtem. Ta se po opětném zesílení ve stupni T303 odvádí z laděného okruhu L303, L303', L303'', C315 k souměrnému vybuzení protilehlých bodů křížkového přepínače.

Přepínač je osazen diodami D306 - D309, které jsou při monofonním provozu vodivé (otvírá je proud protékající odpory R324, R321 a R322, R323). Signál ze středu přepínače se tak dostává na výstupy pro oba kanály. Při stereofonním provozu se dvojice diod D306, D307 a D308, D309 střídavě otvírají vlivem změny polarity obnovené nosné vlny. Tak se signál dekóduje, tj. levý kanál se odvádí přes odpor R325, R326, pravý kanál přes R327, R328. Požadovaný odstup mezi oběma kanály se dociluje jednak úpravou fáze pomocné nosné vlny (doladováním prvního laděného okruhu), jednak zaváděním fázově posunutého modulovaného signálu z emitoru prvního stupně - po odfiltrování pilotního signálu členy C303, C324, C312, R319, C322

a R320, C323 - do protilehlých bodov křížového přepinače (nastavením miniaturního potenciometru R306).

Na výstupu dekodéru jsou v levém (pravém) kanálu zařazeny oddělovací stupně T206 (T208), v jejichž kolektorových obvodech se účinně potlačují dolnofrekvenční propustmi zbytky pilotního signálu, obnovené nosné vlny a jejich harmonických, které by jinak nepříznivě ovlivňovaly nf zesílení, případně magnetofonovou nahrávku. Cívku L221 (L222) se nastavuje potlačení signálu 19 kHz a cívku L223 (L224) se upravuje zdůraznění kmitočtu 14,5 kHz. Následující stupeň T207 (T209) je zapojen jako emitorový sledovač, z něhož lze přes oddělovací kondenzátor C248 (C249) a příslušné doteky přepinače napájet nf zesilovač s nízkoohmovým vstupem, případně pro napájení použít dlouhý stíněný přívod s velkou kapacitou; připojka "R", zděře 3, 2 a 5, 2 má totiž výstupní impedanci jen asi 300 Ω.

#### Pomocné obvody, indikace

Na sekundární okruh pásmové propusti MFIIIA je volně (přes členy C219, R221; odbočka) vázán úzkopásmový mf rezonanční okruh MFIIIB, z něhož se po usměrnění diodou D205, filtraci a zesílení v ss zesilovači T212 získává řídící napětí pro pomocné a indikační obvody reagující na velikost přijímaného signálu. Spolehlivá činnost obvodu, která se má projevit jen při přesném naladění přijímače na přijímaný signál, je dána vysokou jakostí uvedeného okruhu; tato podmínka je splněna a navíc je okruh málo tlumen poměrně velkou vstupní impedancí tranzistoru T212.

Z emitoru tohoto tranzistoru (v tomto případě zapojeného jako emitorový sledovač, jehož zisk je upraven zpětnou vazbou z členů R234, L218, R235) je napájen přes spojky 1, 3 a příslušné doteky přepinače P10 (VKV) ukazovatel vyladění M2. Koncová výchylka tohoto přístroje se nastavuje potenciometrem R263, časovou konstantu setrvačnosti výchylky určuje členy R261, C250.

Z kolektorového obvodu tranzistoru T212 je zavedena přímá vazba na další zesilovací stupeň T215, který spolu s následujícím T216 tvoří obvod pro potlačení šumu. Je-li přijímač bez signálu, případně je-li přijímaný signál nižší než asi 7 µV (práh se nastaví potenciometrem R264), jsou oba tranzistory obvodu uzavřeny a v důsledku poklesu záporného napětí na bázi tranzistoru T204, spojené s obvodem přes filtry L214, C224, R224, C223 (báze je vlastně spojena se zemí přes odpor R280), vzroste jeho kolektorový proud asi na 9 mA, poklesne napětí  $U_{KE}$  a cesta mf signálu se uzavře. Teprve při silnějším přijímaném signálu se oba tranzistory ss zesilovače otevřou, na bázi T204 se dostane větší záporné napětí a mf zesilovač se tak uvede do normálního pracovního režimu. Podmírkou činnosti obvodu je stisknuté tlačítko P2 (SUM), jehož doteky uzavírají přes spojky 6, 7 okruh napěťového děliče R271, R274, R276 v bázovém obvodu tranzistoru T216. Popsaná automatika má skokový charakter, jehož určitou setrvačnost při opětném otváření mf zesilovače zajišťuje pokles vstupní impedance tohoto stupně a tedy i snížení signálu na děliči C218, C221, je-li stupeň uzavřen. Díky úzké rezonanční křivce okruhu MFIIIB se potlačují i rušivé jevy při nepřesném naladění přijímače a rovněž část rušivých signálů vzniklých ve vstupní části v důsledku přijímu velmi silných vysílačů.

Také obvod, vymezující práh příjmu stereofonních signálů, je řízen napětím z tranzistoru T212. Řídící signál z emitoru se zesiluje ve dvoustupňovém zesilovači, osazeném tranzistory T213, T214, a zavádí se přes oddělovací odpory R310 do stereofonního dekodéru, kde otvírá zesilovač pilotního signálu T302. Prahová úroveň se nastavuje potenciometrem R262 při vstupním signálu asi 10 µV, čímž se vylučuje možnost příjmu stereofonního pořadu s horším odstupem signálu od šumu než asi -26 dB. Při menším signálu se uzavře cesta pro pilotní signál v dekodéru a pořad se reprodukuje monofonně; protože také monofonní signál prochází dekodérem, potlačuje se v něm v tomto případě alespoň rušení v blízkosti kmitočtu pilotního signálu. Pro případ trvalé nedostatečného signálu a z toho vyplývajícího neúnosného rušení lze uvedený stav zapnout jako trvalý tlačítkem přepinače P12 (MONO). Přitom se přes odpory R275 a spojky 9, 7 uzemní báze tranzistoru T214, který se tak uzavře, a cesta pilotního signálu tranzistorem T302 je rovněž uzavřena; současně se propojí i oba nf kanály na vstupu korekčního zesilovače a rozsvítí se červená žárovka Z1, čímž se indikuje nucený monofonní provoz.

V demodulovaném (i monofonním) signálu se však mohou objevit složky, jejichž kmitočet je blízký 19 kHz a přitom jejich velikost je nezávislá na úrovni přijímaného signálu; takové složky způsobují krátkodobé spouštění dekodéru, blikání indikátoru STEREO a výrazné rušení

(sykavky v řeči, parazitní zázněje). K jejich potlačení je zavedena v dekodéru další automatica, řízená úrovní pilotního signálu. Je-li tato úroveň menší než asi 12 mV, je první laděný okruh v dekodéru rozladěn kondenzátorem C310, který je k okruhu připojen diodou D301. Při větším pilotním signálu stačí střídavé napětí z bodu MB11, vedené přes kapacitu C317 a usměrněné ve zdvojovači D304, D305, C313, C316, zapůsobit proti pevnému napětí z děliče R313, R314 a diodu D301 uzavřít. Při nalaďení na bok rezonanční křivky poměrového detektoru by mohlo rušivé napětí překročit prahovou úroveň; v té době je však už blokován tranzistor T302 dříve popsanou automatikou.

Zdvojené napěti pilotní automatiky (z bodu MB10) se také používá k indikaci stereofonního signálu. Napěti otvívá tranzistor T211, zapojený jako ss zesilovač s přímou vazbou na koncový stupeň T210, v jehož kolektorovém obvodu je zapojena přes dělič R281, R282 a spojku 12 zelená žárovka Z2 (STEREO). Žárovka svým rozsvícením vlastně indikuje, že pilotní signál překročil svou prahovou úroveň.

#### PŘIJEM AMPLITUDOVÉ MODULACE

##### Směšovač, oscilátor

Vf signály z antény se přivadějí přes oddělovací tlumivku L604 a dále přes členy R608, L605 (tyto se při příjmu na kvI a kvII zkratují) a přes paralelní odládovač L601, C607 na sériový odládovač L602, L603 (oba odládovače potlačují rušivé signály s kmitočtem blízkým mezi-frekvencí) a na cívky L704, L708, L712, L716, jimiž je provedena indukční vazba s laděným okruhem L705, C704, C705, C747 pro rozsah kvI, L709, C708, C709, C748 pro kvII, L713, C713 pro sv a L717, C716, C717 pro dv. Jednotlivé okruhy se připojují k ladícímu kondenzátoru C603 a s impedančním přizpůsobením (odbočky vinutí) váží přes doteky přepinačů P6 - P9 a přes oddělovací kondenzatory C719, C720 s dvoustupňovým směšovačem, osazeným tranzistory T701, T702. Nezapojené okruhy jsou zkratovány. Báze obou tranzistorů jsou společné pro vf a na spojené emitory se přivádí přes oddělovací člen C721, R704 oscilátorový signál.

Tranzistor T703 je zapojen jako LC-oscilátor. Kmitočet určuje laděný okruh L706, C703 na rozsahu kvI, L710, C707 na kv II, L714, C711 na sv a L718, C715, (C712) na dv, spojený přes souběžové kapacity C702, C706, C710 a C714 s ladícím kondenzátorem C602 a vázaný opět s impedančním přizpůsobením s kolektorem. Zpětná vazba je zavedena z emitoru přes oddělovací kondenzátor C718 na vazební vinuti L707, L711, L715, L719. Nezapojené okruhy jsou zkratovány. Samostatný oscilátorový stupeň a jeho volná vazba se směšovačem zabezpečuje malou závislost kmitočtu na velikosti zpracovávaného signálu. Oscilátorový kmitočet je o mezifrekvenci vyšší než kmitočet přijímaného signálu. Směšováním obou signálů vzniká mf signál 468 kHz.

##### Mf zesilovač, detektor, avc, indikace, šířka pásma

S kolektorem tranzistoru T701 je vázán primární okruh L720, C723 mf pásmové propusti MF1, jejíž sekundární okruh L721, C727 je vázán prostřednictvím dvojitěho kapacitního děliče na bázi prvního řízeného stupně mf zesilovače osazeného tranzistorem T704. Následující pásmová propust MF2 je podobně vázána s druhým mf stupněm T705. Oba stupně jsou zapojeny se společným emitorem; emitorové odpory R718 a R726 jsou jen částečně blokovány členy R733, C731 a R734, C739, čímž se vyrovnávají rozdíly ve vstupních impedancích a zisku tranzistoru při kolísání jejich parametrů (záporná zpětná vazba). Tlumící účinek mají také kolektorové odpory.

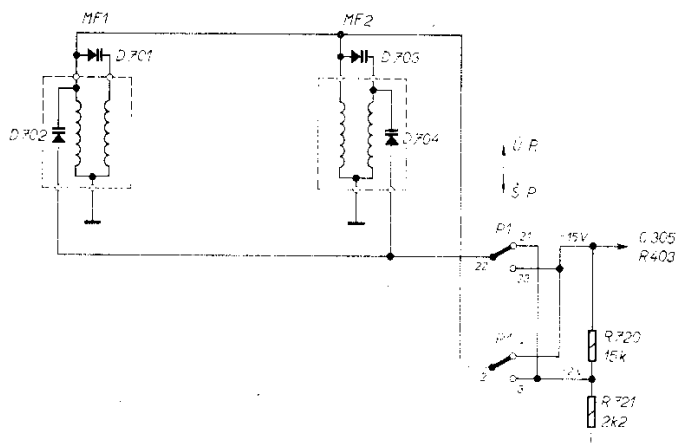
Na výstupu druhého stupně je zapojen mf laděný okruh L724, C740 detektoru D. Vinutím L725 je s okruhem induktivně vázána detekční dioda D705 spolu s pracovním odporem R732 a filtračními členy C742, L726, C744, s nimiž je oddělovacím odporem R735 vázán tranzistor T706, který má dvě funkce. Pro střídavou složku signálu pracuje jako emitorový sledovač, z jehož nízkoohmového výstupu se signál dostává přes oddělovací členy C743, R736 a doteky přepinače P10 na propojené zděře 3 a 5 přípojký "R".

Pro stejnosměrnou složku demodulovaného signálu pracuje tento tranzistor jako ss zesilovač řídicího napěti pro avc. Napěti z pracovního odporu R728, R730 se upravuje děličem R731, R738 a po filtraci členy C741, R729, C736 se zavádí přes odpor R716 na emitor tranzistoru T704 proti pevnému zápornému napěti z odporu R718 (zpožděná regulace) a dále přes členy R712, C726 (časová konstanta regulace), R709 na bázi tranzistoru T702. Regulace ovlivňuje oba

tranzistory směšovače tak, že při vzrůstu signálu stoupá emitorový proud tranzistoru T702 a vlivem zvětšujícího se napětí na společném emitorovém odporu R705 klesá zisk tranzistoru T701. Protichůdnou funkcí obou tranzistorů se dociluje konstantní vstupní impedance směšovače pro široký rozsah regulace a podobně i konstantní emitorové impedance, která tvoří zátěž oscilátoru. Tak je zajištěna stabilita naladění přijímače při kolísání vstupního signálu.

Ridicí napětí z odporu R729 se také zavádí přes příslušné doteky přepínače P10 na měřicí přístroj M2, který také zde slouží jako ukazovatel vyladění.

Šířka přenášeného pásma pásmových propustí MF1 a MF2 se dá zvětšit stisknutím tlačítka P1 (S.P.). Tím se zavede stabilizované napětí z bodu R403, C405 na vazební a dolaďovací vari-kapy v obvodech obou propustí (viz obr. 3). V poloze "úzké pásma", kdy je tlačítko nestlačené, se zavádí toto napětí asi -15 V, vyfiltrované kondenzátorem C730, přes oddělovací odpory R711 a R719 na varikapy D701 a D703, které jsou zapojeny jako vazební kondenzátory vždy mezi oběma laděnými okruhy propustí. Jejich kapacita je tedy poměrně malá. Po zmenšení základního napěti na děliči R720, R721 asi na -2 V se toto napětí zavádí přes oddělovací odpory R713 a



Obr. 3. Zjednodušené zapojení regulace šířky pásma

R722 na varikapy D702 (v sérii vyrovňávací odpor R741) a D704 (zde se ještě hodnota upravuje předpětím z odporu R737). V poloze "široké pásma", kdy je tlačítko stisknuto, se zminěným sníženým napětím zvětší kapacita obou vazebních varikapů, které spolu se sériovými kondenzátory C725 a C733 způsobí zvětšenou kapacitní vazbu mezi okruhy propustí. Současně plné napětí -15 V na obou dolaďovacích varikapech sníží jejich kapacitu, která pak spolu se sériovými kapacitami C745, C746 doladí rozladěné okruhy a upraví rezonanční křivky obou pásmových propustí do původních tvarů.

#### NÍZKOFREKVENČNÍ ČÁST

##### Korekční předzesilovač pro rychlostní přenosku

Rychlostní (tj. magnetodynamická, elektrodynamická) přenoska se připojuje na zděře 3, 2 (5, 2) příslušné přípojky, která je propojena přes oddělovací členy R001, C001 (R002, C002) na vstup korekčního předzesilovače osazeného dvojicí přímovazaných tranzistorů T001, T003 (T002, T004). Pro funkci zesilovače je důležitá jednak kmitočtově závislá zpětná vazba z kolektoru druhého do emitoru prvního tranzistoru, provedená členy C011, C003, R007, C005, R011, R003 (C012, C004, R008, C006, R012, R004) - časové konstanty 3180 μs, 318 μs a 75 μs - jednak stabilizační stejnosměrná zpětná vazba z emitoru druhého na bázi prvního tranzistoru, provedená odporem R009 (R010). Přenosová kmitočtová charakteristika korekčního zesilovače odpovídá mezinárodním doporučením IEC pro rychlostní systém měničů, tj. křivka klesající od kmitočtu 30 Hz se strmostí zhruba 15 dB/dek.

Signál ze zesilovače přichází přes oddělovací odpory R017 (R018) na doteky přepínače P14, jímž lze přepnout provoz s rychlostní přenoskou na přenosku amplitudovou (tj. krystalovou,

piezoelektrickou, keramickou), která se zapojuje do zděří 3, 2 (5, 2) příslušné přípojky. Při provozu s gramofonem musí být vždy stisknuto tlačítka Pl1, jehož doteky připojuji signál některé přenosky na vstup následujícího korekčního zesilovače a odpojuji přitom rozhlasový signál zaváděný sem ze zděří 3, 2 (5, 2) přípojky "R"; doteky 21 - 22 tohoto přepínače odpojí rovněž napájecí napětí pro všechny vf a mf části přijimače a pro stereofonní dekodér.

#### Korekční zesilovač

Na vstupu korekčního zesilovače je zapojena přípojka pro magnetofon, jejiž zděře 3, 2 (5, 2), připojené souběžně k příslušným zděřím přípojky pro amplitudovou přenosku, slouží k reprodukci signálu z magnetofonu; přitom musí být také stisknuto tlačítko Pl1.

Signál z některého zdroje přichází přes vazební kondenzátory C801 (C802) na vstupní tranzistor T801 (T802) v zapojení se společným kolektorem, tzv. impedanční transformátor. Touto úpravou se dosahuje vysoké vstupní impedance stupně, která je potřebná zvláště pro provoz s amplitudovou přenoskou. Z emitoru se vede signál jednak přes odporový dělič R604, R607 (R605, R606) na zděře 1, 2 (4, 2) přípojky pro magnetofon určené pro nahrávání, jednak přes vazební kondenzátor C805 (C806) na regulátor hlasitosti R815 (R816), na jehož tří odběry je připojen složitý obvod z odporů a kondenzátorů, umožňující fyziologický průběh regulace, tj. v podstatě zdůraznění basu při malé hlasitosti.

V následujícím stupni T803 (T804) je zavedena mezi kolektorem a bází kmitočtově závislá zpětná vazba v tzv. Baxandallově zapojení. Vazbu tvoří regulátor výšek R817, C811, R821 (R818, C812, R822), regulátor basu R827, C813, C815 (R828, C814, C816) a slučovací prvky R819, R823, R825 (R820, R824, R826). Obvod je zapojen přes oddělovací kondenzátory C817, C819 (C818, C820); nejvyšší složky kmitočtového spektra omezují kondenzátory C821 (C822). Při nařízení běžce regulátoru na ten konec odporové dráhy, na kterém je stupeň zpětné vazby větší, je příslušná část spektra, ovládaná daným regulátorem, zdůrazněna. Na výstupu korekčního zesilovače je zapojen regulátor vyvážení R837 (R838), jímž se dá měnit vzájemný poměr zesílení v obou kanálech. Regulační průběh upravuje odpor R839 (R840).

#### Výkonový zesilovač

Signál se přivádí přes vazební kondenzátor C901 (C902) na bázi tranzistoru T901 (T902) pracujícího jako napěťový zesilovač. Do emitoru je zavedena z výstupu výkonového zesilovače odporem R909 (R910) silná střídavá zpětná vazba, která přiznivě ovlivňuje stabilitu zesilovače a omezuje zkreslení. Za vazebním kondenzátorem C907 (C908) následuje vstup tranzistoru T903 (T904) pracujícího jako budicí zesilovač. Do jeho báze je z výstupu výkonového zesilovače zavedena další, stejnosměrná zpětná vazba, jejiž stupeň, a tím i pracovní bod koncových tranzistorů, se nastavuje potenciometrem R917 (R918); přesné nastavení je nutné, aby omezování vrcholu sinusovky při plném vybuzení zesilovače bylo souměrné.

V kolektorovém obvodu budicího zesilovače je zapojen odporový dělič, jehož součástí je i potenciometr R921 (R922) a souběžná série diod D901, D903, D905 (D902, D904, D906), stabilizující napětí pro nastavení klidových proudů budicí komplementární dvojice T905, T907 (T906, T908) a v důsledku přímé vazby i koncových tranzistorů T601, T603 (T602, T604). Použití komplementární (tj. opačně polarizované) dvojice tranzistorů ve výkonovém zesilovači je výhodné, protože se v něm vzájemně ruší opačné ss složky kolektorových proudů a také proto, že tento dvojčinný stupeň nevyžaduje inverzi vstupního signálu. Střídavé vstupní napětí, zaváděné ve stejně fázi na obě báze, otvírá totiž střídavě vždy jeden tranzistor dvojice zatímco druhý je uzavřen; kolektorové proudy obou tranzistorů se však sčítají a na zářeži se vytváří zesílené střídavé napětí s průběhem odpovídajícím vstupnímu. Poměrná impedanční shoda umožňuje přitom zařadit místo zářeží sériovou kombinaci koncových tranzistorů (kvazikomplementární zapojení), které pak vlastně zpracovávají signál budicího proudového zesilovače na požadovaný výkon.

Proudové špičky, které by mohly ohrozit koncové tranzistory, jsou omezovány odpory R931, R933 (R932, R934). Další nebezpečí přináší přenos nadzvukových kmitočtů; proto jsou omezovány jednak střídavou zpětnou vazbou kondenzátorem C909 (C910) v budicím stupni, jednak blokovací kapacitou C917 (C918) a konečně na výstupu Boucherotovým členem C919, R935 (C920, R936). Zářež koncového zesilovače tvoří reproduktor, který lze připojit do zděří 1 - 2 nebo 3, 4 - 2 levé (pravé) přípojky přes oddělovací kondenzátor C913, C915 (C914,

'916) a píslušné doteky přepinače P15. Po stisknutí tlačítka tohoto přepinače se výstupní signál zavádí přes oddělovací odpory R609 (R610) na zděre 3 - 2 (5 - 2) připojky pro nízkofázová stereofonní sluchátka.

#### NAPÁJECÍ ČÁST

Síťové napájecí napětí se přivádí do přijimače přes doteky síťového spínače P5 (VYP.), žávnou pojistku P01 a doteky voliče síťového napěti P16 na primární vinutí L606, L607, L607' síťového transformátoru TRI (pro 220 V jsou vinutí L606, L607 zapojena v sérii; pro 120 V jsou vinutí L606 a L607, L607' zapojena paralelně). Proti přenosu rušivých signálů ze síťového rozvodu jsou primární vinutí od sekundárních oddělena stíněním.

Napěti ze sekundárního vinutí L608, jištěného tavnou pojistkou P03, se po usměrnění diodami D401 - D404 (blokovánými pro vf kondenzátory C401, C402) v Graetzově zapojení a filtraci členy C403, R401, C404, R402 stabilizuje tranzistor T401, v jehož bázovém obvodu udržuje Zenerova dioda D405 referenční napěti 13,5 - 16,5 V. Záporné napěti přímo z emitoru se zavádí do obvodu indikace STEREO a po filtraci členy R403, C405 do obvodu přepínání šířky pásma, dále (pokud jsou sépnuty doteky přepinačů P10 a P11) přes filtry R725, C738 a R710, C604, C722 do mf a vstupní části pro am nebo přes spojku 4, oddělovací tlumivku L225 a členy R290, C115 do bodu 5<sup>X</sup> vstupní části pro fm (zde se kromě obvodu omezovací diody D102 všechny obvody napájejí z emitoru stabilizačního tranzistoru T104, který je řízen referenčním napětím ze Zenerovy diody D103 - její šum omezuje členy L116, C116) a také na stereofonní dekodér, oddělovač s filtry a pomocné obvody a konečně přes oddělovací tlumivku L220 na mf část pro fm.

Napěti ze sekundárního vinutí L609, jištěného tavnou pojistkou P02, se zavádí na indikační žárovky Z1, Z2 a přes odpory R404 a doteky přepinače P4 (OSV.) na osvětlovací žárovky Z3 - Z5; osvětlení stupnice a měřicích přístrojů lze zvýšit stisknutím tlačítka P4, čímž se zkratuje srážecí odpór.

Napěti ze sekundárního vinutí L610 se po usměrnění diodami D601 - D604 (blokovánými pro vf kondenzátorem C606) v Graetzově zapojení a filtraci kondenzátorem C605 zavádí na výkonové zesilovače, přičemž levý kanál je jištěn tavnou pojistkou P0901 a pravý kanál pojistikou P0902; po filtraci členy R845, C828, R846, C827 se napěti zavádí také na oba korektní zesilovače.

#### SLADOVÁNÍ A MĚŘENÍ

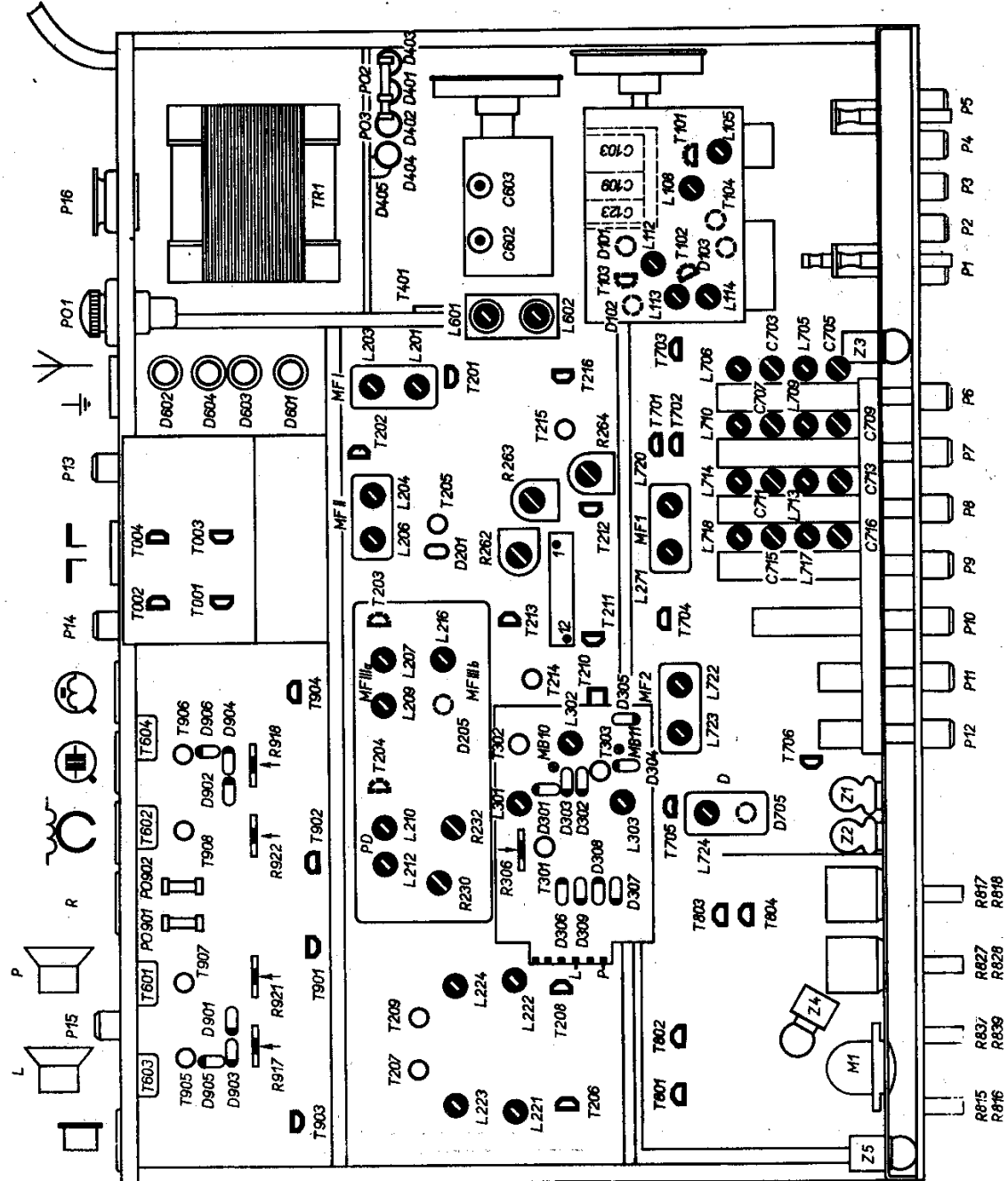
Sladování přijimačů vyšší jakosti je vždy poměrně složité a vyžaduje použití speciálních přístrojů. Při opravách však často stačí jen doladit nebo seřídit rozladěnou nebo vyměnou část a zkontovalovat dosažené hodnoty.

Před sladováním přijimače otejměte skříň (2 šrouby v rozích zadní stěny, 4 na okrajích spodního krytu) po nadzvihnutí její zadní části a spodní kryt (zbývající 3 šrouby).

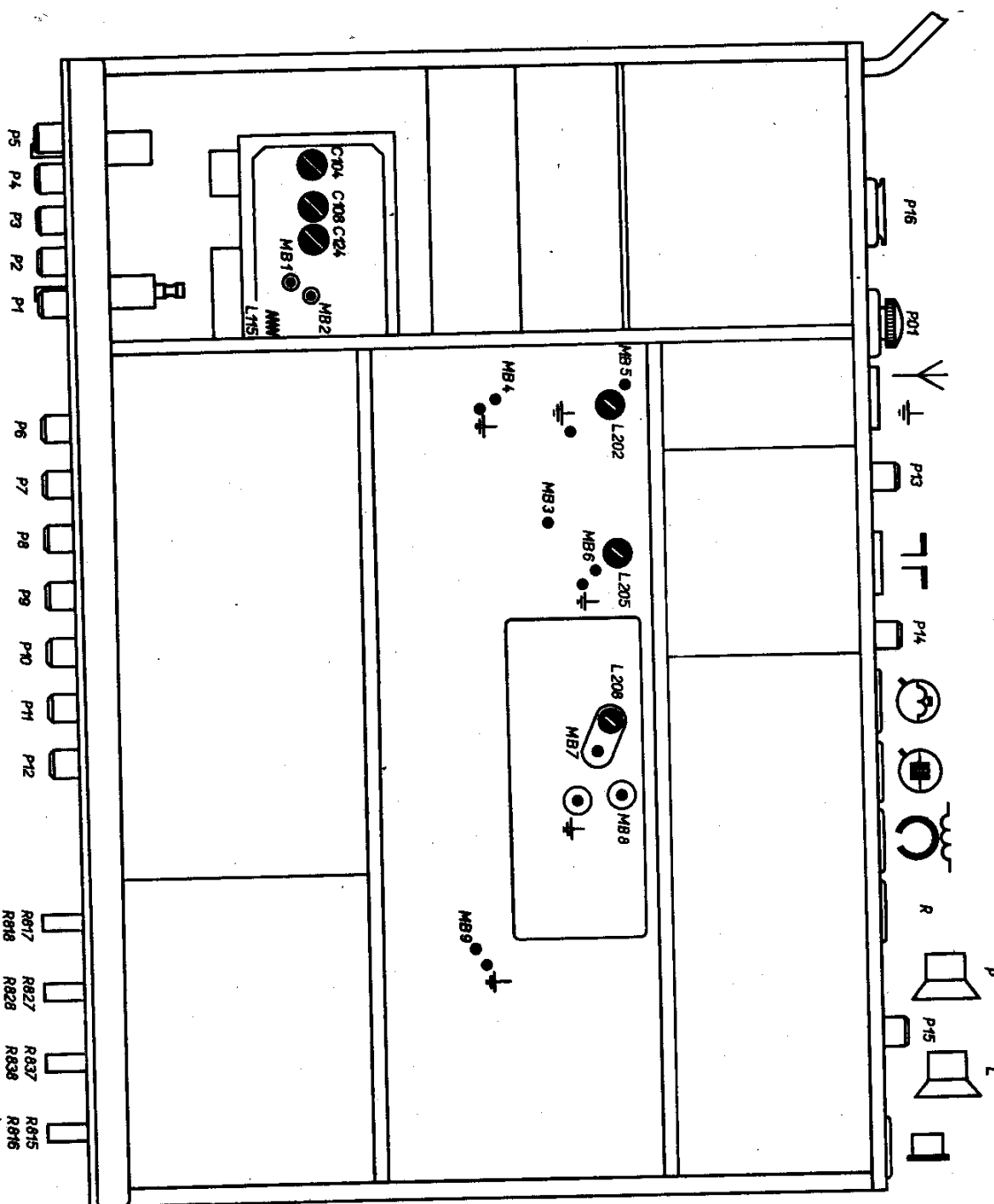
Hozmístění všech ovládacích a sladovacích prvků, měrných bodů a nejdůležitějších elektrických dílů najdete na obr. 4. a 5.

#### PŘÍSTROJE A POMŮCKY

- A. Rozmitač pro 10,7 MHz se značkami 10,6 MHz, 10,7 MHz a 10,8 MHz; nastavitelný zdvih do 1 MHz; úroveň výstupního signálu přepinatelná na 25 mV, 1,2 mV, 70 µV a 30 µV a plynule nastavitelná v rozsahu ±10 dB; výstupní impedance 75 Ω; možnost zapnutí amplitudové modulace 1 kHz/30 %; jasová modulace značek a značky vypinatelné nebo amplitudová modulace značek a značky též na nulové ose.
- B. Osciloskop k rozmitači s citlivostí vertikálního zesilovače 5 mV/cm. Oddělovací odpory 10 kΩ a v sérii bezindukční kondenzátor 500 pF.
- C. Zkušební vysílač signálu 10,7 MHz; cejchovaný dělič výstupního napěti v rozsahu alespoň 10-µV - 10 mV/75 Ω; možnost doladění na značku 10,7 MHz rozmitače (podúrovňový nastavení)



Obr. 44. Slabovací prvky shora



Obr. 5. Sledovací prvky zaspodu

- vací bod); vypinatelná kmitočtová modulace 1 kHz, zdvih 40 kHz a 19 kHz, zdvih 4,5 kHz; výstup přepínatelný na společný kabel s rozmitačem.
- D. Zkušební vysílač signálů 65,5 - 104,5 MHz; cejchovaný dělič výstupního napětí v rozsahu 0,5  $\mu$ V - 500  $\mu$ V/300  $\Omega$  (nebo symetrický člen); kmitočtová modulace 1 kHz, zdvih 40 kHz a 19 kHz, zdvih 4,5 kHz.
- E. Rozmitač pro 468 kHz; nastavitelné výstupní napětí 1  $\mu$ V - 1 mV; amplitudová modulace 1 kHz/30 %. Oddělovací odporník 1,8 k $\Omega$ .
- F. Zkušební vysílač signálů 150 kHz - 15 MHz; cejchovaný dělič výstupního napětí v rozsahu 1  $\mu$ V - 1 mV; amplitudová modulace 1 kHz/30 %. Normalizovaná umělá anténa a bezindukční kondenzátor 33 000 pF.
- G. Nízkofrekvenční milivoltmetr se základní citlivostí 1 mV (pro každý kanál samostatný nebo přepínatelný); vypinatelné filtry 19 kHz a 38 kHz s útlumem alespoň 30 dB; ochrana proti přetížení.
- H. Nízkofrekvenční generátor signálů 20 Hz - 80 kHz; výstupní impedance větší než 5 k $\Omega$ . Oddělovací odporník 47 k $\Omega$ .
- I. Generátor zakódovaného stereofonního signálu s kmitočtem v okolí 99 MHz; výstupní napětí 1 mV/300  $\Omega$  (nebo symetrický člen).
- J. Měřič harmonického zkreslení.
- K. Stejnosměrný elektronický voltmetr (rozsahy 0,1 V - 100 V) a miliampérmetr (1 mA - 100 mA).
- L. Zkratovací anténní zástrčka pro fm.
- M. Dva bezindukční zatěžovací odpory 8  $\Omega$ /15 W.
- N. Paralelní spojení odporu 50 k $\Omega$ /0,125 W a kondenzátoru 2000 pF.

#### NÍZKOFREKVENCNÍ ČÁST

##### Seřízení výkonového zesilovače

Připojte přijímač na regulovatelný zdroj siťového napětí, vyjměte pojistky P0901, P0902 z držáků a nahradte je miliampérmetry. Zvýšte napájecí napětí asi od 100 V do 220 V a ověřte si, že při 220 V nestoupne proud ani v jednom kanálu nad 30 mA. Odpojte miliampérmetry a změřte napětí na kondenzátoru C605 (naprázdno); má být 36 V  $\pm$  5 %. Pokud měření nesouhlasí, zasuňte opět obě pojistky, naříďte miniaturní potenciometr R917 (R918) na střed dráhy a běžec potenciometru R921 (R922) na konec dráhy, směrem k tranzistoru T903 (T404). Regulátor hlasitosti vytvořte zcela doprava, ostatní regulátory naříďte do střední polohy, stiskněte tlačítka PLL a tlačítka P14 ponechte nestlačeno. Do zásuvek pro reproduktory zapojte zatěžovací odpory M.

Připojte voltmetr K mezi společný bod odporníků R931, R933 (R932, R934) a zem a nastavte na něm napětí 17 V otáčením potenciometru R917 (R918). Potom změřte klidový proud koncových tranzistorů T601, T603 (T602, T604), případně jej upravte na 20 mA otáčením potenciometru R921 (R922). Celý postup zopakujte ještě jednou a zajistěte potenciometry nitrolakem.

##### Měření korekčního a výkonového zesilovače

Stiskněte tlačítka PLL a tlačítka P14 ponechte nestlačeno, do zásuvek pro reproduktory zapojte zatěžovací odpory M a k nim souběžně milivoltmetr G. Regulátor hlasitosti vytvořte doprava, ostatní regulátory naříďte do střední polohy, do přípojků pro amplitudovou přenosku připojte generátor H. Měření provádějte vždy na obou kanálech.

##### Citlivost, výstupní výkon, zkreslení

Signál 1 kHz, který vybudí výstupní napětí 7,5 V (výkon 7 W), nemá být větší než 150 mV. Přitom nemá harmonické zkreslení překročit 1 % (měřič zkreslení J připojen souběžně k výstupu zářeží). Totéž měřte i na kmitočtech 63 Hz, 5000 Hz a 15 000 Hz.

##### Kmitočtová charakteristika

Vstupní signál se sníží o 10 dB, takže výstupní napětí klesne na 2,38 V (0,7 W); potom má být kmitočtová charakteristika mezi 20 - 20 000 Hz rovná v rozsahu  $\pm$  1,5 dB (malé nerovnosti lze vyrovnat korekčními regulátory).

##### Přeslechy, odstup cizího napětí

Na levém kanálu se nastaví velikostí vstupního signálu výstupní napětí 7,5 V. Na pravém

kanálu se má naměřit při kmitočtu 250 Hz napětí 75 mV (-40 dB), na kmitočtech 1000 Hz a 10 000 Hz napěti 25 mV (-50 dB). Stejně se měří také přeslechy z pravého na levý kanál.

Generátor se odpojí a do přípojky se zapojí člen N. Je-li regulátor hlasitosti nařízen na největší hlasitost, smí být výstupní napěti 5,3 mV (-65 dB); při snížení hlasitosti o 20 dB klese napěti na 2,58 mV (-70 dB).

#### Měření korekčního předzesilovače

Stiskněte tlačítka P11 a P14, připojte generátor H do přípojky pro rychlostní přenosu. Přístroje zůstávají zapojeny jako při předcházejícím měření.

Citlivost, kmitočtová charakteristika

Signál 1 kHz, který vybudí výstupní napěti 7,5 V (výkon 7 W), nemá být větší než 5 mV.

Kontrolujte změny výstupního napěti při změnách kmitočtu od 20 do 20 000 Hz a stálé úrovni vstupního signálu vzhledem k referenční hodnotě při 1000 Hz (poměry měření upravte tak, aby výstupní napěti nikdy nepřekročilo 7,5 V). Průběh charakteristiky má odpovídат následující tabulce s tolerancí  $\pm 2$  dB (malé rozdíly lze vyrovnat korekčními regulátory).

20 Hz +18,6 dB	50 Hz +17 dB	100 Hz +13,1 dB	200 Hz +8,3 dB	500 Hz 22,6 dB
1 kHz 0 dB	2 kHz -2,6 dB	5 kHz -8,2 dB	10 kHz -13,7 dB	20 kHz -19,6 dB

Odstup cizího napěti

Generátor se odpojí a do přípojky se zapojí odpor 500  $\Omega$ /0,125 W. Je-li nařízena největší hlasitost, smí být výstupní napěti nejvýše 13,3 mV (-55 dB).

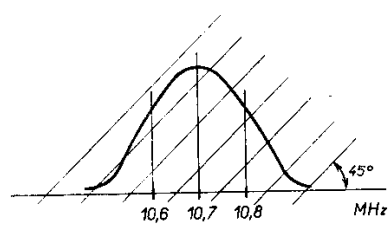
#### ČÁST PRO PRÍJEM KMITOČTOVÉ MODULACE

##### Poměrový detektor

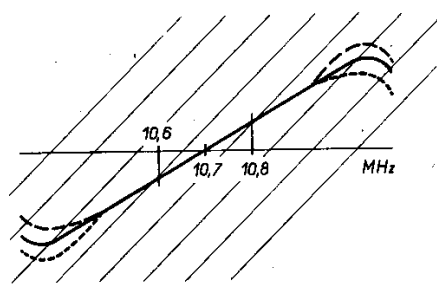
1. Stiskněte tlačítka P10 (VKV) a zkонтrolujte, zda odber napájecího proudu celé mf části pro fm, měřený na spojce 4, je přibližně 55 mA (vstupní část pro fm musí být přitom odpojena v bodě 5<sup>X</sup>). Při sladování ponechte horní i spodní (třeba nepřipájený) stínici kryt na svém místě. Zapojte rozmitač A do měrného bodu MB8, osciloskop B přes oddělovací člen do bodu MB9 a uzemněte MB7. Jádra cívek a běžce potenciometrů mají být přibližně ve středních polohách.
2. Nastavte citlivost osciloskopu zhruba na 80 mV/cm, signál 10,7 MHz z rozmitače na 25 mV, plynulý regulátor na +6 dB, zdvih 0,6 MHz.
3. Rozladte sekundární okruh PD vyšroubováním jádra cívky L212 a jádrem cívky L210 nalaďte křivku na osciloskopu podle obr. 6a. Potom nalaďte jádrem cívky L212 křivku tvaru "S" a posuňte ji tak, aby značka ležela na nulové čáře. Jemným otáčením jádرا cívky L210 upravte linearitu a souměrnost vrcholů křivky (na obr. 6b. je naznačena proměna křivky při otáčení jádrem).
4. Přepněte rozmitač na amplitudovou modulaci a na získané křivce (viz obr. 6c.) posuňte potenciometrem R230 bod s největším potlačením am do středu křivky na značku 10,7 MHz (obr. 6d.). Vypněte modulaci am a zkонтrolujte, zda tvar křivky odpovídá obr. 6b., případně zopakujte postup podle odst. 3. a 4. Křivka musí být zcela souměrná.
5. Snižte signál z rozmitače na -6 dB (o 12 dB), přepněte citlivost osciloskopu na 15 mV/cm a zapněte am. Přitom změna tvaru křivky a posun bodu s největším potlačením am od středu křivky (obr. 6d.) musí být zanedbatelné.
6. Odpojte přístroje a uzemnění bodu MB7, jádra cívek zajistěte voskem a potenciometr nitrolakem.

##### Mezifrekvenční zesilovač

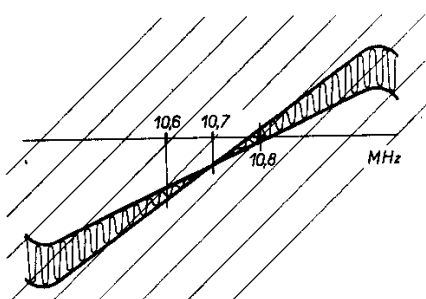
1. Přijimač zůstává přepnut na vkv. Odpojte vstupní část pro fm od mf zesilovače (v bodě MB4), připojte osciloskop B do bodu MB3 a jeho citlivost přepněte na 50 mV/cm, připojte rozmitač



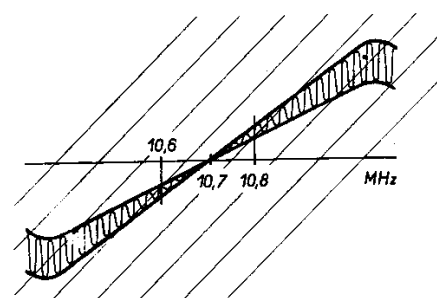
Obr. 6 a.



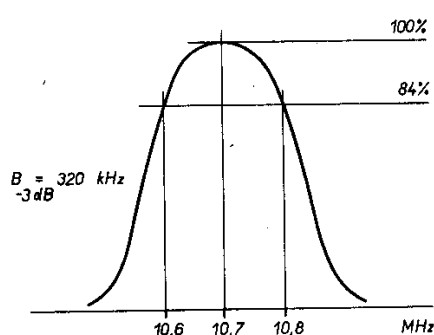
Obr. 6 b.



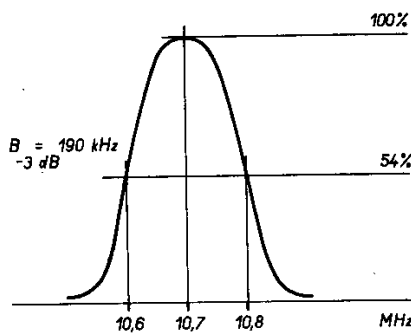
Obr. 6 c



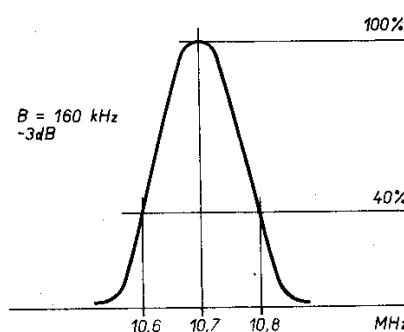
Obr. 6 d.



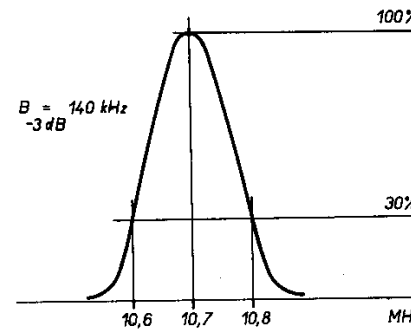
Obr. 7 a.



Obr. 7 b.



Obr. 7 c.



Obr. 7 d

- A do bodu MB6, nastavte výstupní signál 10,7 MHz na 25 mV a plynulý regulátor na 0 dB.
2. Jádry cívek L207 a L209 pásmové propusti MFIIIA nastavte značku 10,7 MHz na vrchol křivky, plynulým regulátorem pak vhodně upravte její velikost a jádrem cívky L208 nastavte značky 10,6 MHz a 10,8 MHz na úroveň podle obr. 7a. Připadné rozladění opravte znovu jádry cívek L207, L209 tak, aby křivka byla zcela souměrná.
3. Připojte rozmitač do bodu MB5 a zmenšete úroveň výstupního signálu na 1,2 mV. Jádry cívek L204, L206 pásmové propusti MFII nalaďte křivku do rezonance a jádrem cívky L205 nastavte značky do úrovně podle obr. 7b. Při sledování udržujte vhodnou velikost křivky plynulým regulátorem rozmitače a dbejte, aby byla souměrná a aby značka 10,7 MHz byla na jejím vrcholu.
4. Připojte rozmitač do bodu MB4 a zmenšete úroveň výstupního signálu na 70 µV. Jádry cívek L201 a L203 pásmové propusti MFI nalaďte křivku do rezonance a jádrem cívky L204 (primár MFII) připadné upravte její největší výšku. Jádrem cívky L202 nastavte pak značky do úrovně podle obr. 7c, přičemž výšku upravujte plynulým regulátorem rozmitače.
5. Zajistěte jádra sladěných okruhů voskem a odpojte měřicí přístroje.

#### Ukazovatelé vyladění

1. Přijimač zůstává přepnut na vkv. Připojte zkušební vysílač C do bodu MB4 (vstupní část pro fm je odpojená), výstupní signál 10,7 MHz nastavte na 5 mV a vypněte modulaci.
2. Nařídte potenciometrem R232 nulovou výchylku ukazovatele M1.
3. Jádrem cívky L216 pásmové propusti MFIIIB nařídte pokud možno největší výchylku ukazovatele M2 a potenciometrem R263 upravte plnou výchylku měřicího přístroje. Snižte úroveň signálu z vysílače tak, aby výchylka poklesla asi o 25 %, a jádrem cívky L216 dolaďte přesně obvod ukazovatele na pokud možno největší výchylku.
4. Jádro cívky zajistěte voskem a potenciometry nitrolakem.

#### Výstupní nf signál

1. Přijimač zůstává přepnut na vkv a zkušební vysílač C je připojen do bodu MB4 (vstupní část pro fm je odpojená), výstupní signál 10,7 MHz nastavte přibližně na 10 mV, modulace 1 kHz, zdvih 40 kHz.
2. Na výstup "R" přijimače (zděře 3, 2 nebo 5, 2) připojte milivoltmetr G. Výstupní napětí na obou kanálech musí být větší než 0,5 V a nesmí se vzájemně lišit o více než 20 %. Zkušební vysílač potom odpojte.

#### Nízkofrekvenční zádrže

1. Přijimač zůstává přepnut na vkv a vstupní část pro fm je odpojena. Připojte generátor H do bodu MB9 a nařídte jej na 19 kHz, výstupní napětí 200 mV. Na výstup "R" přijimače připojte milivoltmetr G.
2. Jádry cívek L221 a L222 nařídte nejmenší výchylky milivoltmetru. Přelaďte generátor na 14,5 kHz a jádry cívek L223, L224 nařídte největší výchylky milivoltmetru.
3. Jádra cívek zajistěte voskem, znova připojte vstupní část pro fm a připájejte spodní stínící kryt mf části.

#### Vstupní část v přijimači

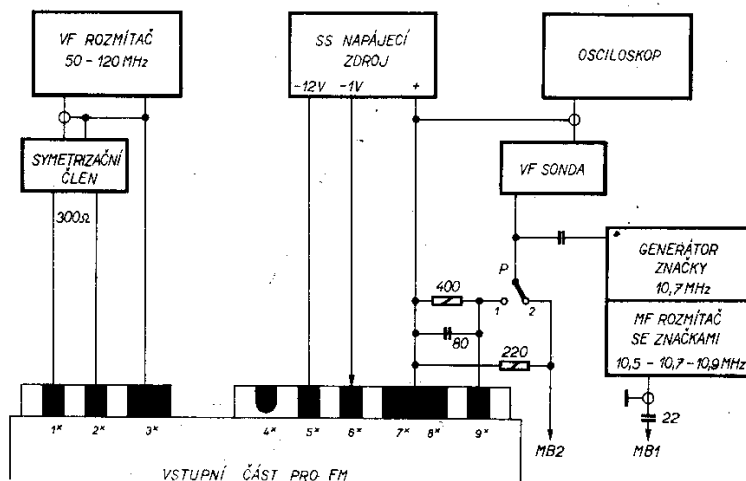
##### Mezifrekvenční pásmová propust

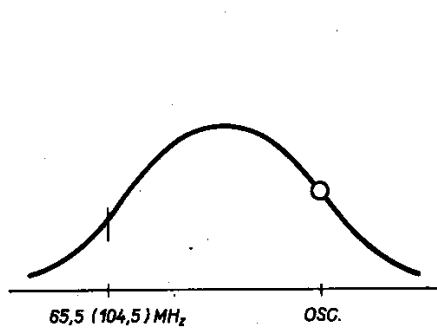
1. Přijimač zůstává přepnut na vkv (zapnuto P10) a tlačítka P13 není stlačeno (dálkový příjem). Zkontrolujte, zda odběr napájecího proudu celé vstupní části pro fm, měřený v bodě 5, je v mezech 8,8 - 10 mA. Odejměte spodní kryt vstupní části, připojte rozmitač A do měrného bodu MB1 a nastavte úroveň výstupního signálu 10,7 MHz na 30 µV. Připojte osciloskop B do bodu MB3 a jeho citlivost nařídte na 150 mV/cm. Zasuňte zástrčku L do anténní zásuvky pro dipól.
2. Jádry cívek L113, L114 pásmové propusti MFO nastavte značku 10,7 MHz na vrchol křivky. Potom upravte celkový tvar křivky a úroveň značek podle obr. 7d, roztahováním nebo stlačováním závitů cívky L115, přičemž dbejte, aby byla křivka souměrná. Jádra cívek pak zajistěte voskem, nasadte spodní kryt vstupní části, odpojte zkratovací zástrčku a všechny přístroje.

(Údaje šířek pásma B na obr. 7a. - 7d. odpovídají hodnotám měřeným 3 dB pod vrcholy křívek.)

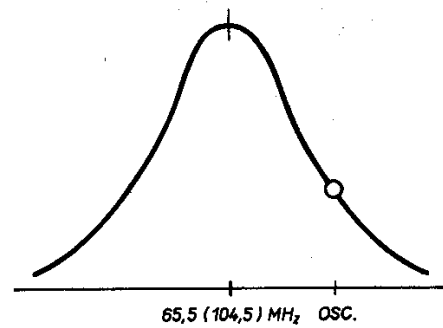
#### Vysokofrekvenční laděné okruhy

- Připojte zkušební vysílač D do anténní zásuvky a upravte jeho výstupní signál na 50  $\mu$ V, kmitočtová modulace 1 kHz, zdvih 40 kHz. Na výstup "R" přijímače (zděře 3, 2 nebo 5, 2) připojte milivoltmetr G. Tlačítko Pl3 není stisknuto.
- Narídte ladění přijímače na levý doraz a posuňte stupnicový ukazovatel po motouzu do takové polohy, aby se kryl s koncovou značkou vlevo na stupni; ukazovatel pak zajistěte nitrolakem.
- Naladte přijímač na značku 67 MHz, ze zkušebního vysílače zavedte signál 67 MHz a jádrem cívky L112 narídte ukazovatel M1 na nulu (přitom ukazovatel M2 ukazuje největší výchylku). Snižte úroveň signálu tak, aby napětí na milivoltmetru kleslo asi o 30 %, a narídte jádry cívek L105 a L108 největší výchylku. Udržujte signál na úrovni, při které je výchylka asi o 30 % nižší než plná.
- Přeladte přijímač na značku 101 MHz a také zkušební vysílač na kmitočet 101 MHz. Zvyšte úroveň signálu na 50  $\mu$ V a narídte doladovacím kondenzátorem C124 ukazovatel M1 na nulu. Snižte úroveň signálu o 30 % a narídte doladovacími kondenzátory C104 a C108 největší výchylku, přičemž úroveň signálu dále snižujte.
- Postup uvedený pod 3. a 4. opakujte, až dosáhnete dokonalý souběh v obou sladovacích bodech. Potom kontrolujte souběh (shodnost výchylek) na několika bodech stupnice. Při nerovnoměrnostech větších než 2 dB upravte průběh kapacity sekci C109 a C103 ladícího kondenzátoru

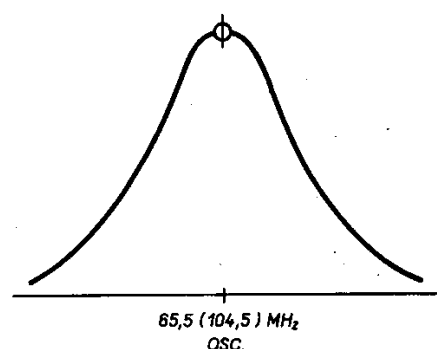




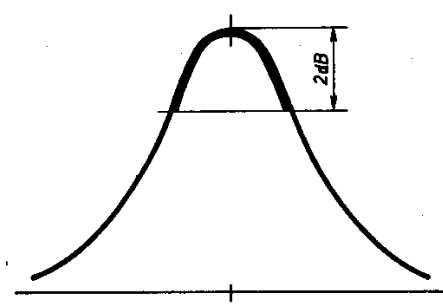
Obr. 9a.



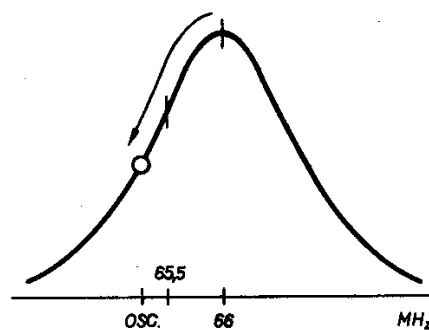
Obr. 9b.



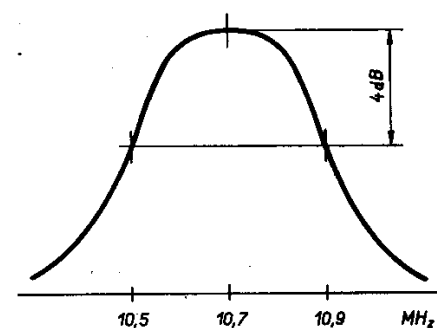
Obr. 9c.



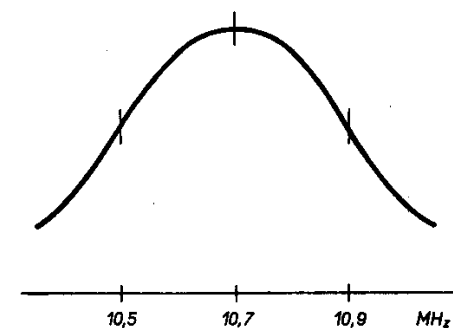
Obr. 9d.



Obr. 9e.



Obr. 10a.



Obr. 10b.

1. Zapojte předlaďovanou vstupní část bez krytů podle obr. 8. Na pracovišti je kromě mf rozmitačce značkami 10,5 MHz, 10,7 MHz a 10,9 MHz (A), generátoru značky 10,7 MHz, osciloskopu s vf detekční sondou (B) a se napájecího zdroje 12 V především vf rozmitač pro 50 - 120 MHz s výstupní impedancí 300 Ω nebo se symetrickým členem.. Na výstup vstupní časti (body 8<sup>X</sup>, 9<sup>X</sup>) je připojena standardní zátěž.
2. Zapněte přepinač P do polohy 2 a zapojte přívod do MB2, nařídte ladící kondenzátor na pravý doraz a rozmitač na 65,5 MHz, přičemž velikost signálu upravte zobrazenou křivku podle obr. 9a. Snižte zvih signálu asi na 5 - 10 MHz, jádrem cívky L108 posuňte značku 65,5 MHz na vrchol křivky (viz obr. 9b.) a jádrem cívky L105 nastavte co nejvyšší křivku; přitom postupně snižujte úroveň signálu asi na 2,5 mV. Jádrem cívky L112 potom posuňte značku oscilátoru, vzniklou záznějem se signálem 10,7 MHz z generátoru značky, tak, aby se kryla se značkou 65,5 MHz (viz obr. 9c.).
3. Nařídte ladící kondenzátor na levý doraz a rozmitač na 104,5 MHz. Postup podle odst. 2. zopakujte s použitím doladovacích kondenzátorů C108, C104 a C124. Oba postupy zopakujte, až dosáhnete na obou dorazech ladícího kondenzátoru křivku a umístění značek podle obr. 9c.
4. Přelaďujte současně ladící kondenzátor a rozmitač po celém rozsahu tak, aby křivka zůstala na stínitku. Značka oscilátoru přitom nesmí poklesnout o více než 2 dB pod vrchol křivky (viz obr. 9d.). Případný nesouběh upravte přihybáním plechu rotoru střední sekce (C109) ladícího kondenzátoru. Je-li značka posunuta k nižším kmitočtům, tj. vlevo od vrcholu křivky, zvětšte v daném místě kapacitu kondenzátoru přiblížením příslušné výseče rotorového plechu ke statoru; při posunu značky vpravo je třeba výše oddálit. Na každé straně rotoru jsou přistupny tři výseče při otevřeném a tři při zavřeném ladícím kondenzátoru. Přihybá se vždy ta výseč, která je v místě nesouběhu už částečně zasunuta do statoru. Nesouběh vstupního obvodu se projevuje poklesem zisku, a tedy snížením křivky; v tomto případě se provede doladění přihybáním výseči vstupní sekce C103, přičemž se směr rozladění zjistí přiblížením feritové tyčinky ke vstupní cívce L105. Oscilátorová sekce ladícího kondenzátoru se nikdy nedolaďuje, aby se neporušil souhlas se stupnicí.
5. Nařídte rozmitač a ladící kondenzátor na kmitočet 66 MHz (obě značky jsou na vrcholu křivky) a připojte do bodu 6<sup>X</sup> vstupní části napětí -1 V. Značka oscilátoru se musí posunout až pod značku 65,5 MHz (viz obr. 9e.), tj. změna oscilátorového kmitočtu musí být větší než 0,5 MHz. Tím je přezkoušeno AFC.
6. Odpojte vstupní signál a nařídte ladící kondenzátor na levý doraz. Přepněte přepinač P do polohy 1, odpojte přívod k bodu MB2 a zapojte výstup mf rozmitače do bodu MB1. Snižte úroveň signálu, aby nebyl směšovač přebuzen. Na zobrazené křivce (viz obr. 10a.) posuňte jádery cívek L113 a L114 značku 10,7 MHz na vrchol a roztahováním cívky L115 upravte položku značek 10,5 MHz a 10,9 MHz.
7. Při zvýšení úrovni signálu na 50 mV musí křivka dodržet tvar podle obr. 10b. Je-li křivka deformovaná, nepracuje tlumící dioda D102.
8. Nasadte na vstupní část oba kryty a zajistěte je pootočením výstupků na přepážkách. Znovu zkontrolujte, případně opravte nastavení sládovacích prvků podle odst. 2. a 3. Je-li vstupní část správně sládena, zmenšuje se plynule velikost křivky při přelaďování k vyšším kmitočtům. Rozdíl na obou hraničních kmitočtech může být 3 - 4 dB. Případný větší rozdíl je třeba vyrovnat roztažením nebo stlačením vzduchové cívky L110, přičemž vstupní část je naladěna v oblasti nižších kmitočtů. Zisk samotné vstupní části se měří na kmitočtech 65,5 MHz, 87 MHz a 104,5 MHz na základě výstupního napětí rozmitače (nemá být větší než 200 μV/75 Ω) a definované citlivosti osciloskopu. Průměr stanovený ze tří naměřených hodnot nemá být menší než 25 dB.

#### Práh potlačení šumu

1. Přijímač zůstává přepnut na VKV. Připojte zkoušební vysílač D do antennní zásuvky (tlačítko Pl3 není stlačeno) a nalaďte jej na 101 MHz, modulace 1 kHz, zvih 40 kHz. Na výstup "R" přijímače připojte milivoltmetr G a přijímač nalaďte na zavedený signál.
2. Nařídte velikost vstupního signálu asi na 1 μV. Stiskněte-li tlačítko přepinače P2 (ŠUM), musí výstupní signál klesnout na nulu. Nyní zvyšujte postupně úroveň signálu z vysílače až na 7 μV, když se skokem objeví na milivoltmetru plné napětí. Pokud je prahové napětí jiné, opravte je potenciometrem R264.

#### Práh stereofonního příjmu

1. Přijímač zůstává přepnut na vkv. Připojte zkoušební vysílač D do anténní zásuvky a nalaďte jej na 101 MHz, modulace 19 kHz, zdvih 4,5 kHz. Na výstup "R" přijímače připojte milivoltmetr G. Velikost vstupního signálu je asi 4  $\mu$ V, tlačítko přepínače P2 (SUM) není stisknuto. Přijímač je nalaďen na zavedený signál.
2. Postupně zvyšujte úroveň signálu až na 10  $\mu$ V, kdy se má rozsvítit zelený indikátor stereofonního příjmu. Pokud je prahová citlivost jiná, opravte ji potenciometrem R262; pokud nelze nastavení provést, sledujte odst. Stereofonní dekodér, část 2.
3. Zvyšujte úroveň signálu na 50  $\mu$ V. Při stisknutí tlačítka P12(MONO) musí zelený indikátor zhasnout a rozsvítit se červený indikátor nuceného stereofonního příjmu.

#### Kontrola afc

1. Přijímač zůstává přepnut na vkv. Připojte zkoušební vysílač D do anténní zásuvky a nalaďte jej na 101 MHz, modulace 19 kHz, zdvih 4,5 kHz. Velikost vstupního signálu je asi 50  $\mu$ V, tlačítko P12 (MONO) není stisknuto. Přijímač je nalaďen na zavedený signál a zelený indikátor svítí.
2. Rozlaďte přijímač na jednu stranu tak dlouho, až indikátor zhasne; po stisknutí tlačítka P3 (AFC) se musí opět rozsvítit. Totéž kontrolujte i při rozladění přijímače na druhou stranu.

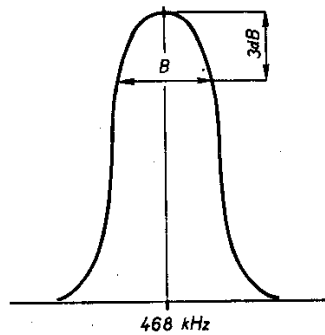
#### Kontrola absolutní vf citlivosti

1. Přijímač zůstává přepnut na vkv (kromě tlačítka P10 není žádné jiné stisknuto). Připojte zkoušební vysílač D do anténní zásuvky a nalaďte jej na 101 MHz, modulace 1 kHz, zdvih 40 kHz. Na výstup "R" přijímače připojte milivoltmetr G a nalaďte přijímač na zavedený signál. Velikost vstupního signálu je 50  $\mu$ V; výstupní napětí na obou kanálech pak musí být větší než 0,5 V.
2. Snižujte plynule úroveň vstupního signálu tak, až výstupní napětí poklesne o 3 dB pod původní úroveň (stupnice milivoltmetru by měla mít též cejchování v dB); velikost vstupního signálu pak musí být menší než 5  $\mu$ V.
3. Hodnota prahové citlivosti je základem pro měření vf selektivity a potlačení zrcadlového a mf signálu (viz kap. TECHNICKÉ ÚDAJE).

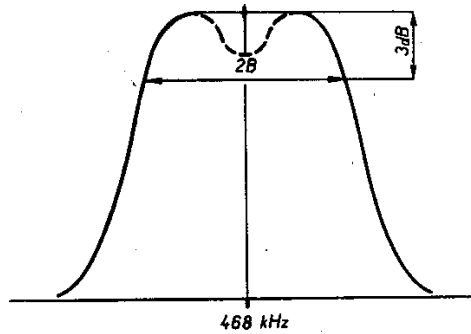
#### Stereofonní dekodér

1. Přijímač je přepnut na vkv. Zavedte pilotní signál 19 kHz s úrovní 30 mV z generátoru zakódovaného stereofonního signálu I na vstup stereofonního dekodéru (bod MB9). Připojte milivoltmetr G co nejkratšími nestíněnými přívody do bodu MB11. Jádry cívek L301, L302, L303 naříďte postupně největší výchylku milivoltmetru (asi 4 - 7 V). Potenciometr R306 je při tomto nastavování v pravé krajní poloze.
2. Při úrovni pilotního signálu 30 mV má být napětí pro indikační obvod, měřené ss voltmetrem K v bodě MB10, nejvýše +8 V. Zvětšujete-li plynule úroveň signálu od nuly, nastane přeskok od původního napětí asi -12 V na hodnotu kladnou. Tato změna (přepnutí na stereofonní provoz) má nastat při úrovni pilotního signálu nejvýše 25 mV.
3. Připojte vf výstup generátoru do anténní zásuvky a nalaďte jej na 99 MHz, modulace L = P 1 kHz, zdvih 67,5 kHz, výstupní napětí 1 mV. Na výstup "R" přijímače připojte milivoltmetr G, doplněný filtry pro 19 a 38 kHz. Nalaďte přijímač přesně na zavedený signál a stiskněte tlačítko přepínače P3 (AFC). Výstupní napětí na obou kanálech se nesmějí vzájemně lišit o více než 3 dB.
4. Zapněte modulaci L (zdvih 33,75 kHz, P = 0). Vytočte potenciometr R306 do dvou třetin dráhy směrem doprava. Jádrem cívky L301 naříďte nejmenší výchylku milivoltmetru pravého kanálu. Na nejmenší výchylku naříďte potom i potenciometr R306 a znova jemně dolaďte jádro cívky L301.
5. Přepněte na modulaci P (L = 0) a zkontrolujte, zda je nejmenší výchylka milivoltmetru levého kanálu přibližně stejná jako na pravém kanálu. Při výraznějším rozdílu nastavte kompromis potenciometrem R306. Hodnota přeslechů mezi oběma kanály musí dosáhnout aspoň 30 dB. Vypněte modulaci (L = P = 0) a vyžadte filtry před milivoltmetrem; napětí na výstupu obou

kanálù nesmí pak být väčší než 6 mV.



Obr. 12a.



Obr. 12b.

6. Zapněte opět modulaci L = P 1 kHz s celkovým zdvihem 67,5 kHz a změřte výstupní napětí na připojce "R". Potom připojte milivoltmetr na zděře 1, 2 a 4, 2 přípojký pro magnetofon; napětí zde má být asi 6,5krát menší.
7. Odpojte všechny měřicí přístroje, jádra cívek zajistěte voskem a potenciometr nitrolakem.

#### CÁST PRO PŘÍJEM AMPLITUDOVÉ MODULACE

##### Mezifrekvenční zesilovač

1. Přepněte přijímač na střední vlny a zkонтrolujte, zda odběr napájecího proudu celé vstupní a mf části pro am, napájené z bodu R403, C405 (např. proud odporem R725), nepřekročí 12 mA. Ostatní tlačítka ponechte nestlačena, ladění přijímače pro am naříďte na pravý doraz, na výstup "R" přijímače připojte milivoltmetr G.
2. Signál **468 kHz**, amplitudově modulovaný kmitočtem 1 kHz na 30 %, zavádějte ze zkoušebního vysílače F v takové velikosti, aby se výchylka milivoltmetru udržovala na hodnotě 20 mV. Pro tuto hodnotu platí i údaje mf citlivostí uvedené v tabulce 1.

TABULKA 1. SLÁDOVÁNÍ MEZIFREKVENČNÍHO ZESILOVAČE PRO AM

Postup		Zkušební vysílač		Sládaný přijímač		Výchylka výstupního měřidla	Průměrná citlivost
		připojení	signál	stupnicový ukazovatel	sládovací prvek		
1	4	přes 33 nF na bázi T705	468 kHz	na pravý doraz	L724	max.	900 µV
2	5	přes 33 nF na bázi T704			L722, L723		50 µV
3	6	přes 33 nF na bázi T701			L720, L721		4 µV

3. Doporučujeme ještě zkontoľovat naladění mf pásmových propustí rozmítačem E připojeným přes oddělovací odpor na bázi tranzistoru T701. Na výstup "R" přijímače je připojen osciloskop B. Jádry cívek uvedených v tabulce 1. postupně doloňte největší výšku a souměrnost křivky. Potom stiskněte tlačítko přepínače Pl (S.P.) a kontrolejte průběh křivky podle obr. 12b. Případné opravy provádějte jen při nastaveném úzkém pásmu (tlačítko Pl nestlačené - tvar křivky podle obr. 12a). Jádra cívek potom zajistěte voskem.

##### Vstupní časť

1. Zkontrolujte, zda se velký stupnicový ukazovatel kryje s koncovými snačkami vlevo na stupnici, je-li ladění na levém dorazu (ladící kondenzátor s největší kapacitou). Milivoltmetr G

zústává připojen na výstupu "R" a do anténní zásuvky pro AM se zavádějí ze zkušebního vysílače F přes normální umělou anténu amplitudově modulované signály (1 kHz, 30 %) podle tabulky 2. Při sladování je vždy stisknuto jen tlačítka příslušného vlnového rozsahu. Nakonec zajistěte jádra cívek voskem. Dosažené vF citlivosti, měřené při odstupu šumu -10 dB, by měly souhlasit s hodnotami uvedenými na str. 3.

TABULKA 2. SLADOVÁNÍ VSTUPNÍ CÁSTI PRO AM

Postup	Zkušební vysílač		Sladovaný přijímač			Výchylka výstupního měříče
	připojení	signál	roz-sah	stupnicový ukazovatel	sladovací prvek	
1 9	přes normální umělou anténu na anténní zdířku přijímače	9,6 MHz	kvI	na značku 9,6 MHz	L706, L705	max.
2 10		11,8 MHz		na značku 11,8 MHz	C703*, C705	
3 11		6 MHz	kvII	na značku 6 MHz	L710, L709	
4 12		7,2 MHz		na značku 7,2 MHz	C707, C709	
5 13		550 kHz	sv	na značku 550 kHz	L714, L713	
6 14		1500 kHz		na značku 1500 kHz	C711, C713	
7 15		156 kHz	dv	na značku 156 kHz	L718, L717	
8 16		320 kHz		na značku 320 kHz	C715, C716	
17		468 kHz	sv	na levý doraz	L601, L602	min.

\* Správná je výchylka s menší kapacitou dolaďovacího kondenzátoru.

## POKYNY PRO OPRAVY

### Vyjmáni přístroje ze skříně

Vyšroubujte 2 šrouby M4 v horních rozích zadní stěny, polom položte přijímač na bok a vyšroubujte 4 šrouby M2,5 na pravém a levém okraji spodního krytu. Přijímač opět položte na spodní plochu, nadzvihnete zadní část skříně (viz obr. 29.) a vysuňte skříň směrem dozadu. Tím je zpřístupněna celá horní část šasi.

Obráťte přijímač spodním krytem vzhůru a po vyšroubování tří šroubů M2,5 na jeho zadním okraji kryt vyvlekněte směrem dozadu. Tím je zpřístupněno šasi i zespodu.

Při opětné montáži do skříně je třeba pevně dotáhnout oba šrouby na zadní stěně, aby se zajistil spolehlivý dotek se stínici fólií uvnitř skříně.

### Pojistky a žárovky

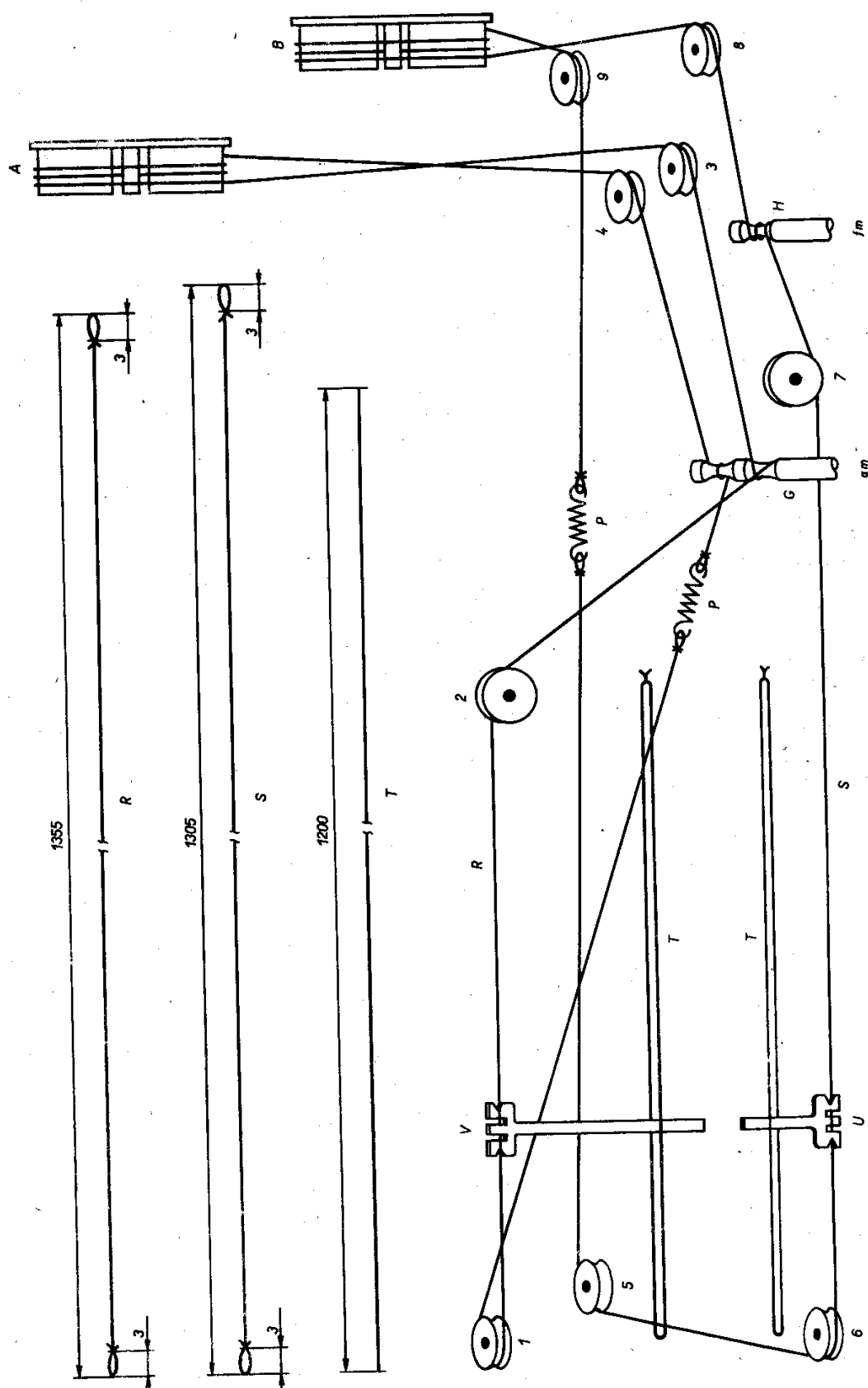
Hlavní pojistka P01 je v držáku na zadní stěně. Uvnitř přijímače jsou na desce výkonového zesilovače pojistky P0901 a P0902 a na desce stabilizátoru pojistky P02 a P03.

Také všechny osvětlovací a indikační žárovky jsou přístupné shora na šasi (viz obr. 4.).

### Přední maska a stupnice

Stáhněte oba ladící knofliky a plstěné podložky. Stáhněte čtyři knofliky ovládacích prvků. Při odnímání přední masky postavte šasi přijímače opatrně na levý bok a vyšroubujte 3 šrouby M2,5 naspodu přední masky a 2 šrouby úhelníků vzadu na obou okrajích masky. Masku můžete odejmout i s úhelníky, které jsou zasunuty v její horní drážce a utěsněny gumovými pásky.

Stupnice je na přední masce přilepena oboustrannou lepenkou a dále zajištěna zasunutím do horní drážky stěny. Naspodu se o výstupek stupnice opírá úhelník upevněný na stěně dvěma šrouby. Před upevněním stupnice vložte do její drážky naspodu 8 posuvných značek.



Obr. 13. Rozmery a montáž náhonových motouzú

#### Náhonový motouz pro fm

Odejměte přední masku se stupnicí, vytočte ladící kondenzátor vstupní části na levý doraz a zkонтrolujte, je-li náhonový buben B upevněn na hřídeli tak, aby výřez na jeho obvodu směřoval dopředu. Připravte si 1335 mm motouzu, průměr 0,5 mm a uvažte z něho motouz S podle obr. 13.

Zavlékněte motouz v místě asi 250 mm od jeho okraje za čep kladky 5 a motouz pak vedete přes kladky 6, 7, shora na hřídel H, který oviňte 2krát, dále přes kladku 8 na náhonový buben B, na němž oviňte motouz 2,5krát (začněte shora a od okraje bližšího ke vstupní části; při druhém závitu provlékněte motouz výřezem), přes kladku 9, obě koncová očka motouzu spojte pružinou P a motouz zavlékněte za kladku 5.

Na motouz mezi kladky 6 a 7 navlékněte malý ukazovatel U, upevněte přední masku a posuňte jej pinzetou tak, aby se na levém dorazu ladění kryl s koncovou značkou vlevo na stupnici pro fm. Ukazovatel vložte do spodního vodicího silikonového vlasce a zajistěte jej na náhonovém motouzu nitrolakem. Při správném provedení náhonu má být pružina P napjata na délku 28 - 30 mm. Přihrněte vhodně všechny vodiče, které by mohly bránit volnému pohybu motouzu a pružiny při ladění.

#### Náhonový motouz pro am

Vytočte ladící kondenzátor na levý doraz a zkонтrolujte, je-li náhonový buben A upevněn na hřídeli tak, aby výřez na jeho obvodu směřoval dopředu. Připravte si 1385 mm motouzu, průměr 0,5 mm, a uvažte z něho motouz R podle obr. 13.

Zavlékněte motouz v místě asi 250 mm od jeho okraje za čep kladky 1 a motouz pak vedete přes kladku 2 shora na přední část hřídele G, kde jej jednou oviňte, dále přes kladku 3 na náhonový buben A, na němž naviňte motouz 2,5krát (začněte shora a od okraje bližšího k ladícímu kondenzátoru, při druhém závitu provlékněte motouz výřezem), přes kladku 4 zespodu na zadní část hřídele G, kde jej jednou oviňte, obě koncová očka motouzu spojte pružinou P a motouz zavlékněte na kladku 1.

Mezi kladky 1 a 2 navlékněte velký ukazovatel V a posuňte jej tak, aby se na levém dorazu kryl s bodovými značkami na levém konci stupnice pro am. Vložte ukazovatel do horního vodicího silikonového vlasce a zajistěte jej na náhonovém motouzu nitrolakem. Při správném provedení náhonu má být pružina P napjata na délku 28 - 30 mm a nemá se při ladění dotýkat žádých vodičů.

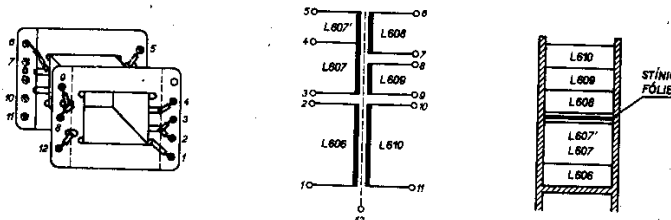
#### Vstupní část pro fm

Při sladování a běžných opravách stačí odejmout horní nebo spodní kryt po vyrovnání příslušné závlačky. Vstupní část je upevněna třemi šrouby na bocích a propojena v osmi pájecích bodech (je třeba odpájet i kondenzátor C601). Před vyjímáním nařídte ladící kondenzátor na největší kapacitu, aby se nepoškodil, a sesuňte motouz z náhonového bubnu.

Novou vstupní část stačí většinou dolahat podle pokynů na str. 18. (jedná se především o doladění mf pásmové propusti MFO); celé sladění samotné vstupní části je popsáno na str. 19. Doladění je také nutné po výměně tranzistorů, diod, cívek a důležitých kondenzátorů v této části. U cívek a kondenzátoru na straně plošných spojů záleží i na správné poloze a tvaru vývodů (tvary cívek lze poopravit při sladování, kondenzátor má být na otvoru těliska cívky L112). Cívky na těliskách jsou zasunuty do základní desky, zajištěny pootočením a přilepeny roztokem solakrylu v acetonu; stejně i tlumivky s feritovými jádry. Diody D101 a D103 jsou odděleny od základní desky distančními korálky, díl 87.

Ladící kondenzátor vstupní části lze nejlépe odejmout po vyjmutí této části, není to však nutné. Stačí odpájet tři přívody od doladovacích kondenzátorů, vyšroubovat tři šrouby od distanční vložky kondenzátoru, jeden šroub od stínici přepážky a odpájet naspodu základní desky tři přepážky při současném odtahování kondenzátoru od desky. Náhon kondenzátoru je upraven pomocí vlastního ozubeného převodu 1 : 3 (dvě ozubené výseče mají mrtvý chod vymezen pružinou) a náhonovým bubnem s otvorem pro hřídel Ø 4 mm. Před montáží nového kondenzátoru si ověřte, zda nemá mrtvý chod. Vývody kondenzátoru je třeba před pájením mírně prohnout, aby při tlaku na náhonový buben nebyly namáhaný doladovací kondenzátory. Při pájení přepážek dbejte, aby cín neprotekl na druhou stranu desky a nepřekážel otáčení rotorů. Také

pri zajišťování šroubů postupujte opatrně, aby nitrolak nezatekl mezi přepážku a kondenzátor.



VÝVODY	VINUTÍ	ODPOR	ZÁVITŮ	VODIČ		NAPRÁZDNO		PŘI ZATÍŽENÍ	
				MAT.	IZOL.	NAPĚTI	PROUD	NAPĚTI	PROUD
1-2	L606	29,7Ω	587	Cu	0,25	T	120V	80mA*	120V
3-4	L607	27,2Ω	489	Cu	0,25	T	100V		100V
4-5	L607'	5,55Ω	98	Cu	0,25	T	20V		20V
6-7	L608	7,5Ω	88	Cu	0,212	T	12,8V	-	10V
8-9	L609	1,8Ω	66	Cu	0,375	T	13,35V	-	12V
10-11	L610	1,5Ω	139	Cu	0,63	T	28,1V		25V
12	-	-	1	STÍNÍCÍ FÓLIE		-	-	-	-

\* VÝVODY 2-3 SPOJENY

Obr. 14. Zapojení a hodnoty síťového transformátoru TRI

Vstupní část s novým kondenzátorem je třeba sladit, především vyrovnat souběh přihýbáním výsečí rotorových plechů (viz str. 9).

#### Ladicí kondenzátor pro am

Je upevněn na můstku šasi třemi šrouby M4 a propojen ve čtyřech bodech; přívod k oscilátorové sekci je stíněný. Náhon kondenzátoru je upraven pomocí vlastního ozubeného převodu 1 : 3 (dvě ozubené výseče mají mrtvý chod vymezen pružinou) a náhonovým bubnem s otvorem pro hřídel Ø 6 mm. Polohu rotoru vůči statoru lze upravit stavěcím šroubem hřídele; odchylky v souběhu se mohou vyrovnat nepatrým přihnutím krajních rotorových plechů. Po výměně kondenzátoru vždy zkontrolujte sladění vstupní části pro am podle pokynů na str. 23.

#### Přepínače

Jednotlivé části se jako náhradní díly nedodávají a většinou jsou neopravitelné. Celý přepínač vyměňte po odnětí přední masky, vyšroubování dvou šroubů s maticemi a povolení šroubu držáku síťového vypínače (P1 - P5) nebo odnětí vstupní části pro am (P6 - P12). Tím zadní přepínače (P13 - P15) lze odejmout po odnětí spodního krytu šasi.

Plastickou část klávesy lepíme na tálko solakrylem BT 55, rozpuštěným v acetolu, a stejně tak i kovový kališek.

#### Regulátory

Při výměně kteréhokoliv potenciometru je nutno odejmout přední masku a odklopit desku korekčního zesilovače, která je upevněna ke stínítku středovými maticemi krajních potenciometrů a vzadu jedním šroubem. Obě sekce regulátorů hlasitosti, basu i výšek musí mít shodný průběh v mezích 2 dB; tolerance regulátoru vyvážení stačí 4 dB (údaje jsou na potenciometrech). Uvádíme ještě objednací čísla neupravených potenciometrů, jak se dodávají z NDR:

R	Potenciometr neupravený	Upravený
815 816	50 kΩ 57-2 dB-32A2-766 TGL 24 484 TYP 069	1PN 692 34
817 818 827 828	100 kΩ 1-100 kΩ 1-2 dB-32A2-766 TGL 24 483 TYP 068	1PN 692 32

837  
838

} 25 kΩ 1-25 kΩ 1-4 dB-32A2-766 TGL 24 483 TYP 068

LPN 692 33

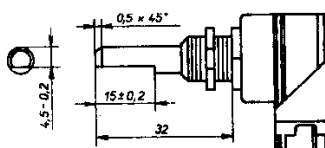
Hřídel neupraveného potenciometru je nutno upravit podle obr. 15.; vybrání se provede při běžci nastaveném do středu odporové dráhy.

Polevodičové prvky

- Tranzistory KFL25 se třídí před montáží podle relativního výkonového zisku na kmitočtu 100 MHz. Signál se přitom získává z rozmitáče TESLA BM 419 a vyhodnocuje osciloskopem TESLA T565 s vf sondou se vstupním odporem 75 Ω. Nejvýkonnější tranzistory (červená značka) jsou vhodné pro pozice T101, T102 a T103; méně výkonné tranzistory (bílá značka) jsou určeny pro stupně T201, T202, T203 a T204.
- Tranzistory KFL24 se třídí podle zesilovacího činitelů  $h_{21e}$  v pracovním bodě  $U_{KB} = 10$  V,  $I_E = 10$  mA. Použitý měřicí přístroj je TESLA BM 372 nebo podobný. Pro pozici T704 se hodí tranzistor, jehož  $h_{21e} < 120$  (hnědá značka), T705 má mít  $h_{21e} \geq 120$  (fialová značka).
- Zenerova dioda KZ721 pro stupeň D103 se kontroluje s ohledem na šumové napětí při proudu  $I_Z = 2$  mA. Měří se milivoltmetrem TESLA BM 384 s předesilovačem, jehož zisk je 10 - 20 dB a vstupní odpór  $R_V \geq 100$  kΩ. Vyhovuje dioda s napětím  $U_Z \leq 50$  μV (červená značka). Katedový vývod diody se nesmí přiliš zkracovat, proto se při montáži použije distanční korálek.
- Tranzistory KC507 pro stupně T302 a T303 mají mít zesilovací činitel  $h_{21e} = 200 - 300$ .
- Tranzistory KCL49 pro stupně T001, T002 a T801, T802 se zkoušeji s ohledem na šum přímo v přijimači (stisknutá tlačítka P11 a P14, regulátory na největší hlasitost, basy a výšky, regulátor vyvážení na střed). Zbytkový výstupní výkon přijimače nesmí překročit 0,8 μW, tj. 2,5 mV na výstupní zátěži 8 Ω (oranžová značka).
- Diody D203 a D204, D302 a D303 a také čtvrtice D306 - D309 se smějí vzájemně lišit nejvíce o 15% (zjišťuje se u proudu v propustném směru při určitém napěti).
- Tranzistory KF506 a KF507 pro stupně T905 - T908 se vybírají tak, aby při proudu  $I_K = 10$  mA bylo napětí  $U_{KEO} > 45$  V. Takto vybrané tranzistory se párují do komplementárních dvojic, pro něž platí

$$\frac{\beta_1}{\beta_2} \leq 1,5$$

při  $U_{KB} = 0$  V a  $I_E = 100$  mA.



Obr. 15. Mechanická úprava regulátorů před montáží

- Tranzistory KU611 pro stupně T601 - T604 se párují do dvojic, pro něž platí

$$\frac{\beta_1}{\beta_2} \leq 1,5$$

při  $U_{KB} = 0$  V a  $I_E = 2$  A. Tyto tranzistory musí být od zadní stěny galvanicky odděleny izolačními průchodekami a silidovými podložkami (díly 70 a 71), přitom však tepelně spolehlivě na tuto stěnu vázány (čisté styčné plochy, utažené a zajištěné šrouby). Výkonové tranzistory jsou chráněny plastickými kryty, díl 69, které jsou zasunuty do otvorů v zadní stěně.

- Tranzistor T205 je výrobek jugoslávského podniku ISKRA.

## NÁHRADNÍ DÍLY

Mechanické části

Díl	Název	Objednací číslo	Poznámky
1	skříň přijímače sestavená	1PF 068 98	
2	boční příchytná skříně	1PA 676 23	
3	upevňovací úhelník skříně	1PA 676 06	
4	stínící fólie	1PA 572 14	
5	spodní kryt	1PA 693 05	
6	gumová noha na krytu	6AA 229 04	
7	přední maska	1PF 115 19	
8	stupnice	1PF 153 21	
9	oboustranná lepicí páska pro stupnici	METEOR	
10	posuvná značka červená	1PA 166 03	
11	posuvná značka zelená	1PA 166 04	
12	držák stupnice	1PA 676 29	
13	okénko klávesy	1PA 900 20	
14	indikační sklo červené	1PA 168 08	
15	indikační sklo zelené	1PA 168 07	
16	světlovod k indikační žárovce	1PA 098 33	
17	indikační žárovka 6 V/0,05 A	TYP 52 031	22
18	žárovka 12 V/0,1 A	ÜSN 36 0151.1	Z1, Z3, Z4, Z5
19	objímka žárovky	1PF 498 09	
20	ladící knoflik	1PF 243 46	
21	péro knofliku	1PA 023 00	
22	podložka pod knoflik	1PA 303 19	
23	knoflik regulátoru	1PF 242 25	
24	péro knofliku	1PA 023 01	
25	stínítka	1PA 323 01	
26	náhonová kladka	PA 670 09	1-5, 7-9
27	náhonová kladka	1PA 670 11	6
28	čep kladky	1PA 001 14	
29	ladící hřídel fm se setrvačníkem	1PF 882 05	H
30	ladící hřídel am se setrvačníkem	1PF 882 11	G
31	náhonový buben pro fm	1PF 846 18	B
32	náhonový buben pro am	1PF 846 19	A
33	upevňovací kroužek bubnu	1PA 024 06	U
34	stupnicový ukazovatel pro fm	1PF 165 32	V
35	stupnicový ukazovatel pro am	1PF 165 31	T
36	polyamidový vlasec bezbarvý Ø 0,15	TPD 30-065-64	S
37	náhonový motouz pro fm	1PA 428 48	R
38	náhonový motouz pro am	1PA 428 47	P
39	náhonová pružina	1PA 791 05	M1
40	měřicí přístroj s nulou uprostřed (±50 µA)	M1 42	M2
41	měřicí přístroj (100 µA)	M1 41	
42	deská s pájecími očky	1PF 367 01	
43	tlačítková souprava	1PK 052 67	P1 - P5
44	klávesa P1 - P5	1PA 447 08	
45	kališek klávesy P1 - P4	1PA 449 13	

46	kališek klávesy P5	1PA 449 16	
47	držák přepínače P5	1PA 635 86	
48	zadní stěna sestavená	1PF 115 17	
49	anténní zásuvka pro fm	6AF 280 24	
50	anténní zásuvka pro am	6AF 280 22	
51	přepínač Pl3 s útlumovým členem	1PK 555 20	obr. 18.
52	deska s plošnými spoji	1PB 000 83	
53	přepínač holý	1PK 052 55	P13
54	klávesa	1PA 447 08	
55	kališek klávesy	1PA 449 15	
56	distanční trubka přepínače	1PA 259 25	
57	zásvuka pětipólová stíněná	6AF 282 13	
58	zásvuka pro reproduktor	6AF 282 28	
59	tlačítkový přepínač	1PK 052 88	P14, P15
60	klávesa přepínače	1PA 447 08	
61	kališek klávesy	1PA 449 15	
62	distanční trubka přepínače	1PA 259 25	
63	pouzdro pojistky POL	4/250 Remos I	
64	tavná pojistka 0,3/250	ČSN 35 4731	POL pro 220 V
65	tavná pojistka 0,5/250	ČSN 35 4731	POL pro 120 V
66	zástrčka voliče napětí	WK 462 04	
67	zásvuka voliče napětí	2PF 465 02	P16
68	matice zásuvky	2PA 037 08	
69	kryt tranzistoru T601 - T604	1PA 251 33	
70	izolační průchodka tranzistoru	1PA 900 16	
71	slidová podložka tranzistoru	1PA 413 15	
72	korekční předzesilovač pro přenosku sest.	1FN 290 17	obr. 21.
73	deska s plošnými spoji	1PB 001 13	
74	kryt předzesilovače	1PA 678 78	
75	síťová šňůra	1PF 616 00	
76	přichytka šňůry	1PA 662 34	
77	deska pro diody D601 - D604	1PA 369 02	
78	držák kondenzátoru C605	1PA 813 00	L604, L605
79	deska s tlumivkami	1PF 826 79	L601 - L603
80	deska s mf odládovači	1PK 852 41	obr. 19.
81	vstupní část pro fm sestavená	1PN 051 03	
82	deska s plošnými spoji	1PB 000 68	
83	kryt vstupní části horní	1PA 169 05	
84	kryt spodní	1PA 169 06	
85	distanční trubka ladícího kondenzátoru	1PA 255 26	
86	doraz ladícího kondenzátoru	1PA 259 22	
87	korálek pro diodu D102, D103	1,4 ČSN 72 5762	
88	mf část pro fm sestavená	1PK 051 43	obr. 22.
89	deska s plošnými spoji	1PB 000 79	
90	stínici kryt horní	1PA 689 12	
91	stínici kryt spodní	1PA 689 11	
92	přichytka krytu	6PA 668 35	
93	zásvuka dvanáctipólová	WK 465 40	spojky
94	zástrčka holá	WK 462 42	1 - 12
95	zástrčka se svazkem vodičů	1PF 620 14	obr. 27.
96	stereofonní dekodér sestavený	1PN 050 63	obr. 20.
97	deska s plošnými spoji	1PB 000 75	
98	držák dekodéru	1PA 614 14	
99	vstupní a mf část pro am sestavená	1PK 051 49	obr. 23.
100	deska s plošnými spoji	1PB 000 89	
101	tlačítková souprava	1PK 052 95	P6 - P12

102	klávesa	LPA 447 08	
103	kališek klávesy	1PA 449 13	
104	stínici plech soupravy	1PA 575 53	
105	korekční zesilovač sestavený	1PN 290 13	
106	deska s plošnými spoji	1PB 000 87	
107	výkonový zesilovač	1PN 290 14	
108	deska s plošnými spoji	1PB 000 88	
109	tavná pojistka 0,8/250	ČSN 35 4731	
110	držák pojistky	7AA 654 12	
111	stabilizátor sestavený	1PK 099 40	
112	deska s plošnými spoji	1PB 000 90	
113	tavná pojistka 0,6/250	ČSN 35 4731	
114	tavná pojistka 0,3/250	ČSN 35 4731	
115	držák pojistky	7AA 654 12	
116	svazek vodičů menší	1PF 620 13	
117	jádro cívky L105, L108, L112	504 500/N02	
118	jádro cívky L113, L114	504 600/N02	
119	jádro cívky L201, L204, L207, L210, L216	504 651/N05	
120	jádro cívky L202, L203, L205, L206, L208, L209, L212	504 600/N05	
121	jádro cívky L221, L222, L223, L224, L301, L302, L303, L713, L717	205 512 304 651	
122	jádro cívky L601, L602, L720, L721, L722, L723, L724	504 651/H11	
123	jádro cívky L705, L706, L709, L710	205 533 304 504	
124	jádro cívky L714, L718	504 501/H6	
125	feritová tyč cívky L726	702 009/H11	
126	náhražková anténa pro am; 2 m	1PF 897 02	
127	antennní zástrčka pro fm	6AF 896 63	
128	pětipolová stíněná zástrčka	6AF 896 42	
			v příslušenství

#### Elektrické části

L	Cívka	Počet závitů	Objednací číslo	Poznámky
101	tlumivka	5,5	1PA 600 02	
102	tlumivka	2,5	1PA 600 03	
103	vstupní	1,25		
104		1,25	1PF 600 18	
105		17,5		
106	tlumivka	3,5	1PA 600 01	
107	tlumivka	20	1PN 652 03	
108	vf pásmová propust	17,5	1PF 600 19	
109		1,5		
110	tlumivka	5,5	1PA 600 02	
111	tlumivka	20	1PN 652 03	
112	oscilátor	16	1PF 600 20	
113	O. mf pásmová propust; 10,7 MHz	28	1PN 657 02	MFO
114		28		
115	tlumivka	5,5	1PA 600 02	
116	tlumivka	20	1PN 652 01	
117	tlumivka	20	1PN 652 02	
120	tlumivka	2	1PN 652 06	

201	I. mf pásmová propust; 10,7 MHz	25		
202		2	LPK 853 05	MFI
203		25		
204		22		
205	II. mf pásmová propust; 10,7 MHz	2	LPK 853 06	MFI
206		22		
207		29		
208	IIIa. mf pásmová propust; 10,7 MHz	3	LPK 853 07	MFI
209		22		
210		27		
211	poměrový detektor; 10,7 MHz	9	LPK 853 09	PD
212		15		
213		15		
214	tlumivka	20	LPN 652 01	
215	tlumivka	20	LPN 652 01	
216	IIIb. mf pásmová propust; 10,7 MHz	17	LPK 853 08	MFI
217		3		
218	tlumivka	20	LPN 652 01	
219	tlumivka	20	LPN 652 01	
220	tlumivka	20	LPN 652 01	
221	nf zádrž; 19 kHz	2320	LPK 587 13	
222	nf zádrž; 19 kHz	2320	LPK 587 13	
223	nf zádrž; 14,5 kHz	2320	LPK 587 13	
224	nf zádrž; 14,5 kHz	2320	LPK 587 13	
225	tlumivka	20	LPN 652 01	
301	laděný okruh; 19 kHz	560	LPK 587 15	
301'		140		
302		180		
302'	laděný okruh; 19 kHz	180	LPK 587 17	
302"		340		
303		190		
303'	laděný okruh; 38 kHz	190	LPK 587 19	
303"		130		
601	mf odládovač; 468 kHz	160	LPK 586 57	
602	mf odládovač; 468 kHz	500	LPK 586 58	dil 80
603		30		
604	tlumivka	25	LPF 607 09	
605	tlumivka	128	LPF 607 08	dil 79
606		587		
607		489		
607'	siťový transformátor	98	9WN 661 05.1	TRI (obr.14.)
608		88		
609		66		
610		139		
704	vstupní; kvI	34	LPK 633 19	
705		32+3		
706	oscilátor; kvI	20+10	LPK 586 59	
707		3		
708	vstupní; kvII	86	LPK 633 20	
709		54+6		
710	oscilátor; kvII	30+15	LPK 586 60	
711		4		
712	vstupní; sv	350	LPK 633 21	
713		152+16		
714	oscilátor; sv	90+30	LPK 586 61	
715		3		

716	vstupní; dv oscilátor; dv 1. mf pásmová propust; 468 kHz 2. mf pásmová propust; 468 kHz detektor; 468 kHz tlumivka	860	1PK 633 22	
717		510+40	1PK 586 62	
718		170+60		
719		5		
720		78	1PK 853 16	MF1
721		83		
722		78	1PK 853 18	MF2
723		83		
724		75	1PK 853 17	D
725		30		
726		550	1PF 600 27	

C	Kondenzátor	Hodnota	Provozní napětí V=	Objednací číslo	Poznámky
001	elektrolytický	10 $\mu$ F + 100 - 10%	35	TE 005 10M	
002	elektrolytický	10 $\mu$ F + 100 - 10%	35	TE 005 10M	
003	svitkový	3300 pF $\pm$ 5%	250	TC 281 3k3/B	
004	svitkový	3300 pF $\pm$ 5%	250	TC 281 3k3/B	
005	svitkový	10 000 pF $\pm$ 20%	160	TC 235 10k	
006	svitkový	10 000 pF $\pm$ 20%	160	TC 235 10k	
007	keramický	100 pF $\pm$ 10%	40	TK 754 100p/K	
008	keramický	100 pF $\pm$ 10%	40	TK 754 100p/K	
009	elektrolytický	200 $\mu$ F +100 - 10%	6	TE 002 G2	
010	elektrolytický	200 $\mu$ F +100 - 10%	6	TE 002 G2	
011	elektrolytický	5 $\mu$ F +100 - 10%	70	TE 006 5M	
012	elektrolytický	5 $\mu$ F +100 - 10%	70	TE 006 5M	
013	elektrolytický	20 $\mu$ F +100 - 10%	15	TE 984 20M PVC	
101	keramický	18 pF $\pm$ 5%	250	SK 736 72 18/B	
102	keramický	1000 pF $\pm$ 20%	250	TK 752 1k	
103		34 pF	300		
109	ladící	34 pF	300	1PN 705 49	
123		34 pF	300		
104	doládovací	27 pF	500	SK 720 32	
105	keramický	330 pF $\pm$ 20%	350	TK 622 330/M	
106	keramický	22 pF $\pm$ 5%	250	SK 736 72 22/B	
107	keramický	150 pF $\pm$ 10%	250	SK 736 71 150/A	
108	doládovací	2,7 pF	500	SK 720 32	
109	ladící				viz C103
110	keramický	1000 pF $\pm$ 20%	250	TK 752 1k	
111	keramický	33 000 pF $\pm$ 20%	40	SK 737 02 33k	
112	keramický	56 pF $\pm$ 10%	250	SK 736 71 56/A	
113	keramický	68 pF $\pm$ 10%	500	SK 721 92 68/A	
114	keramický	150 pF $\pm$ 5%	250	TK 775 150p/J	
115	keramický	1000 pF + 50 - 20%	250	TK 745 1n/S	
116	keramický	1000 pF + 50 - 20%	250	TK 745 1n/S	
118	keramický	1000 pF + 50 - 20%	250	TK 745 1n/S	
119	keramický	3,3 pF $\pm$ 0,5 pF	500	SK 721 91 3J3	
120	Keramický	1,5 pF $\pm$ 0,5 pF	500	SK 721 91 1J5	
121	keramický	180 pF $\pm$ 10%	12	5WK 780 00 180/A	
122	keramický	1000 pF + 50 - 20%	250	TK 745 1n/S	
123	ladící				viz C103
124	doládovací	2,7 pF	500	SK 720 32	
125	keramický	1000 pF + 50 - 20%	250	TK 745 1n/S	
126	keramický	1000 pF + 50 - 20%	250	TK 745 1n/S	

127	keramický	4,7 pF ± 10%	40	SK 721 91 4J7/A	
201	keramický	100 pF ± 10%	40	TK 752 100p/K	
202	elektrolytický	50 µF + 100 - 10%	15	TE 004 50M	
203	elektrolytický	50 µF + 100 - 10%	15	TE 004 50M	
204	keramický	1500 pF + 50 - 20%	250	TK 745 1n5/S	
205	keramický	15 000 pF + 50 - 20%	40	TK 744 15n/S	
206	keramický	47 pF ± 10%	40	TK 754 47p/K	viz MFII
207	keramický	47 pF ± 10%	40	TK 754 47p/K	viz MFII
208	svitkový	1500 pF ± 10%	250	TC 281 1k5/A	
209	keramický	10 000 pF + 50 - 20%	250	TK 745 10n/S	
210	keramický	56 pF ± 10%	40	TK 754 56p/K	
211	keramický	56 pF ± 10%	40	TK 754 56p/K	viz MFII
212	keramický	470 pF ± 10%	40	TK 774 470p/K	viz MFII
213	keramický	2200 pF + 50 - 20%	250	TK 745 2n2/S	
214	keramický	330 pF ± 10%	40	TK 754 330p/K	
215	keramický	10 000 pF + 50 - 20%	250	TK 745 10n/S	
216	keramický	39 pF ± 5%	40	TK 754 39p/J	viz MFIIIa
217	keramický	330 pF ± 20%	250	TK 725 330/M	viz MFIIIa
218	keramický	56 pF ± 10%	40	TK 754 56p/K	viz MFIIIa
219	keramický	100 pF ± 10%	40	TK 754 100p/K	viz MFIIIa
220	keramický	15 000 pF + 50 - 20%	40	TK 744 15n/S	
221	svitkový	2200 pF ± 10%	250	TC 281 2k2/A	
222	svitkový	1800 pF ± 10%	250	TC 281 1k8/A	
223	keramický	1500 pF ± 20%	250	TK 752 1k5	
224	keramický	2200 pF + 50 - 20%	250	TK 745 2n2/S	
225	keramický	39 pF ± 10%	40	TK 754 39p/K	
226	keramický	33 pF ± 10%	40	TK 754 33p/K	viz PD
227	keramický	100 pF ± 10%	40	TK 754 100p/K	viz PD
228	keramický	100 pF ± 10%	40	TK 754 100p/K	
229	elektrolytický	10 µF + 100 - 10%	10	TE 003 10M	
230	keramický	33 000 pF ± 20%	40	SK 737 02 33k	viz MFIIIB
231	keramický	56 pF ± 10%	40	TK 754 56p/K	viz MFIIIB
232	keramický	2200 pF + 50 - 20%	250	TK 745 2n2/S	viz MFIIIB
233	svitkový	0,33 µF ± 20%	100	TC 180 M33	
234	svitkový	0,33 µF ± 20%	100	TC 180 M33	
235	svitkový	0,33 µF ± 20%	100	TC 180 M33	
236	elektrolytický	2 µF + 100 - 10%	35	TE 005 2M	
237	elektrolytický	2 µF + 100 - 10%	35	TE 005 2M	
238	elektrolytický	2 µF + 100 - 10%	35	TE 005 2M	
239	elektrolytický	2 µF + 100 - 10%	35	TE 005 2M	
240	svitkový	1000 pF ± 5%	250	TC 281 1k/B	
241	svitkový	1000 pF ± 5%	250	TC 281 1k/B	
242	svitkový	820 pF ± 5%	250	TC 281 820/B	
243	svitkový	820 pF ± 5%	250	TC 281 820/B	
244	svitkový	2200 pF ± 5%	250	TC 281 2k2/B	
245	svitkový	2200 pF ± 5%	250	TC 281 2k2/B	
246	svitkový	3300 pF ± 5%	250	TC 281 3k3/B	
247	svitkový	3300 pF ± 5%	250	TC 281 3k3/B	
248	elektrolytický	2 µF + 100 - 10%	35	TE 005 2M	
249	elektrolytický	2 µF + 100 - 10%	35	TE 005 2M	
250	elektrolytický	10 µF + 10 - 10%	10	TE 003 10M	
251	svitkový	560 pF ± 5%	250	TC 281 560/B	
252	elektrolytický	5 µF + 100 - 10%	15	TE 984 5M PVC	
301	elektrolytický	5 µF + 100 - 10%	15	TE 004 5M	
302	elektrolytický	5 µF + 100 - 10%	15	TE 004 5M	

303	svitkový	1800 pF ± 20%	250	TC 281 1k8
304	elektrolytický	2 µF + 100 - 10%	35	TE 986 2M PVC
305	svitkový	56 pF ± 20%	250	TC 281 56
306	keramický	10 000 pF + 50 - 20%	250	TK 745 10n/S
307	svitkový	8200 pF ± 5%	250	TC 281 8k2/B
308	keramický	0,1 µF ± 20%	32	TK 783 100n
309	svitkový	8200 pF ± 5%	250	TC 281 8k2/B
310	keramický	0,1 µF ± 20%	32	TK 783 100n
311	elektrolytický	2 µF + 100 - 10%	35	TE 986 2M PVC
312	keramický	6800 pF + 50 - 20%	250	TK 745 6n8/S
313	keramický	0,1 µF ± 20%	32	TK 783 100n
314	keramický	10 000 pF + 50 - 20%	250	TK 745 10n/k
315	svitkový	3900 pF ± 20%	250	TC 281 3k9
316	keramický	0,1 µF ± 20%	32	TK 783 100n
317	keramický	1000 pF ± 20%	350	TK 726 1n/M
318	svitkový	680 pF ± 5%	250	TC 281 680/B
319	svitkový	680 pF ± 5%	250	TC 281 680/B
320	svitkový	680 pF ± 5%	250	TC 281 680/B
321	svitkový	680 pF ± 5%	250	TC 281 680/B
322	svitkový	1200 pF ± 5%	250	TC 281 1k2/B
323	svitkový	1200 pF ± 5%	250	TC 281 1k2/B
324	svitkový	560 pF ± 5%	250	TC 281 560/B
401	keramický	10 000 pF + 50 - 20%	250	TK 745 10n/S
402	keramický	10 000 pF + 50 - 20%	250	TK 745 10n/S
403	elektrolytický	500 µF + 100 - 10%	35	TE 986 G5 PVC
404	elektrolytický	500 µF + 100 - 10%	35	TE 986 G5 PVC
405	elektrolytický	500 µF + 100 - 10%	35	TE 986 G5 PVC
406	elektrolytický	50 µF + 100 - 10%	35	TE 986 50M
601	svitkový	0,33 µF ± 20%	100	TC 180 M33
602	ladici	328 pF	300	1PN 705 57
603		394 pF	300	
604	elektrolytický	500 µF + 100 - 10%	15	TE 984 G5 PVC
605	elektrolytický	2000 µF + 100 - 10%	50	TC 937a 2G PVC
606	svitkový	0,1 µF ± 20%	160	TC 181 M1
607	svitkový	470 pF ± 10%	250	TC 281 470/A
702	keramický	33 pF ± 5%	40	TK 754 33p/J
703	doladovaci	10 pF		N47 BT 7,5 4-10
704	keramický	39 pF ± 5%	40	TK 754 39p/J
705	doladovaci	10 pF		N47 BT 7,5 4-10
706	keramický	39 pF ± 5%	40	TK 754 39p/J
707	doladovaci	20 pF		N 750 BT 7,5 5-20
708	keramický	39 pF ± 5%	40	TK 754 39p/J
709	doladovaci	20 pF		N 750 BT 7,5 5-20
710	slidový	330 pF ± 2%	250	WK 714 30 330/C
711	doladovaci	20 pF		N 750 BT 7,5 5-20
712	keramický	56 pF ± 5%	40	TK 754 56p/J
713	doladovaci	20 pF		N 750 BT 7,5 5-20
714	keramický	150 pF ± 5%	40	TK 754 150p/J
715	doladovaci	20 pF		N 750 BT 7,5 5-20
716	doladovaci	20 pF		N 750 BT 7,5 5-20
717	keramický	33 pF ± 5%	40	TK 754 33p/J
718	keramický	15 000 pF + 50 - 20%	40	TK 744 15n/S
719	keramický	15 000 pF + 50 - 20%	40	TK 744 15n/S
720	keramický	15 000 pF + 50 - 20%	40	TK 744 15n/S
721	keramický	47 000 pF ± 20%	12,5	TK 782 47n

722	keramický	0,1 $\mu$ F ± 20%	12,5	TK 782 100n	
723	svitkový	1000 pF ± 5%	250	TC 281 1k/B	MF1
724	keramický	47 000 pF ± 20%	12,5	TK 782 47n	
725	svitkový	220 pF ± 20%	250	TC 281 220	
726	elektrolytický	50 $\mu$ F + 100 - 10%	15	TE 984 50M	
727	svitkový	1000 pF ± 5%	250	TC 281 1k/B	MF1
728	svitkový	3300 pF ± 10%	250	TC 281 3k3/A	
729	keramický	47 pF ± 10%	40	TK 754 47p/K	
730	keramický	0,1 $\mu$ F ± 20%	12,5	TK 782 100n	
731	keramický	47 000 pF ± 20%	12,5	TK 782 47n	
732	svitkový	1000 pF ± 5%	250	TC 281 1k/B	MF2
733	svitkový	220 pF ± 20%	250	TC 281 220	
734	svitkový	1000 pF ± 5%	250	TC 281 1k/B	MF2
735	svitkový	3300 pF ± 10%	250	TC 281 3k3/A	
736	elektrolytický	100 $\mu$ F + 100 - 10%	15	TE 984 G1 PVC	
737	keramický	47 pF ± 10%	40	TK 754 47p/K	
738	elektrolytický	100 $\mu$ F + 100 - 10%	15	TE 984 G1	
739	keramický	47 000 pF ± 20%	12,5	TK 782 47n	
740	svitkový	1000 pF ± 5%	250	TC 281 1k/B	D
741	keramický	0,1 $\mu$ F ± 20%	12,5	TK 782 100n	
742	svitkový	1800 pF ± 10%	250	TC 281 1k8/A	
743	elektrolytický	10 $\mu$ F + 100 - 10%	15	TE 984 10M	
744	svitkový	1000 pF ± 10%	250	TC 281 1k/A	
745	svitkový	1000 pF ± 20%	250	TC 281 1k	MF1
746	svitkový	1000 pF ± 20%	250	TC 281 1k	MF2
747	keramický	12 pF ± 5%	40	TK 754 12p/J	
748	keramický	12 pF ± 5%	40	TK 754 12p/J	
801	svitkový	22 000 pF ± 20%	160	TC 235 22k	
802	svitkový	22 000 pF ± 20%	160	TC 235 22k	
803	elektrolytický	10 $\mu$ F + 100 - 10%	15	TE 984 10M PVC	
804	elektrolytický	10 $\mu$ F + 100 - 10%	15	TE 984 10M PVC	
805	elektrolytický	10 $\mu$ F + 100 - 10%	15	TE 984 10M PVC	
806	elektrolytický	10 $\mu$ F + 100 - 10%	15	TE 984 10M PVC	
807	svitkový	2200 pF ± 5%	250	TC 281 2k2/B	
808	svitkový	2200 pF ± 5%	250	TC 281 2k2/B	
809	svitkový	0,22 $\mu$ F ± 20%	100	TC 180 M22	
810	svitkový	0,22 $\mu$ F ± 20%	100	TC 180 M22	
811	svitkový	1500 pF ± 20%	250	TC 281 1k5	
812	svitkový	1500 pF ± 20%	250	TC 281 1k5	
813	svitkový	33 000 pF ± 20%	160	TC 235 33k	
814	svitkový	33 000 pF ± 20%	160	TC 235 33k	
815	svitkový	33 000 pF ± 20%	160	TC 235 33k	
816	svitkový	33 000 pF ± 20%	160	TC 235 33k	
817	elektrolytický	2 $\mu$ F + 100 - 10%	15	TE 984 2M PVC	
818	elektrolytický	2 $\mu$ F + 100 - 10%	15	TE 984 2M PVC	
819	elektrolytický	5 $\mu$ F + 100 - 10%	15	TE 004 5M	
820	elektrolytický	5 $\mu$ F + 100 - 10%	15	TE 004 5M	
821	keramický	68 pF ± 20%	400	TK 626 68	
822	keramický	68 pF ± 20%	400	TK 626 68	
825	elektrolytický	50 $\mu$ F + 100 - 10%	6	TE 002 50M	
826	elektrolytický	50 $\mu$ F + 100 - 10%	6	TE 002 50M	
827	elektrolytický	500 $\mu$ F + 100 - 10%	35	TE 986 G5	
828	elektrolytický	500 $\mu$ F + 100 - 10%	35	TE 986 G5	
901	elektrolytický	2 $\mu$ F + 100 - 10%	70	TE 006 2M	
902	elektrolytický	2 $\mu$ F + 100 - 10%	70	TE 006 2M	
903	elektrolytický	50 $\mu$ F + 100 - 10%	35	TE 986 50M	

904	elektrolytický	50 $\mu\text{F}$ + 100 - 10%	35	TE 986 50M	
905	elektrolytický	20 $\mu\text{F}$ + 100 - 10%	15	TE 004 20M	
906	elektrolytický	20 $\mu\text{F}$ + 100 - 10%	15	TE 004 20M	
907	elektrolytický	20 $\mu\text{F}$ + 100 - 10%	15	TE 004 20M	
908	elektrolytický	20 $\mu\text{F}$ + 100 - 10%	15	TE 004 20M	
909	svitkový	100 pF $\pm$ 10%	250	TC 281 100/A	
910	svitkový	100 pF $\pm$ 10%	250	TC 281 100/A	
911	elektrolytický	50 $\mu\text{F}$ + 100 - 10%	35	TE 986 50M PVC	
912	elektrolytický	50 $\mu\text{F}$ + 100 - 10%	35	TE 986 50M PVC	
913	elektrolytický	500 $\mu\text{F}$ + 100 - 10%	35	TE 986 G5 PVC	
914	elektrolytický	500 $\mu\text{F}$ + 100 - 10%	35	TE 986 G5 PVC	
915	elektrolytický	500 $\mu\text{F}$ + 100 - 10%	35	TE 986 G5 PVC	
916	elektrolytický	500 $\mu\text{F}$ + 100 - 10%	35	TE 986 G5 PVC	
917	keramický	10 000 pF + 50 - 20%	250	TK 745 10n/S	
918	keramický	10 000 pF + 50 - 20%	250	TK 745 10n/S	
919	svitkový	0,1 $\mu\text{F}$ $\pm$ 20%	160	TC 181 M1	
920	svitkový	0,1 $\mu\text{F}$ $\pm$ 20%	160	TC 181 M1	

R	Odpór	Hodnota	Zatižení W	Objednací číslo	Poznámky
001	vrstvový	3300 $\Omega$ $\pm$ 20%	0,125	TR 112a 3k3	
002	vrstvový	3300 $\Omega$ $\pm$ 20%	0,125	TR 112a 3k3	
003	vrstvový	820 $\Omega$ $\pm$ 5%	0,125	TR 112a 820/B	
004	vrstvový	820 $\Omega$ $\pm$ 5%	0,125	TR 112a 820/B	
005	vrstvový	0,12 M $\Omega$ $\pm$ 20%	0,125	TR 112a M12	
006	vrstvový	0,12 M $\Omega$ $\pm$ 20%	0,125	TR 112a M12	
007	vrstvový	22 000 $\Omega$ $\pm$ 5%	0,125	TR 112a 22k/B	
008	vrstvový	22 000 $\Omega$ $\pm$ 5%	0,125	TR 112a 22k/B	
009	vrstvový	47 000 $\Omega$ $\pm$ 10%	0,125	TR 112a 47k/A	
010	vrstvový	47 000 $\Omega$ $\pm$ 10%	0,125	TR 112a 47k/A	
011	vrstvový	0,33 M $\Omega$ $\pm$ 5%	0,125	TR 112a M33/B	
012	vrstvový	0,33 M $\Omega$ $\pm$ 5%	0,125	TR 112a M33/B	
013	vrstvový	1500 $\Omega$ $\pm$ 20%	0,125	TR 112a 1k5	
014	vrstvový	1500 $\Omega$ $\pm$ 20%	0,125	TR 112a 1k5	
015	vrstvový	8200 $\Omega$ $\pm$ 10%	0,125	TR 112a 8k2/A	
016	vrstvový	8200 $\Omega$ $\pm$ 10%	0,125	TR 112a 8k2/A	
017	vrstvový	10 000 $\Omega$ $\pm$ 10%	0,125	TR 112a 10k/A	
018	vrstvový	10 000 $\Omega$ $\pm$ 10%	0,125	TR 112a 10k/A	
019	vrstvový	0,12 M $\Omega$ $\pm$ 20%	0,125	TR 112a M12	
101	vrstvový	330 $\Omega$ $\pm$ 10%	0,125	TR 112a 330/A	
102	vrstvový	3300 $\Omega$ $\pm$ 10%	0,125	TR 112a 3k3/A	
103	vrstvový	12 000 $\Omega$ $\pm$ 10%	0,125	TR 112a 12k/A	
104	vrstvový	390 $\Omega$ $\pm$ 10%	0,125	TR 112a 390/A	
105	vrstvový	33 000 $\Omega$ $\pm$ 10%	0,125	WK 650 54 33k/A	viz MFO
106	vrstvový	5600 $\Omega$ $\pm$ 10%	0,125	TR 112a 5k6/A	
107	vrstvový	150 $\Omega$ $\pm$ 20%	0,125	TR 112a 150	
108	vrstvový	18 000 $\Omega$ $\pm$ 10%	0,125	TR 112a 18k/A	
109	vrstvový	18 000 $\Omega$ $\pm$ 10%	0,125	TR 112a 18k/A	
110	vrstvový	1000 $\Omega$ $\pm$ 20%	0,125	TR 112a 1k	
111	vrstvový	3300 $\Omega$ $\pm$ 10%	0,125	TR 112a 3k3/A	
112	vrstvový	1500 $\Omega$ $\pm$ 10%	0,125	TR 112a 1k5/A	
113	vrstvový	12 000 $\Omega$ $\pm$ 10%	0,125	TR 112a 12k/A	
114	vrstvový	6800 $\Omega$ $\pm$ 10%	0,125	TR 112a 6k8/A	
115	vrstvový	82 000 $\Omega$ $\pm$ 10%	0,125	TR 112a 82k/A	

116	vrstvový	0,47 MΩ ± 20%	0,125	TR 112a M47	
117	vrstvový	1 MΩ ± 20%	0,125	TR 112a 1M	
118	vrstvový	0,47 MΩ ± 10%	0,125	TR 112a M47/A	
119	vrstvový	22 Ω ± 10%	0,125	TR 112a 22	
201	vrstvový	47 Ω ± 10%	0,125	TR 112a 47/A	
202	vrstvový	220 Ω ± 10%	0,125	TR 112a 220/A	
204	vrstvový	2200 Ω ± 10%	0,125	TR 112a 2k2/A	
205	vrstvový	560 Ω ± 10%	0,125	TR 112a 560/A	
207	vrstvový	22 000 Ω ± 10%	0,125	TR 112a 22k/A	
208	vrstvový	15 000 Ω ± 10%	0,125	TR 112a 15k/A	
209	vrstvový	18 000 Ω ± 10%	0,125	TR 112a 18k/A	
210	vrstvový	470 Ω ± 10%	0,125	WK 650 54 470/A	viz MFI
211	vrstvový	680 Ω ± 10%	0,125	TR 112a 680/A	
212	vrstvový	4700 Ω ± 10%	0,125	TR 112a 4k7/A	
213	vrstvový	18 000 Ω ± 10%	0,125	TR 112a 18k/A	viz MFII
214	vrstvový	470 Ω ± 10%	0,125	WK 650 54 470/A	
215	vrstvový	680 Ω ± 10%	0,125	TR 112a 680/A	
216	vrstvový	100 Ω ± 20%	0,125	TR 112a 100	
217	vrstvový	4700 Ω ± 10%	0,125	TR 112a 4k7/A	
218	vrstvový	18 000 Ω ± 10%	0,125	TR 112a 18k/A	viz MFIIIa
219	vrstvový	470 Ω ± 10%	0,125	WK 650 54 470/A	
220	vrstvový	68 000 Ω ± 10%	0,125	TR 112a 68k/A	
221	vrstvový	22 Ω ± 10%	0,125	TR 112a 22/A	
222	vrstvový	47 Ω ± 10%	0,125	TR 112a 47/A	
223	vrstvový	680 Ω ± 10%	0,125	TR 112a 680/A	
224	vrstvový	150 Ω ± 10%	0,125	TR 112a 150	
225	vrstvový	680 Ω ± 10%	0,125	WK 650 54 680/A	viz PD
226	vrstvový	330 Ω ± 10%	0,125	WK 650 54 330/A	viz PD
227	vrstvový	270 Ω ± 10%	0,125	TR 112a 270/A	
228	vrstvový	270 Ω ± 10%	0,125	TR 112a 270/A	
229	vrstvový	1000 Ω ± 10%	0,125	TR 112a 1k/A	
230	potenciometr	2200 Ω lin.	0,2	TP 041 2k2	trimr
231	vrstvový	3900 Ω ± 10%	0,125	TR 112a 3k9/A	
232	potenciometr	3300 Ω lin.	0,2	TP 041 3k3	trimr
233	vrstvový	3900 Ω ± 10%	0,125	TR 112a 3k9/A	
234	vrstvový	4700 Ω ± 10%	0,125	TR 112a 4k7/A	
235	vrstvový	0,15 MΩ ± 10%	0,125	TR 112a M15/A	
236	vrstvový	15 000 Ω ± 10%	0,125	WK 650 54 15k/A	viz MFIIIB
237	vrstvový	0,15 MΩ ± 10%	0,125	TR 112a M15/A	
238	vrstvový	33 000 Ω ± 10%	0,125	TR 112a 33k/A	
239	vrstvový	33 000 Ω ± 10%	0,125	TR 112a 33k/A	
240	vrstvový	0,15 MΩ ± 10%	0,125	TR 112a M15/A	
241	vrstvový	0,12 MΩ ± 10%	0,125	TR 112a M12/A	
242	vrstvový	0,12 MΩ ± 10%	0,125	TR 112a M12/A	
243	vrstvový	10 000 Ω ± 5%	0,125	TR 112a 10k/B	
244	vrstvový	1000 Ω ± 5%	0,125	TR 112a 1k/B	
245	vrstvový	1000 Ω ± 5%	0,125	TR 112a 1k/B	
246	vrstvový	10 000 Ω ± 5%	0,125	TR 112a 10k/B	
247	vrstvový	150 Ω ± 10%	0,125	TR 112a 150/A	
248	vrstvový	150 Ω ± 10%	0,125	TR 112a 150/A	
249	vrstvový	4700 Ω ± 5%	0,125	TR 112a 4k7/B	
250	vrstvový	4700 Ω ± 5%	0,125	TR 112a 4k7/B	
251	vrstvový	150 Ω ± 20%	0,125	TR 112a 150	
252	vrstvový	150 Ω ± 20%	0,125	TR 112a 150	
253	vrstvový	2700 Ω ± 10%	0,125	TR 112a 2k7/A	

254	vrstvový	150 $\Omega \pm 20\%$	0,125	TR 112a 150	
255	vrstvový	150 $\Omega \pm 20\%$	0,125	TR 112a 150	
256	vrstvový	2700 $\Omega \pm 10\%$	0,125	TR 112a 2k7/A	
261	vrstvový	10 000 $\Omega \pm 20\%$	0,125	TR 112a 10k	
262	potenciometr	6800 $\Omega$ lin.	0,2	TP 041 6k8	trimr
263	potenciometr	2200 $\Omega$ lin.	0,2	TP 041 2k2	trimr
264	potenciometr	6800 $\Omega$ lin.	0,2	TP 041 6k8	trimr
265	vrstvový	10 000 $\Omega \pm 20\%$	0,125	TR 112a 10k	
266	vrstvový	10 000 $\Omega \pm 20\%$	0,125	TR 112a 10k	
267	vrstvový	6800 $\Omega \pm 10\%$	0,125	TR 112a 6k8/A	
268	vrstvový	6800 $\Omega \pm 10\%$	0,125	TR 112a 6k8/A	
269	vrstvový	100 $\Omega \pm 10\%$	0,125	TR 112a 100/A	
270	vrstvový	6800 $\Omega \pm 10\%$	0,125	TR 112a 6k8/A	
271	vrstvový	12 000 $\Omega \pm 10\%$	0,125	TR 112a 12k/A	
272	vrstvový	470 $\Omega \pm 10\%$	0,125	TR 112a 470/A	
273	vrstvový	10 000 $\Omega \pm 10\%$	0,125	TR 112a 10k/A	
274	vrstvový	10 000 $\Omega \pm 10\%$	0,125	TR 112a 10k/A	
275	vrstvový	270 $\Omega \pm 10\%$	0,125	TR 112a 270/A	
276	vrstvový	47 000 $\Omega \pm 10\%$	0,125	TR 112a 47k/A	
277	vrstvový	6800 $\Omega \pm 10\%$	0,125	TR 112a 6k8/A	
278	vrstvový	330 $\Omega \pm 10\%$	0,125	TR 112a 330/A	
279	vrstvový	1500 $\Omega \pm 10\%$	0,125	TR 112a 1k5/A	
280	vrstvový	6800 $\Omega \pm 10\%$	0,125	TR 112a 6k8/A	
281	vrstvový	180 $\Omega \pm 10\%$	0,5	TR 144 180/A	
282	vrstvový	560 $\Omega \pm 10\%$	0,5	TR 144 560/A	
283	vrstvový	4700 $\Omega \pm 10\%$	0,125	TR 112a 4k7/A	
284	vrstvový	1800 $\Omega \pm 10\%$	0,125	TR 112a 1k8/A	
285	vrstvový	5600 $\Omega \pm 10\%$	0,125	TR 112a 5k6/A	
286	vrstvový	1,5 M $\Omega$ $\pm 20\%$	0,125	TR 112a 1M5	
287	vrstvový	0,33 M $\Omega$ $\pm 20\%$	0,125	TR 112a M33	
288	vrstvový	56 000 $\Omega \pm 10\%$	0,125	TR 112a 56k/A	
289	vrstvový	1000 $\Omega \pm 20\%$	0,125	TR 112a 1k	
290	vrstvový	330 $\Omega \pm 10\%$	0,125	TR 112a 330/A	
301	vrstvový	1,5 M $\Omega$ $\pm 20\%$	0,125	TR 112a 1M5	
302	vrstvový	22 000 $\Omega \pm 20\%$	0,125	TR 112a 22k	
303	vrstvový	22 000 $\Omega \pm 20\%$	0,125	TR 112a 22k	
304	vrstvový	47 000 $\Omega \pm 20\%$	0,125	TR 112a 47k	
305	vrstvový	3300 $\Omega \pm 10\%$	0,125	TR 112a 3k3/A	
306	potenciometr	4700 $\Omega$ lin.	0,2	TP 040 4k7	trimr
307	vrstvový	3300 $\Omega \pm 20\%$	0,125	TR 112a 3k3	
308	vrstvový	1800 $\Omega \pm 10\%$	0,125	TR 112a 1k8/A	
309	vrstvový	33 000 $\Omega \pm 20\%$	0,125	TR 112a 33k	
310	vrstvový	82 000 $\Omega \pm 10\%$	0,125	TR 112a 82k/A	
311	vrstvový	33 000 $\Omega \pm 20\%$	0,125	TR 112a 3k3	
312	vrstvový	3300 $\Omega \pm 20\%$	0,125	TR 112a 1M5	
313	vrstvový	1,5 M $\Omega$ $\pm 20\%$	0,125	TR 112a M47	
314	vrstvový	0,47 M $\Omega$ $\pm 20\%$	0,125	TR 112a 22k	
315	vrstvový	22 000 $\Omega \pm 20\%$	0,125	TR 112a 82k/A	
316	vrstvový	82 000 $\Omega \pm 10\%$	0,125	TR 112a 27k/A	
317	vrstvový	27 000 $\Omega \pm 10\%$	0,125	TR 112a 1k8/A	
318	vrstvový	1800 $\Omega \pm 10\%$	0,125	TR 112a M47/A	
319	vrstvový	0,47 M $\Omega$ $\pm 10\%$	0,125	TR 112a M47/A	
320	vrstvový	0,47 M $\Omega$ $\pm 10\%$	0,125	TR 112a M47/A	
321	vrstvový	0,15 M $\Omega$ $\pm 10\%$	0,125	TR 112a M15/A	
322	vrstvový	0,15 M $\Omega$ $\pm 10\%$	0,125	TR 112a M15/A	

323	vrstvový	0,15 MΩ ± 10%	0,125	TR 112a M15/A
324	vrstvový	0,15 MΩ ± 10%	0,125	TR 112a M15/A
325	vrstvový	47 000 Ω ± 5%	0,125	TR 112a 47k/B
326	vrstvový	47 000 Ω ± 5%	0,125	TR 112a 47k/B
327	vrstvový	47 000 Ω ± 5%	0,125	TR 112a 47k/B
328	vrstvový	47 000 Ω ± 5%	0,125	TR 112a 47k/B
329	vrstvový	47 Ω ± 10%	0,125	TR 112a 47/A
330	vrstvový	47 Ω ± 10%	0,125	TR 112a 47/A
331	vrstvový	47 000 Ω ± 20%	0,125	TR 112a 47k
401	vrstvový	150 Ω ± 5%	0,25	TR 151 150/B
402	vrstvový	150 Ω ± 5%	0,25	TR 151 150/B
403	vrstvový	10 Ω ± 10%	0,125	TR 112a 10/A
404	vrstvový	10 Ω ± 10%	0,5	TR 144 10/A
501	vrstvový	150 Ω ± 10%	0,125	TR 112a 150/A
502	vrstvový	150 Ω ± 10%	0,125	TR 112a 150/A
503	vrstvový	1500 Ω ± 10%	0,125	TR 112a 1k5/A
504	vrstvový	1500 Ω ± 10%	0,125	TR 112a 1k5/A
505	vrstvový	330 Ω ± 10%	0,125	TR 112a 330/A
603	vrstvový	10 000 Ω ± 20%	0,125	WK 650 54 10k
604	vrstvový	0,22MΩ ± 5%	0,125	TR 112a M22/B
605	vrstvový	0,22MΩ ± 5%	0,125	TR 112a M22/B
606	vrstvový	10 000 Ω ± 5%	0,125	TR 112a 10k/B
607	vrstvový	10 000 Ω ± 5%	0,125	TR 112a 10k/B
608	vrstvový	470 Ω ± 20%	0,125	TR 112a 470
609	vrstvový	470 Ω ± 5%	0,125	TR 112a 470/B
610	vrstvový	470 Ω ± 5%	0,125	TR 112a 470/B
701	vrstvový	22 000 Ω ± 10%	0,125	TR 112a 22k/A
702	vrstvový	6800 Ω ± 10%	0,125	TR 112a 6k8/A
703	vrstvový	1500 Ω ± 10%	0,125	TR 112a 1k5/A
704	vrstvový	10 Ω ± 10%	0,125	TR 112a 10/A
705	vrstvový	2200 Ω ± 10%	0,125	TR 112a 2k2/A
706	vrstvový	47 000 Ω ± 10%	0,125	TR 112a 47k/A
707	vrstvový	220 Ω ± 20%	0,125	TR 112a 220
708	vrstvový	6800 Ω ± 10%	0,125	TR 112a 6k8/A
709	vrstvový	8200 Ω ± 10%	0,125	TR 112a 8k2/A
710	vrstvový	150 Ω ± 20%	0,125	TR 112a 150
711	vrstvový	0,22 MΩ ± 10%	0,125	TR 112a M22/A
712	vrstvový	330 Ω ± 20%	0,125	TR 112a 330
713	vrstvový	0,22 MΩ ± 10%	0,125	TR 112a M22/A
714	vrstvový	6800 Ω ± 10%	0,125	TR 112a 6k8/A
715	vrstvový	22 000 Ω ± 10%	0,125	TR 112a 22k/A
716	vrstvový	3300 Ω ± 10%	0,125	TR 112a 3k3/A
717	vrstvový	220 Ω ± 20%	0,125	TR 112a 220
718	vrstvový	1500 Ω ± 10%	0,125	TR 112a 1k5/A
719	vrstvový	0,22 MΩ ± 10%	0,125	TR 112a M22/A
720	vrstvový	15 000 Ω ± 10%	0,125	TR 112a 15k/A
721	vrstvový	2200 Ω ± 10%	0,125	TR 112a 2k2/A
722	vrstvový	0,22 MΩ ± 10%	0,125	TR 112a M22/A
723	vrstvový	15 000 Ω ± 10%	0,125	TR 112a 15k/A
724	vrstvový	6800 Ω ± 10%	0,125	TR 112a 6k8/A
725	vrstvový	33 Ω ± 20%	0,125	TR 112a 33
726	vrstvový	1500 Ω ± 10%	0,125	TR 112a 1k5/A
727	vrstvový	220 Ω ± 20%	0,125	TR 112a 220
728	vrstvový	3300 Ω ± 10%	0,125	TR 112a 3k3/A
729	vrstvový	150 Ω ± 20%	0,125	TR 112a 150
730	vrstvový	2200 Ω ± 10%	0,125	TR 112a 2k2/A

731	vrstvový	3300 Ω ± 10%	0,125	TR 112a 3k3/A	
732	vrstvový	5600 Ω ± 20%	0,125	TR 112a 5k6	
733	vrstvový	22 Ω ± 10%	0,125	TR 112a 22/A	
734	vrstvový	22 Ω ± 10%	0,125	TR 112a 22/A	
735	vrstvový	470 Ω ± 20%	0,125	TR 112a 470	
736	vrstvový	10 000 Ω ± 10%	0,125	TR 112a 10k/A	
737	vrstvový	0,68 MΩ ± 10%	0,125	TR 112a M68/A	
738	vrstvový	0,1 MΩ ± 10%	0,125	TR 112a M1/A	
739	vrstvový	33 000 Ω ± 10%	0,125	TR 112a 33k/A	
740	vrstvový	150 Ω ± 20%	0,125	TR 112a 150	
741	vrstvový	2200 Ω ± 10%	0,125	TR 112a 2k2/A	viz MF1
801	vrstvový	0,22 MΩ ± 20%	0,125	TR 112a M22	
802	vrstvový	0,22 MΩ ± 20%	0,125	TR 112a M22	
803	vrstvový	0,47 MΩ ± 20%	0,125	TR 112a M47	
804	vrstvový	0,47 MΩ ± 20%	0,125	TR 112a M47	
805	vrstvový	0,15 MΩ ± 20%	0,125	TR 112a M15	
806	vrstvový	0,15 MΩ ± 20%	0,125	TR 112a M15	
807	vrstvový	100 Ω ± 20%	0,125	TR 112a 100	
808	vrstvový	100 Ω ± 20%	0,125	TR 112a 100	
809	vrstvový	22 000 Ω ± 20%	0,125	TR 112a 22k	
810	vrstvový	22 000 Ω ± 20%	0,125	TR 112a 22k	
811	vrstvový	8200 Ω ± 10%	0,125	TR 112a 8k2/A	
812	vrstvový	8200 Ω ± 10%	0,125	TR 112a 8k2/A	
813	vrstvový	2200 Ω ± 10%	0,125	TR 112a 2k2/A	
814	vrstvový	2200 Ω ± 10%	0,125	TR 112a 2k2/A	
815	potenciometr	2 x 50 000 Ω log.		1PN 692 34	hlasitost
816					
817	potenciometr	2 x 0,1 MΩ lin.		1PN 692 32	výšky
818					
819	vrstvový	10 000 Ω ± 20%	0,125	TR 112a 10k	
820	vrstvový	10 000 Ω ± 20%	0,125	TR 112a 10k	
821	vrstvový	4700 Ω ± 20%	0,125	TR 112a 4k7	
822	vrstvový	4700 Ω ± 20%	0,125	TR 112a 4k7	
823	vrstvový	10 000 Ω ± 20%	0,125	TR 112a 10k	
824	vrstvový	10 000 Ω ± 20%	0,125	TR 112a 10k	
825	vrstvový	18 000 Ω ± 10%	0,125	TR 112a 18k/A	
826	vrstvový	18 000 Ω ± 10%	0,125	TR 112a 18k/A	
827	potenciometry	2 x 0,1 MΩ lin.		1PN 692 32	basy
828					
829	vrstvový	0,82 MΩ ± 10%	0,125	TR 112a M82/A	
830	vrstvový	0,82 MΩ ± 10%	0,125	TR 112a M82/A	
831	vrstvový	4700 Ω ± 20%	0,125	TR 112a 4k7	
832	vrstvový	4700 Ω ± 20%	0,125	TR 112a 4k7	
833	vrstvový	0,15 MΩ ± 20%	0,125	TR 112a M15	
834	vrstvový	0,15 MΩ ± 20%	0,125	TR 112a M15	
835	vrstvový	1800 Ω ± 10%	0,125	TR 112a 1k8/A	
836	vrstvový	1800 Ω ± 10%	0,125	TR 112a 1k8/A	
837	potenciometr	2 x 25 000 Ω lin.		1PN 692 33	vyvážení
838					
839	vrstvový	3300 Ω ± 20%	0,125	TR 112a 3k3	
840	vrstvový	3300 Ω ± 20%	0,125	TR 112a 3k3	
841	vrstvový	2200 Ω ± 10%	0,125	TR 112a 2k2/A	
842	vrstvový	2200 Ω ± 10%	0,125	TR 112a 2k2/A	
843	vrstvový	2200 Ω ± 10%	0,125	TR 112a 2k2/A	
844	vrstvový	2200 Ω ± 10%	0,125	TR 112a 2k2/A	
845	vrstvový	1500 Ω ± 20%	0,125	TR 112a 1k5	

846	vrstvový	1500 $\Omega \pm 20\%$	0,125	TR 112a 1k5	
901	vrstvový	0,15 M $\Omega \pm 20\%$	0,125	TR 112a M15	
902	vrstvový	0,15 M $\Omega \pm 20\%$	0,125	TR 112a M15	
903	vrstvový	0,33 M $\Omega \pm 20\%$	0,125	TR 112a M33	
904	vrstvový	0,33 M $\Omega \pm 20\%$	0,125	TR 112a M33	
905	vrstvový	10 $\Omega \pm 5\%$	0,125	TR 112a 10/B	
906	vrstvový	10 $\Omega \pm 5\%$	0,125	TR 112a 10/B	
907	vrstvový	4700 $\Omega \pm 20\%$	0,125	TR 112a 4k7	
908	vrstvový	4700 $\Omega \pm 20\%$	0,125	TR 112a 4k7	
909	vrstvový	1000 $\Omega \pm 5\%$	0,125	TR 112a 1k/B	
910	vrstvový	1000 $\Omega \pm 5\%$	0,125	TR 112a 1k/B	
911	vrstvový	10 000 $\Omega \pm 20\%$	0,125	TR 112a 10k	
912	vrstvový	10 000 $\Omega \pm 20\%$	0,125	TR 112a 10k	
913	vrstvový	15 000 $\Omega \pm 20\%$	0,125	TR 112a 15k	
914	vrstvový	15 000 $\Omega \pm 20\%$	0,125	TR 112a 15k	
915	vrstvový	2700 $\Omega \pm 10\%$	0,125	TR 112a 2k7/A	
916	vrstvový	2700 $\Omega \pm 10\%$	0,125	TR 112a 2k7/A	
917	potenciometr	0,1 M $\Omega$ lin.	0,2	TP 040 M1	trimr
918	potenciometr	0,1 M $\Omega$ lin.	0,2	TP 040 M1	trimr
919	vrstvový	68 $\Omega \pm 10\%$	0,125	TR 112a 68/A	
920	vrstvový	68 $\Omega \pm 10\%$	0,125	TR 112a 68/A	
921	potenciometr	1000 $\Omega$ lin.	0,2	TP 040 1k	trimr
922	potenciometr	1000 $\Omega$ lin.	0,2	TP 040 1k	trimr
923	vrstvový	1800 $\Omega \pm 20\%$	0,125	TR 112a 1k8/A	
924	vrstvový	1800 $\Omega \pm 20\%$	0,125	TR 112a 1k8/A	
925	vrstvový	680 $\Omega \pm 20\%$	0,125	TR 112a 680	
926	vrstvový	680 $\Omega \pm 20\%$	0,125	TR 112a 680	
927	vrstvový	1000 $\Omega \pm 20\%$	0,125	TR 112a 1k	
928	vrstvový	1000 $\Omega \pm 20\%$	0,125	TR 112a 1k	
929	vrstvový	1000 $\Omega \pm 20\%$	0,125	TR 112a 1k	
930	vrstvový	1000 $\Omega \pm 20\%$	0,125	TR 112a 1k	
931	drátový	0,5 $\Omega \pm 10\%$	2	WK 669 42 0J5/A	
932	drátový	0,5 $\Omega \pm 10\%$	2	WK 669 42 0J5/A	
933	drátový	0,5 $\Omega \pm 10\%$	2	WK 669 42 0J5/A	
934	drátový	0,5 $\Omega \pm 10\%$	2	WK 669 42 0J5/A	
935	vrstvový	22 $\Omega \pm 20\%$	0,125	TR 112a 22	
936	vrstvový	22 $\Omega \pm 20\%$	0,125	TR 112a 22	

### ZMĚNY BĚHEM VÝROBY

- Objednací číslo kondenzátoru C127 se změnilo na TK 676 6J8  $\pm 0,5$  pF; zapojuje se nyní mezi bod L120, L112 a zem. Současně se mění obj. čís. kondenzátoru C121 na SK 721 92 22.
- Cívky L221 - L224 měly původně objednací číslo LPK 586 83. Počet závitů civek a způsob sladování se však neměnil. Totéž platí o cívkách L301, L302 a L303, jejichž původní objednací číslo byla LPK 586 33, LPK 586 34 a LPK 586 35.
- V přijímačích poslední výroby se změnila tato objednací čísla:

C223	TK 744 15n/S
C230	TK 782 100n
R261	TR 112a 3k3
R272	TR 112a 270

R278	TR 112a 4k7
D101	KB105G
D301	GA203
D901 - D908	KY 130/80

4. Varikapy D701 a D703 byly později osazovány typy KB105G. Současně je příslušné ovládací napětí, zaváděné do bodu P1/1, sníženo děličem ze dvou odporů TR 112a 18k/A.
5. Tranzistor T301 byl nahrazen jugoslávským typem BC226; potom mají být jeho provozní napětí  $U_E = -1,7$  až  $2,2$  V a  $U_K = -11$  až  $-12$  V.
6. Původní soustava dvou mf odládovačů byla nahrazena novým provedením samostatného odládovače L601, C607, obj. číslo sestavy je 1PK 852 44. Samotný odládovač má číslo 1PK 593 90 a jeho feritové doladovací jádro M3,5 x 0,5 x 12 číslo 205 511 304 503. Současně jsou všechny vodiče v uvedeném obvodu stíněny, přičemž stínící pletivo je spolehlivě propojeno se stínícím krytem odládovače.
7. Nový kondenzátor TK 656 1J5  $\pm 0,5$  pF (nebo 3J3  $\pm 0,5$  pF) byl zapojen mezi dotek přepínače P6/32 a zem (stínici přepážku tlačítkové soupravy). V nejnovějších přístrojích byl zapojen odpor TR 112a 100 do přívodu ke kolektoru tranzistoru T703 (připájený na desku ze strany plošných spojů) a mezi P6/32 a zem kondenzátor TK 755 4p7/D.
8. Detekční obvod pro am byl upraven a doplněn nastavitelnými nf zádržemi, jejichž účelem je vhodné tvarovat kmitočtový průběh demodulovaného signálu a vyloučit případné zkreslení nebo zákmity při příjmu silných vysílačů. Na obr. 16. je schéma zapojení změněné části s novými díly vyznačenými barevně a na obr. 17. je příslušný výřez montážního zapojení s novou deskou (jejíž objednací číslo se nezměnilo). V novém provedení je tlumivka L726 spolu s dalšími díly vestavěna do krytu nového detektoru D, obj. číslo 1PK 853 29. Cívky nf zádrží L727 a L728 mají obj. číslo 1PF 652 10, doladovací jádro M4 x 0,5 x 12 má číslo 205 512 304 651. Další nové části: C749 = TC 281 4k7, C750 = TC 281 6k8, C751 = TC 281 1k8, C752 = TE 986 2M, R730 = TR 112a 8k2/A a je jinak zapojen, R735 odpadá a kondenzátor C744 má nyní hodnotu 4k7/A.

Nf zádrže se přesně nastavují pomocí nf generátoru, zapojeného na vývod 4 detektoru D (katoda diody D705) a nf milivoltmetru připojeného na výstup "R" přijímače. Přepněte přijímač na dlouhé vlny a tlačítko P1 (Š.P.) ponechte nestlačeno. Naříďte generátor na kmitočet 5250 Hz tak, aby napětí na výstupu bylo přibližně 250 mV; jádrem cívky L728 potom naříďte nejmenší výchylku výstupního měříče. Přeladte generátor na 1000 Hz a nastavte na výstupu referenční úroveň 25 mV (0 dB); nyní naladte generátor na 4250 Hz a jádrem cívky L727 naříďte pokles výstupního napěti o 3 dB pod referenční úrovni. Odpojte přístroje, stiskněte tlačítko P1 a ověřte si, zda je mf šířka pásmá větší než 4000 Hz (viz str. 23).

Záznamy o dalších změnách

---

---

---

---

---

---

---

---

---

---

---

---

---

---

---

---

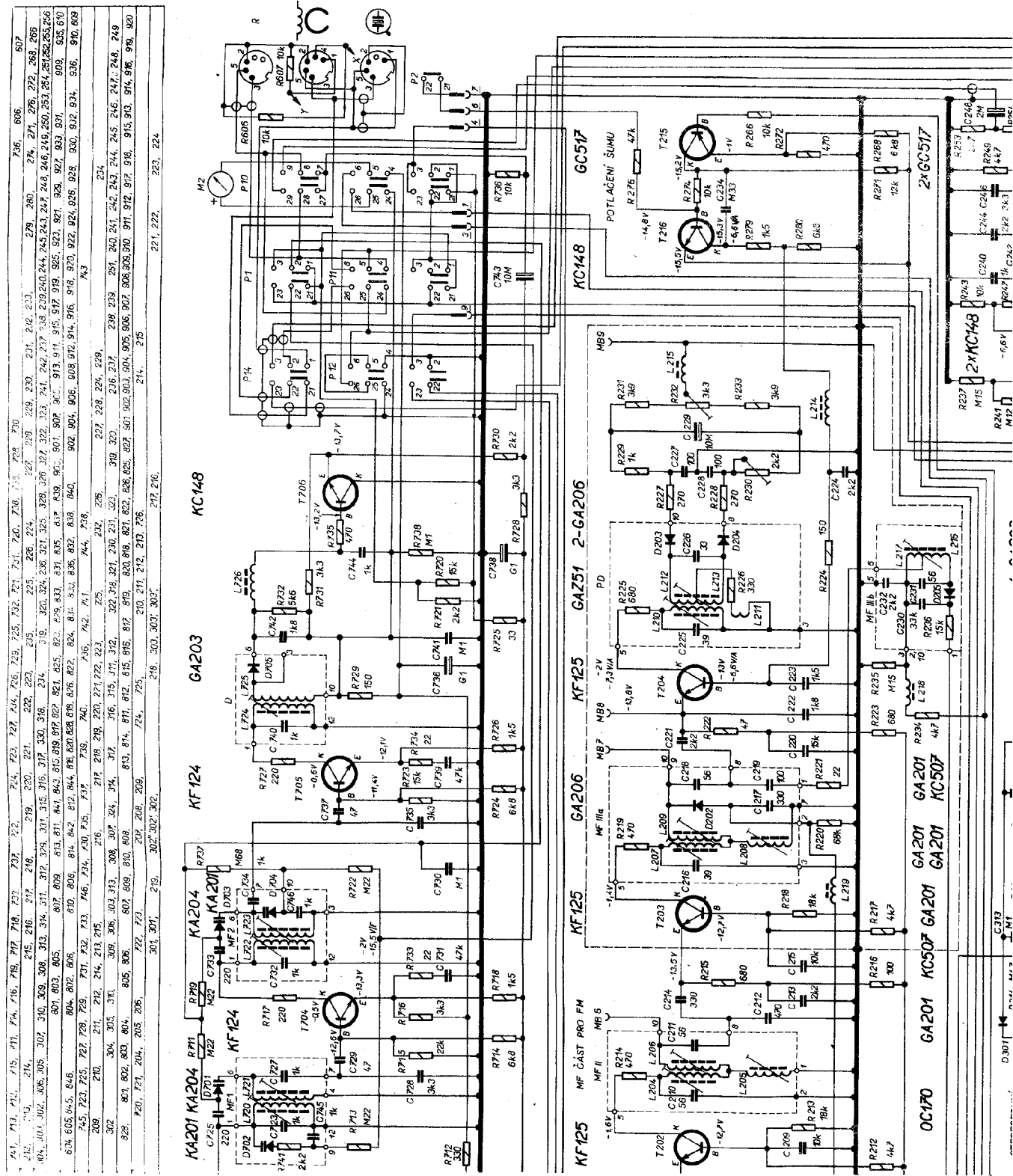
---

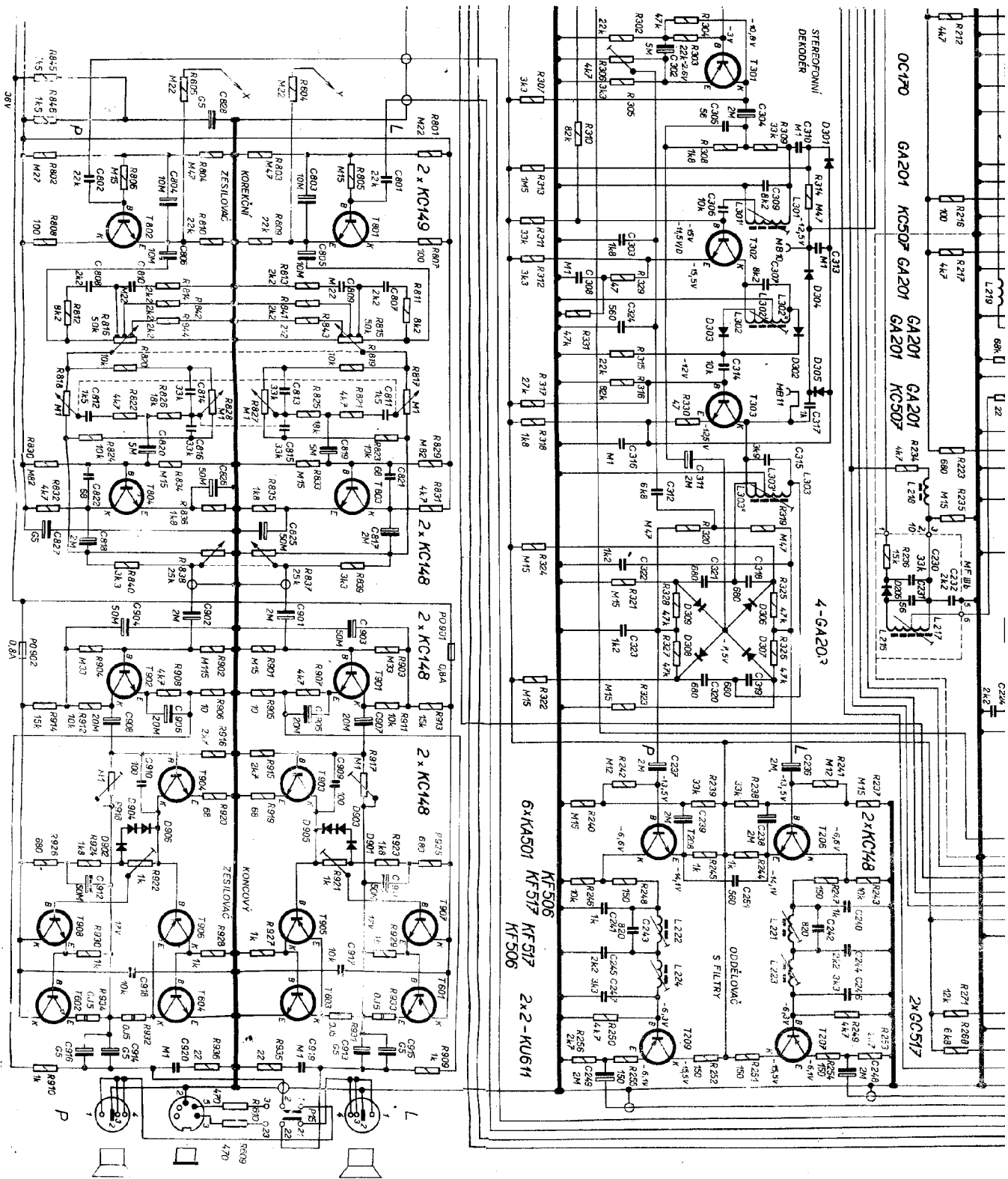
---

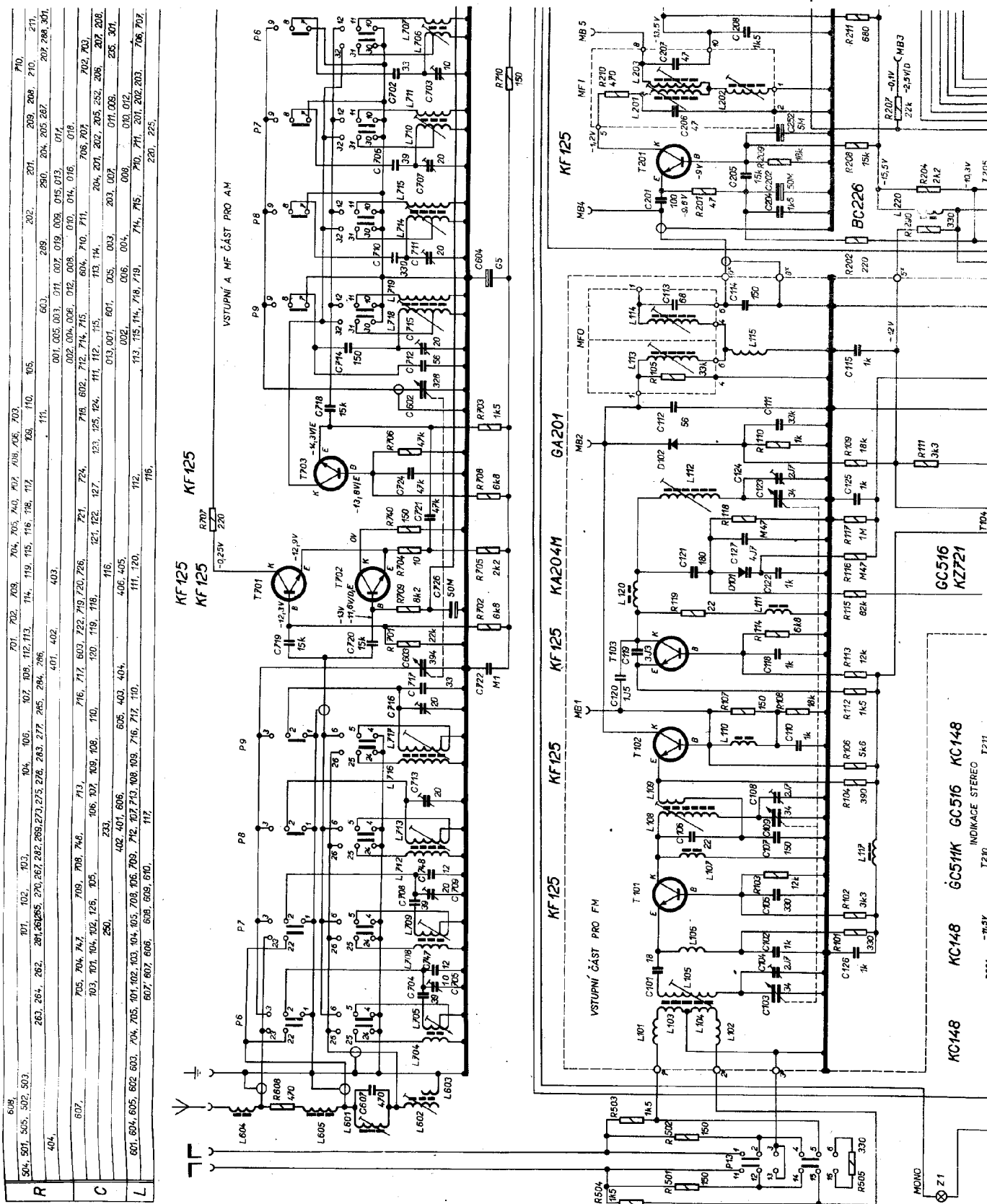
---

TABUĽKA 3. FUNKCE TLAČÍTKOVÝCH PŘEPÍNAČŮ

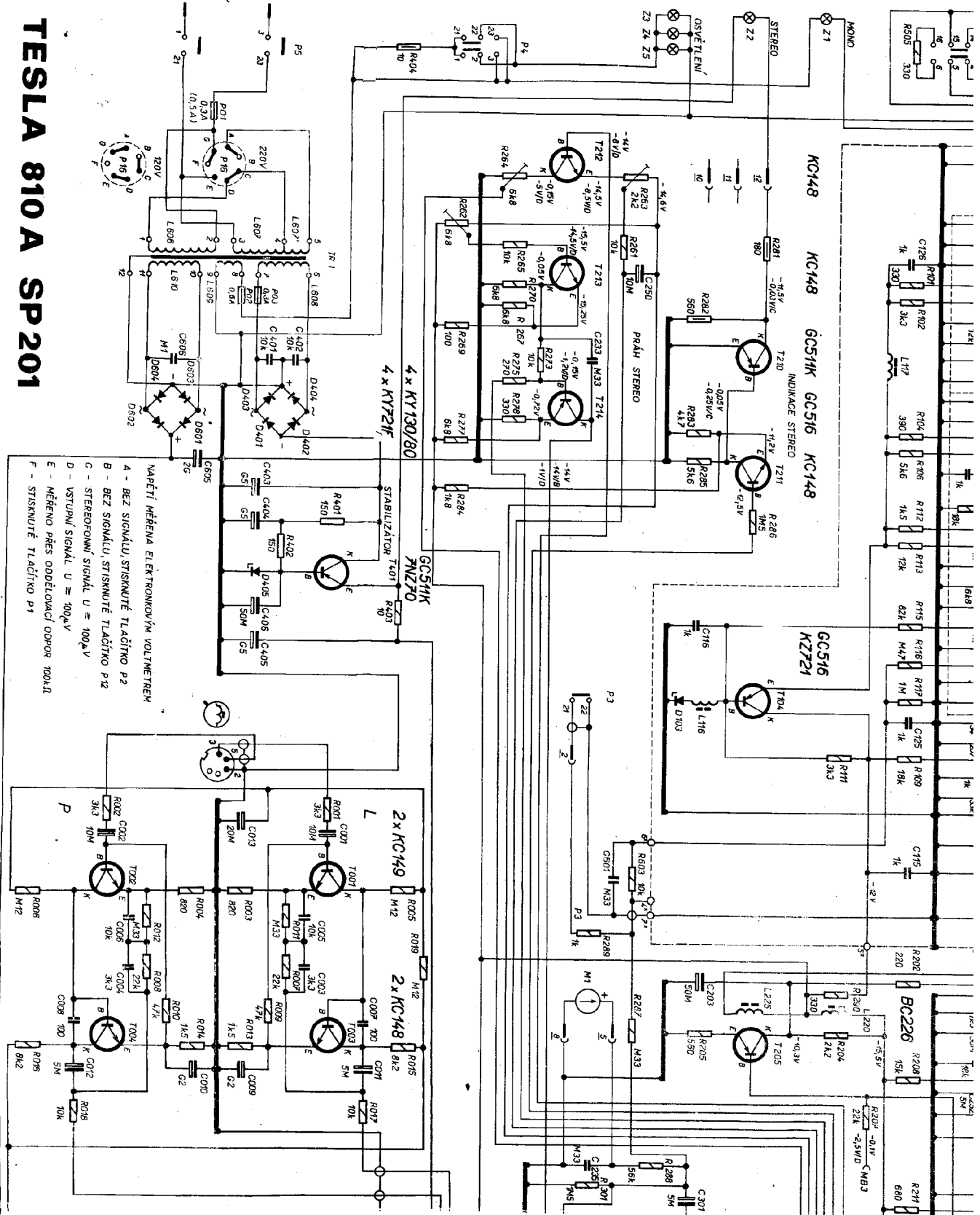
PŘEPÍNAČ		STISKNUTÍM TLAČÍTKA SE MĚNÍ SPOJENÍ TAKTO:	
		SPOJÍ SE	ROZPOJÍ SE
P1	S.P.	2 - 3, 22 - 23	1 - 2, 21 - 22
P2	SUM	-	21 - 22
P3	AFC	-	21 - 22
P4	OSV.	2 - 3, 22 - 23	1 - 2, 21 - 22
P5	VIP.	1 - 21, 3 - 23	-
P6	KVI	2 - 3, 5 - 6, 8 - 9, 11 - 12 22 - 23, 25 - 26, 31 - 32	1 - 2, 4 - 5, 7 - 8, 10 - 11 24 - 25, 30 - 31
P7	KVII	2 - 3, 5 - 6, 8 - 9, 11 - 12 22 - 23, 25 - 26, 31 - 32	1 - 2, 4 - 5, 7 - 8, 10 - 11 24 - 25, 30 - 31
P8	SV	2 - 3, 5 - 6, 8 - 9, 11 - 12 25 - 26, 31 - 32	1 - 2, 4 - 5, 7 - 8, 10 - 11 24 - 25, 30 - 31
P9	DV	2 - 3, 5 - 6, 8 - 9, 11 - 12 25 - 26, 31 - 32	1 - 2, 4 - 5, 7 - 8, 10 - 11 24 - 25, 30 - 31
P10	VKV	2 - 3, 5 - 6, 8 - 9 22 - 23, 25 - 26, 28 - 29	1 - 2, 4 - 5, 7 - 8 21 - 22, 24 - 25, 27 - 28
P11	○	5 - 6, 25 - 26	4 - 5, 21 - 22, 24 - 25
P12	MONO	2 - 3, 5 - 6, 22 - 23, 25 - 26	4 - 5, 24 - 25
P13	MIESTNY PRÍJEM	2 - 3, 5 - 6, 12 - 13, 15 - 16	1 - 2, 4 - 5, 11 - 12, 14 - 15
P14	○	2 - 3, 22 - 23	1 - 2, 21 - 22
P15	□	2 - 3, 22 - 23	1 - 2, 21 - 22

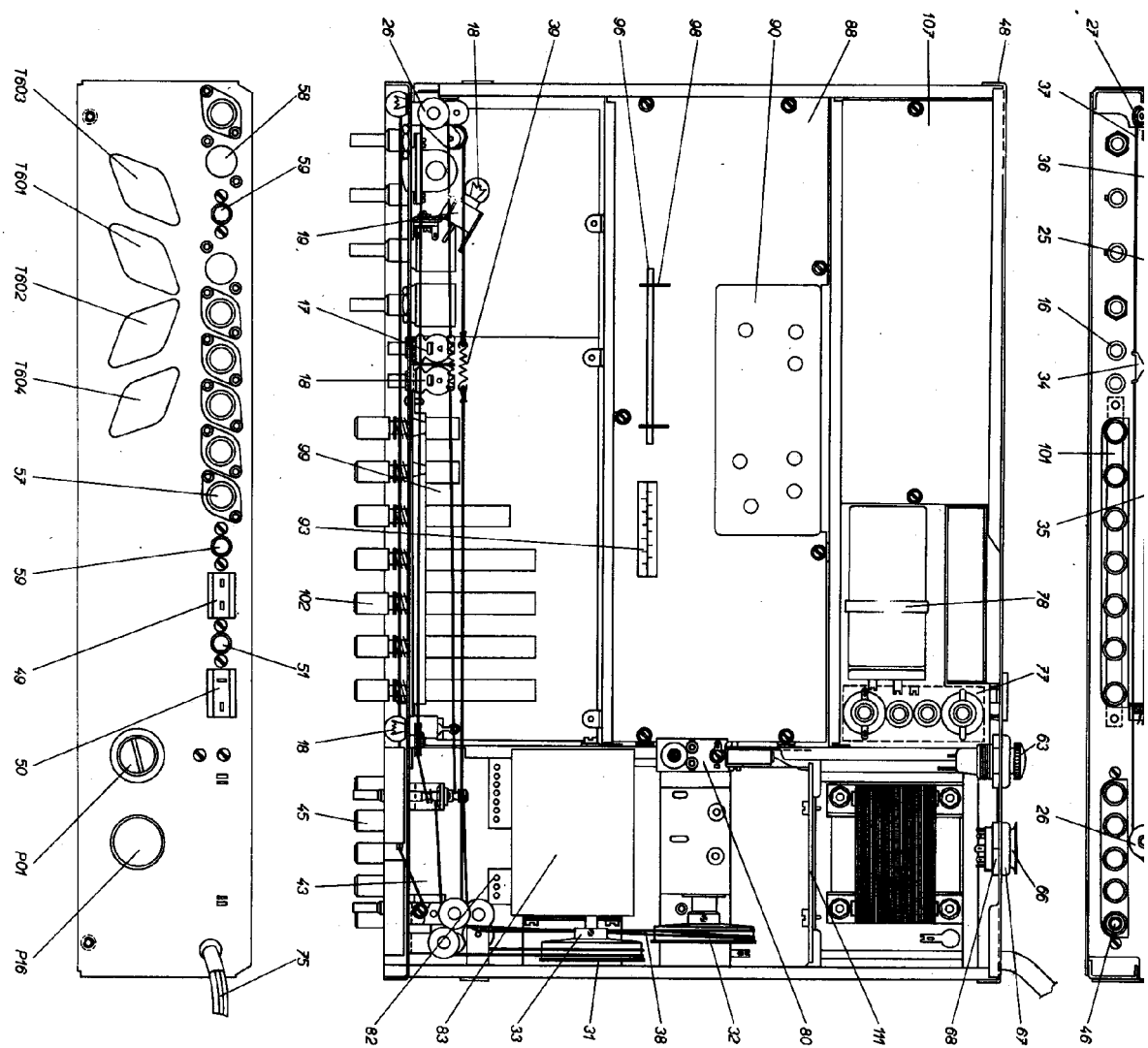




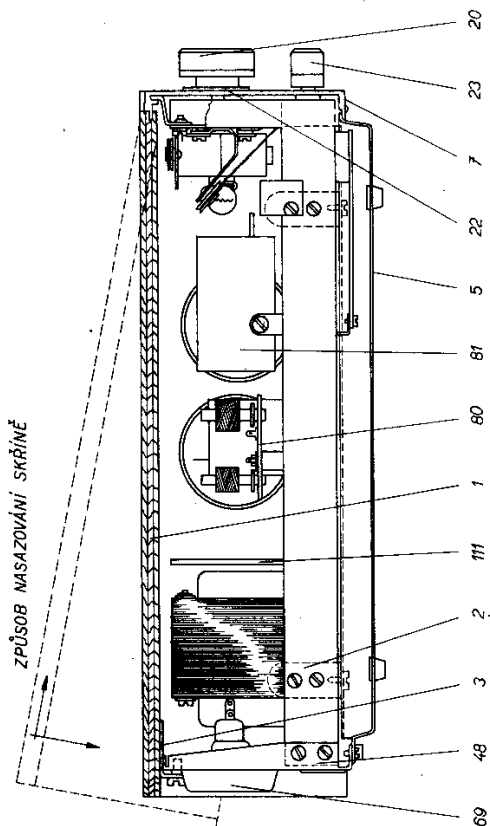


TESLA 810 A SP201

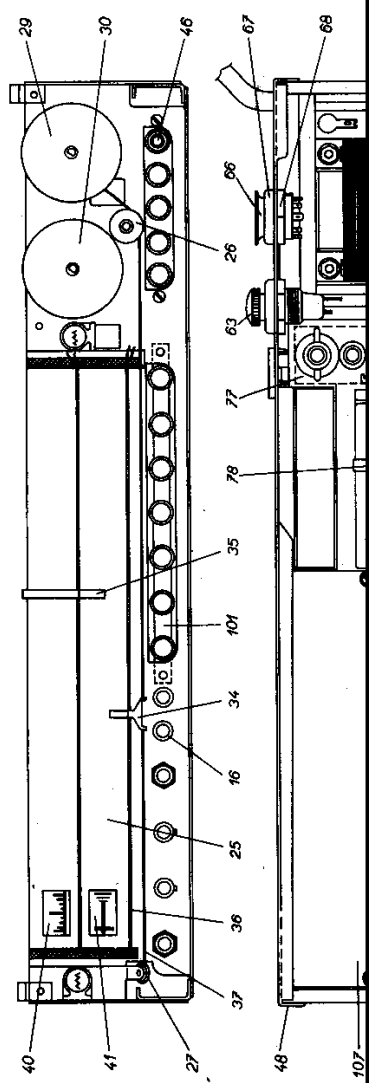


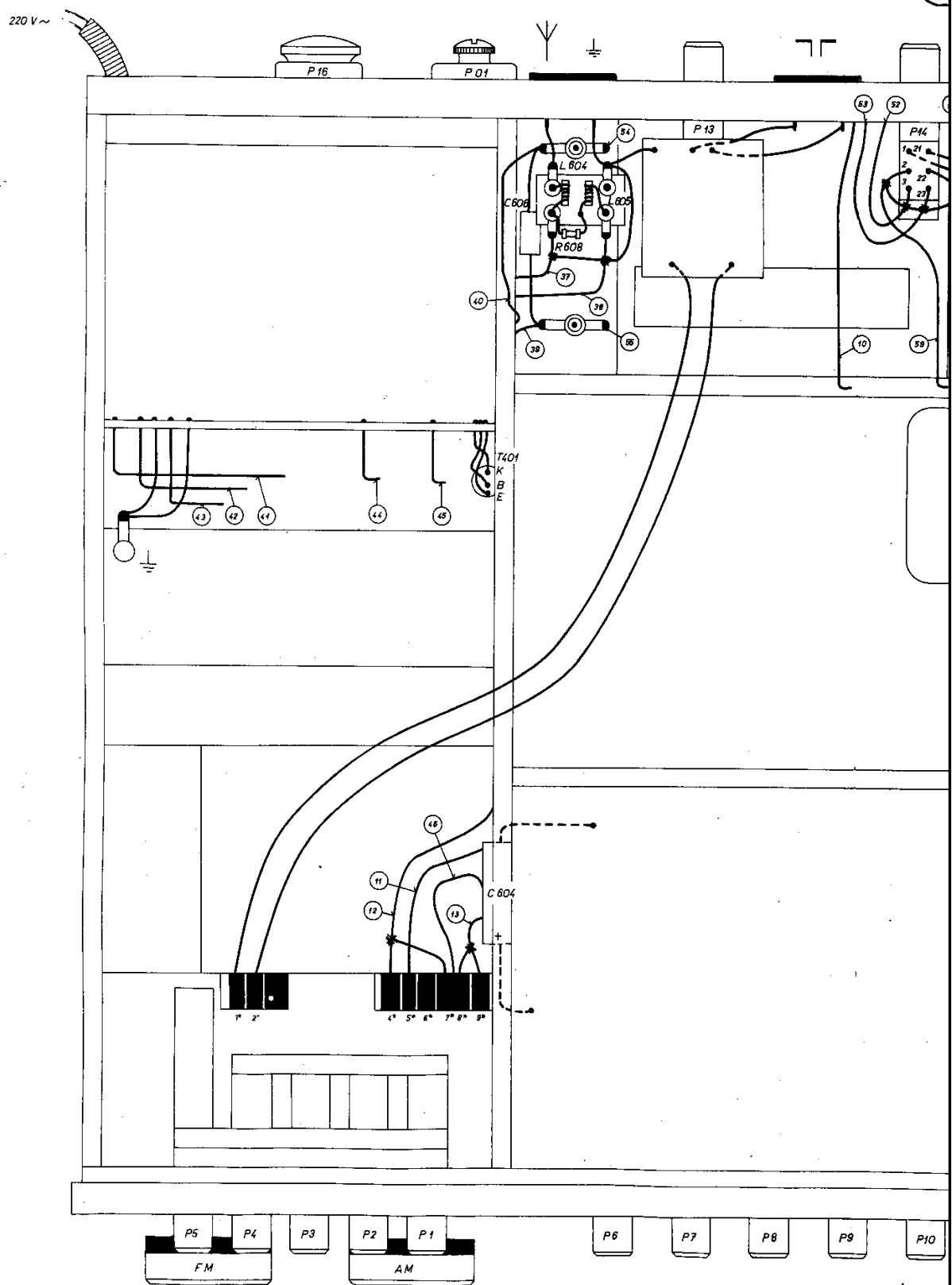


### Obr. 30. Mechanické části řassi

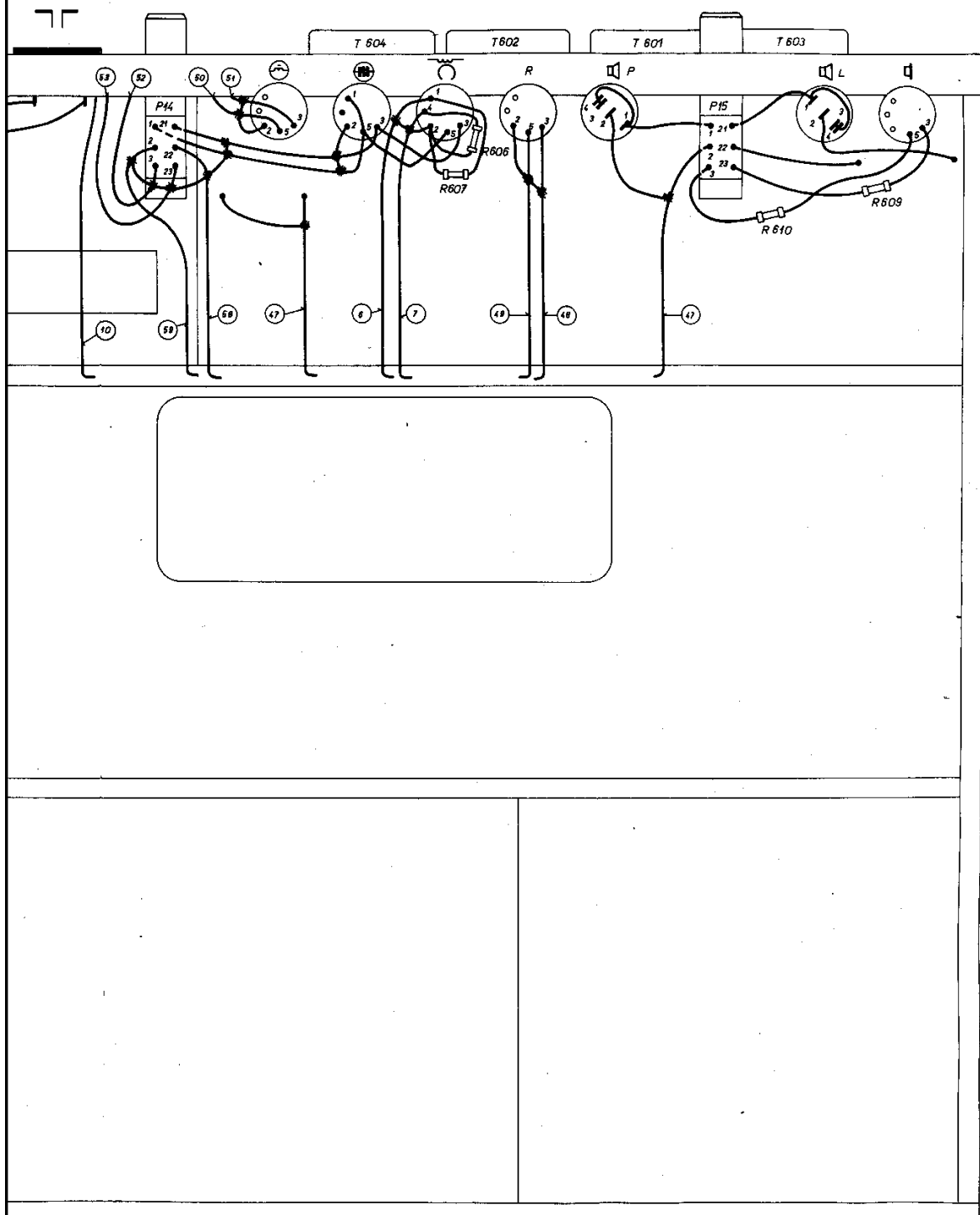


Obr. 29. Mechanické části sestaveného přijímače

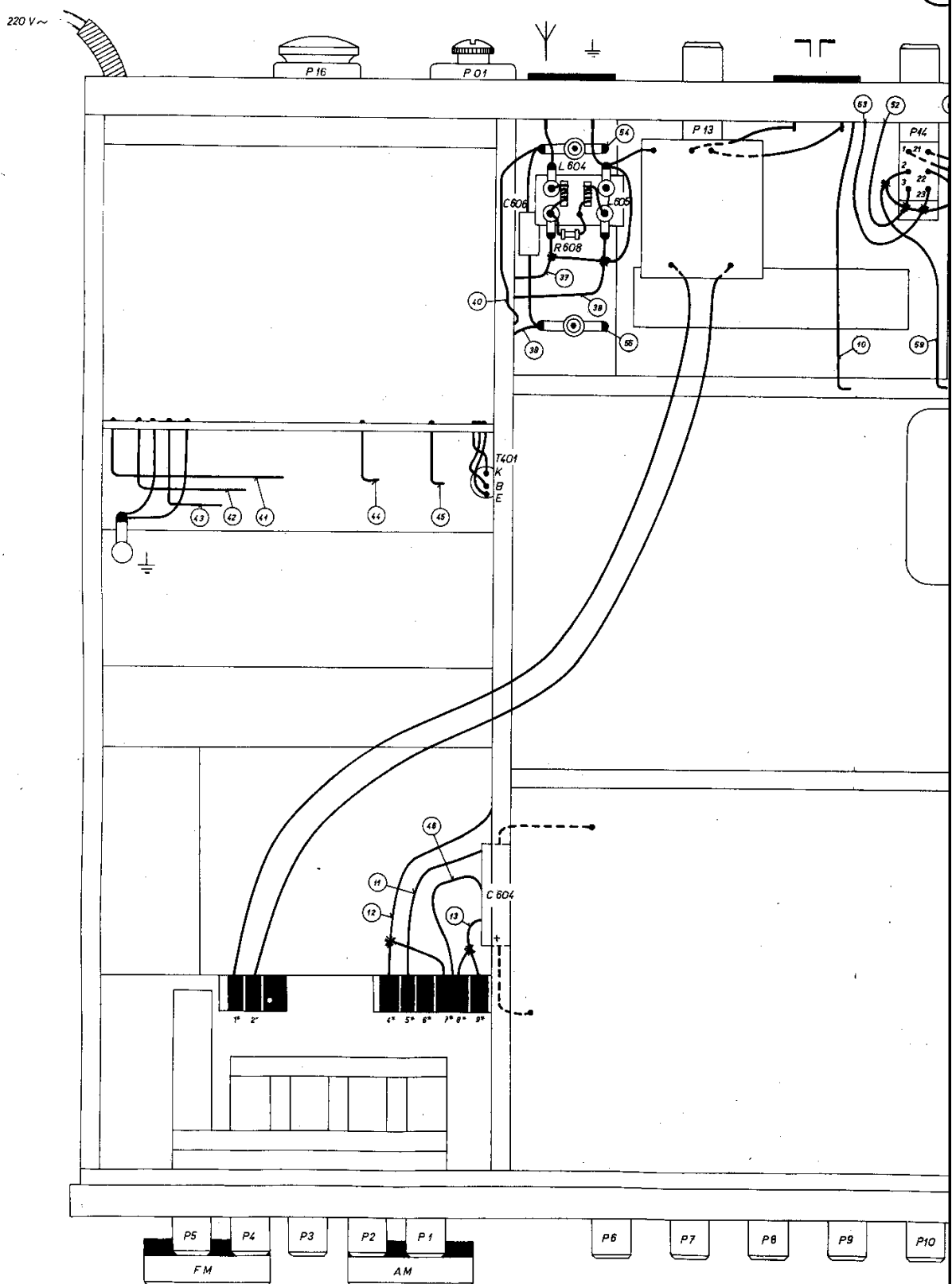




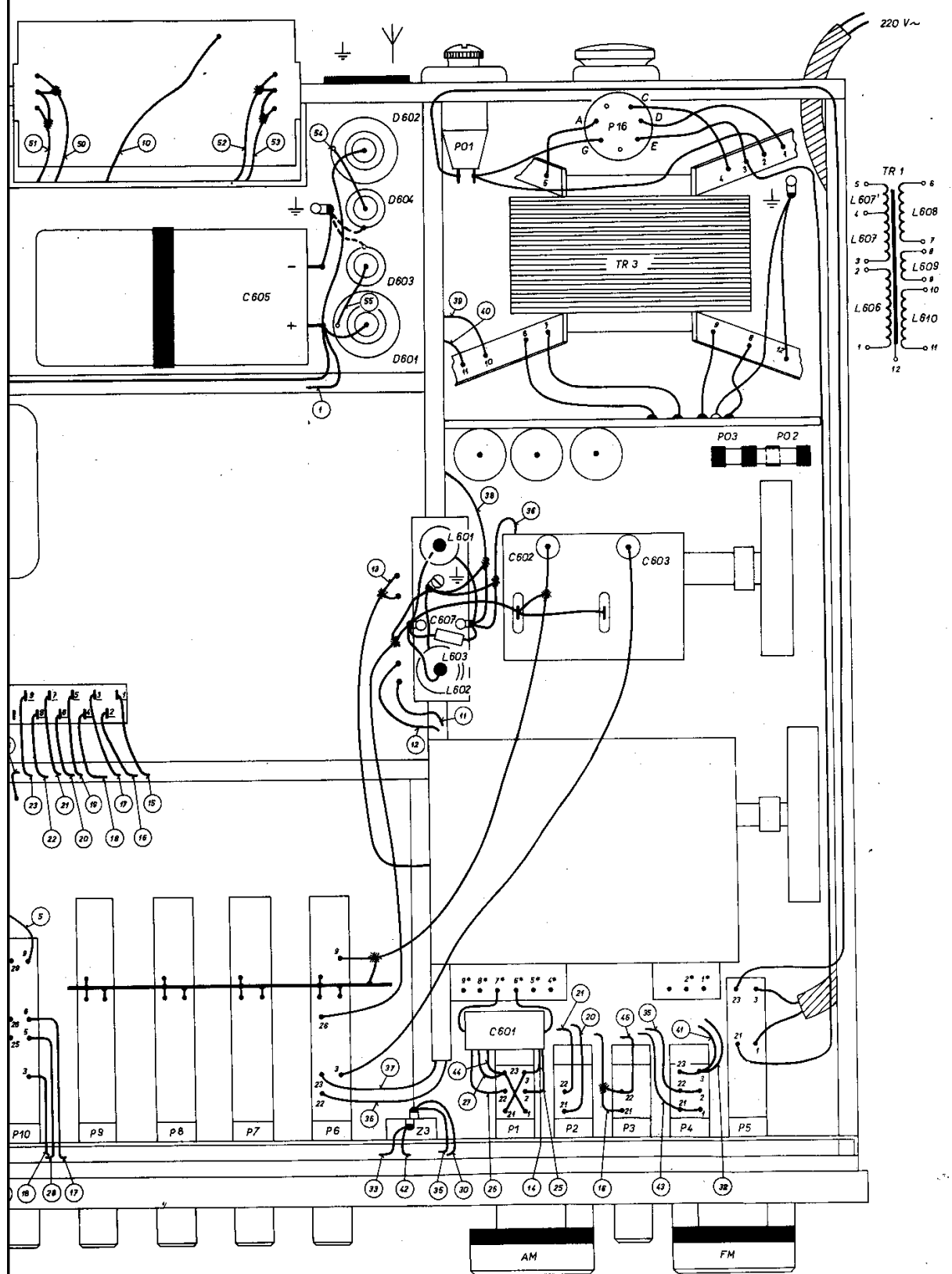
44

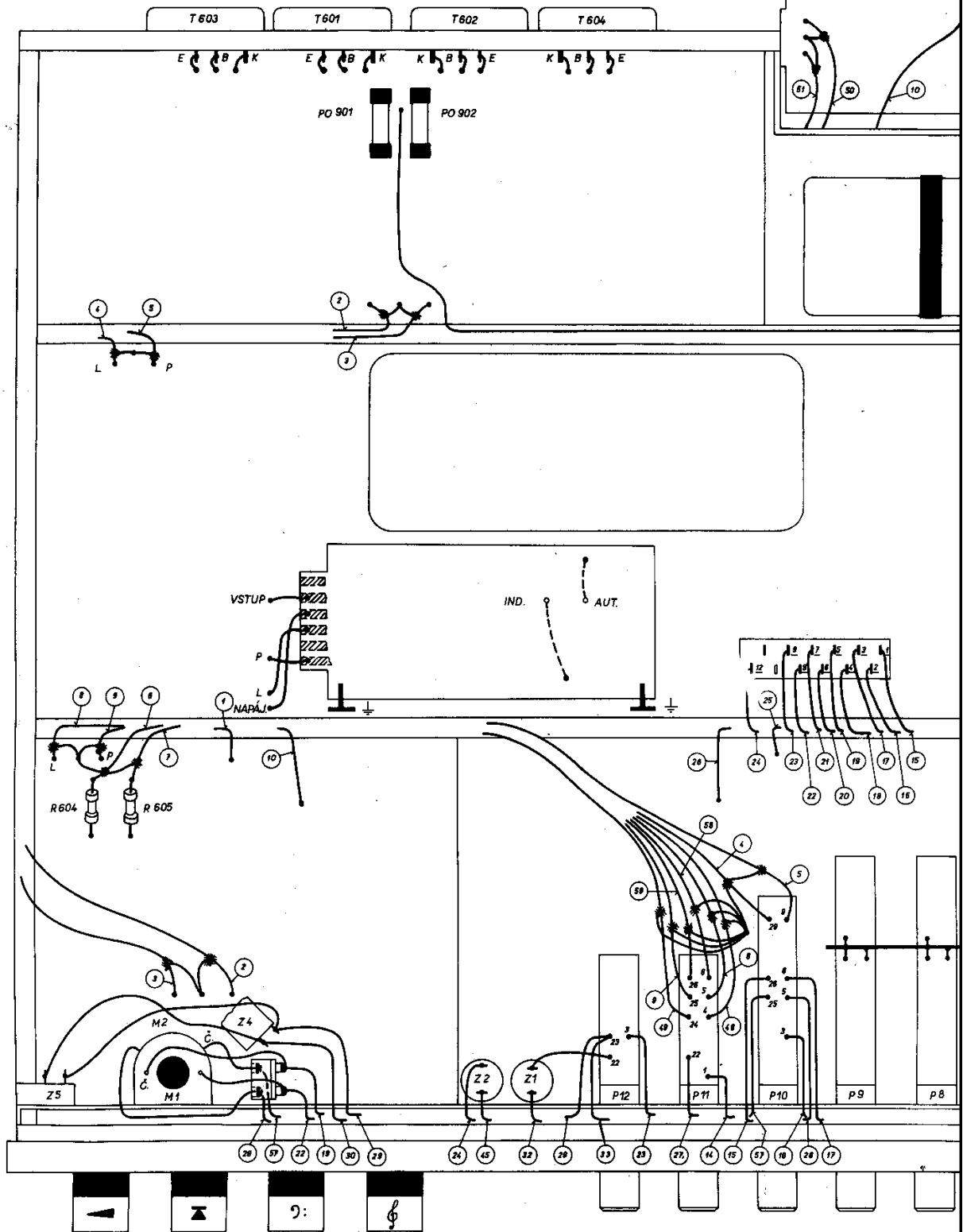


TESLA 810A

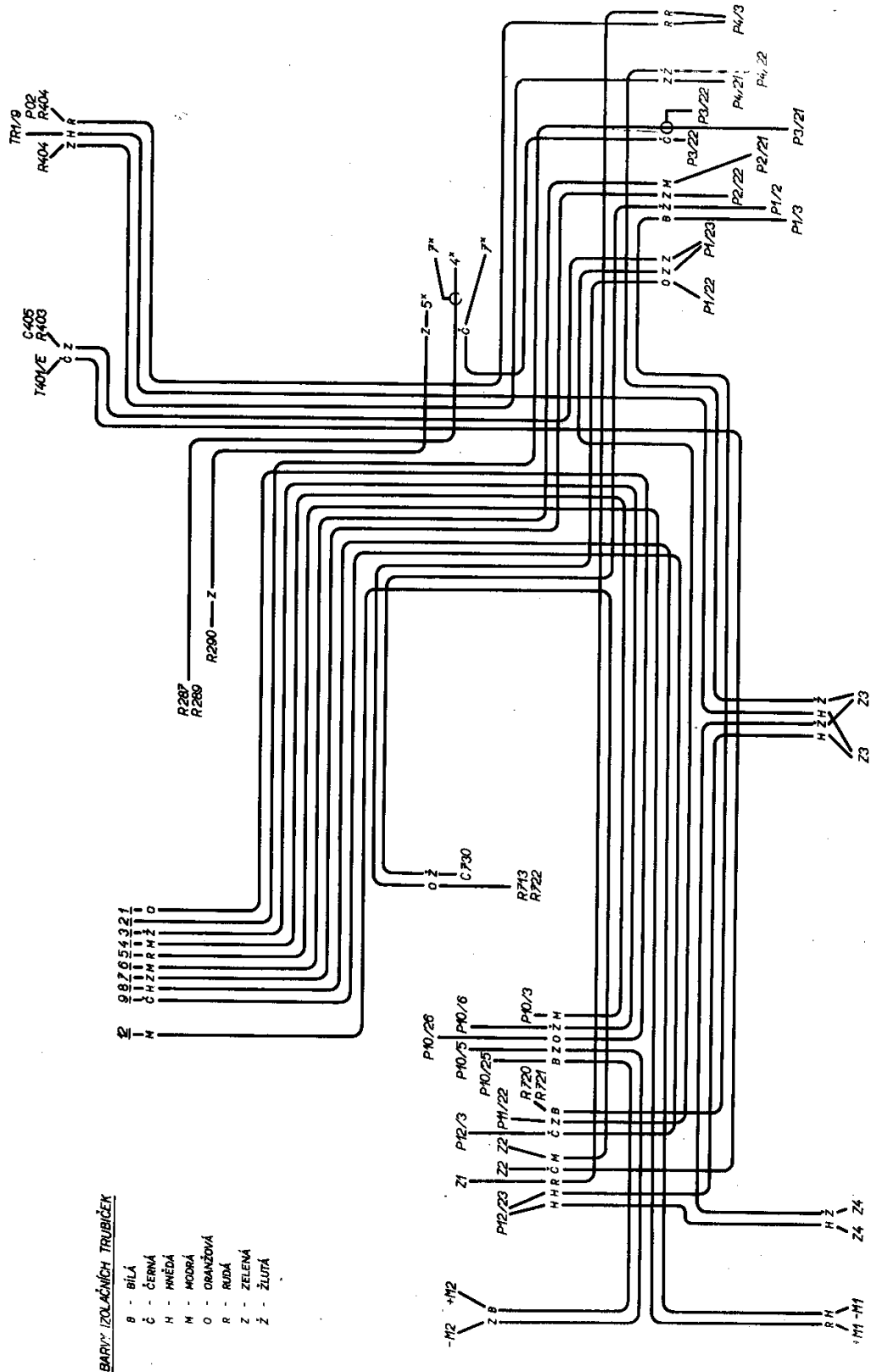


(44)

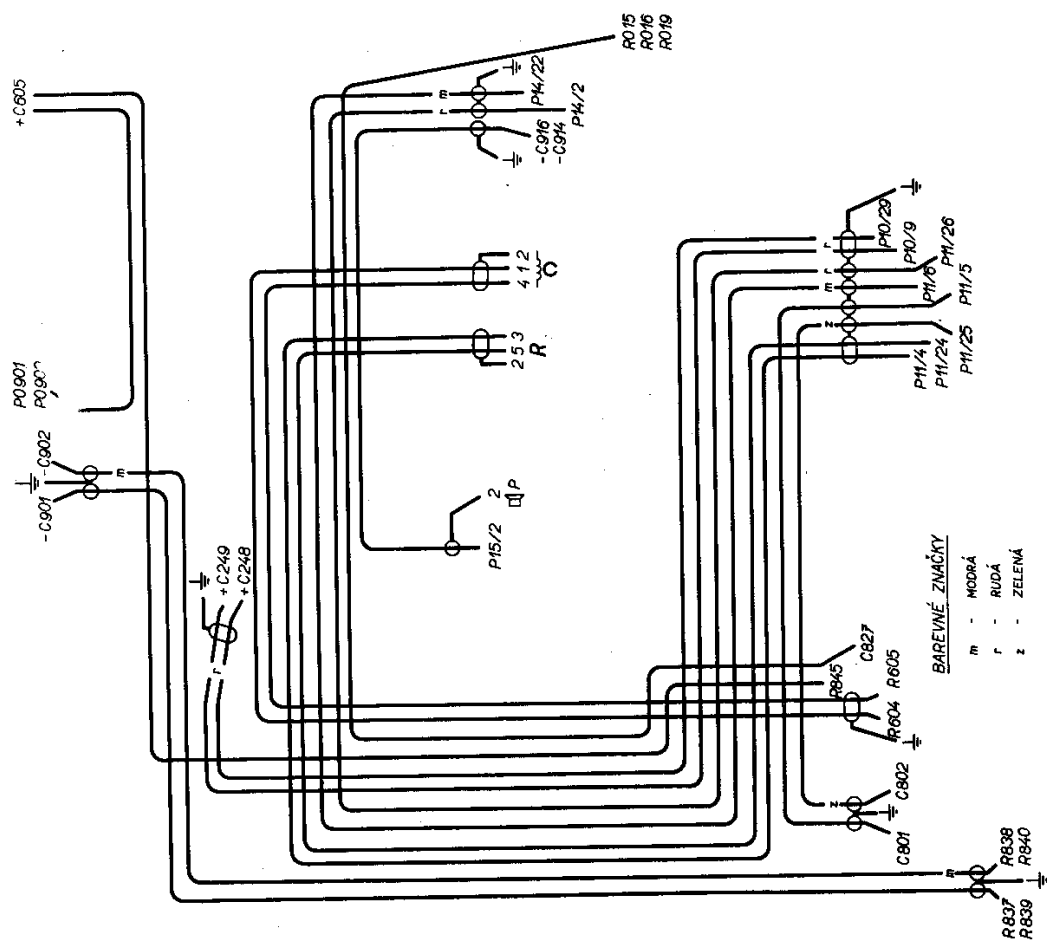




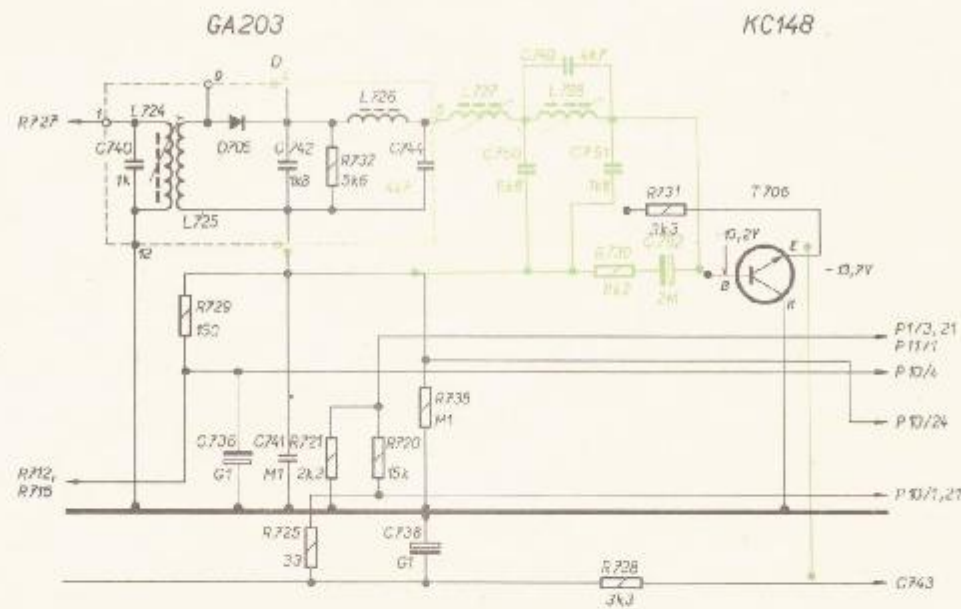
**TESLA 810A**



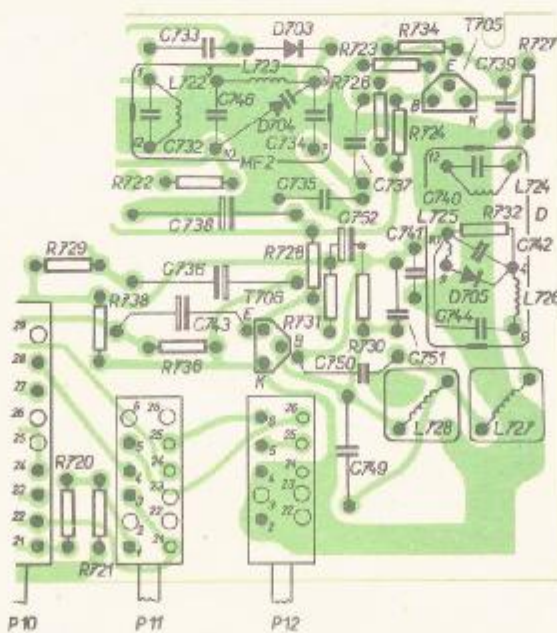
Obr. 27. Schéma zapojení svazku vodičů, díl 95



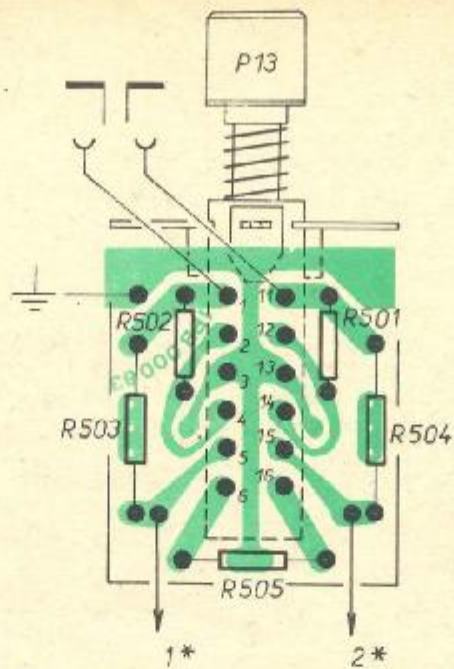
Obr. 28. Schéma zapojení svažku vodičů, díl 116



Obr. 16. Zméněné zapojení detekčního obvodu pro am

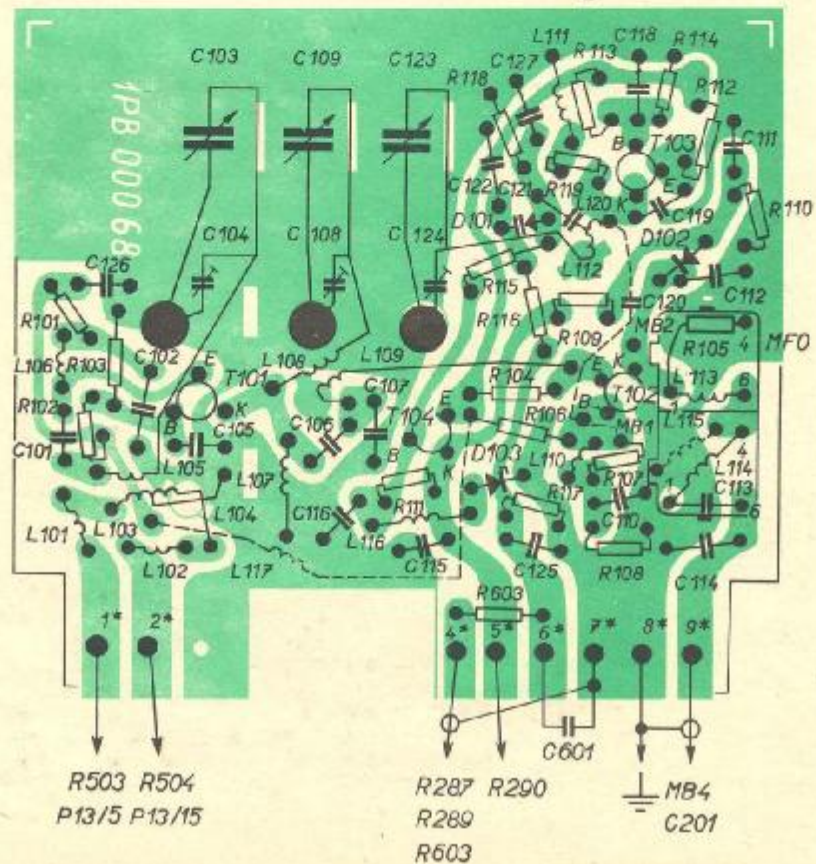
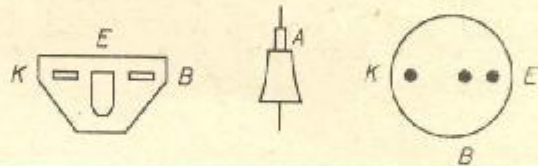


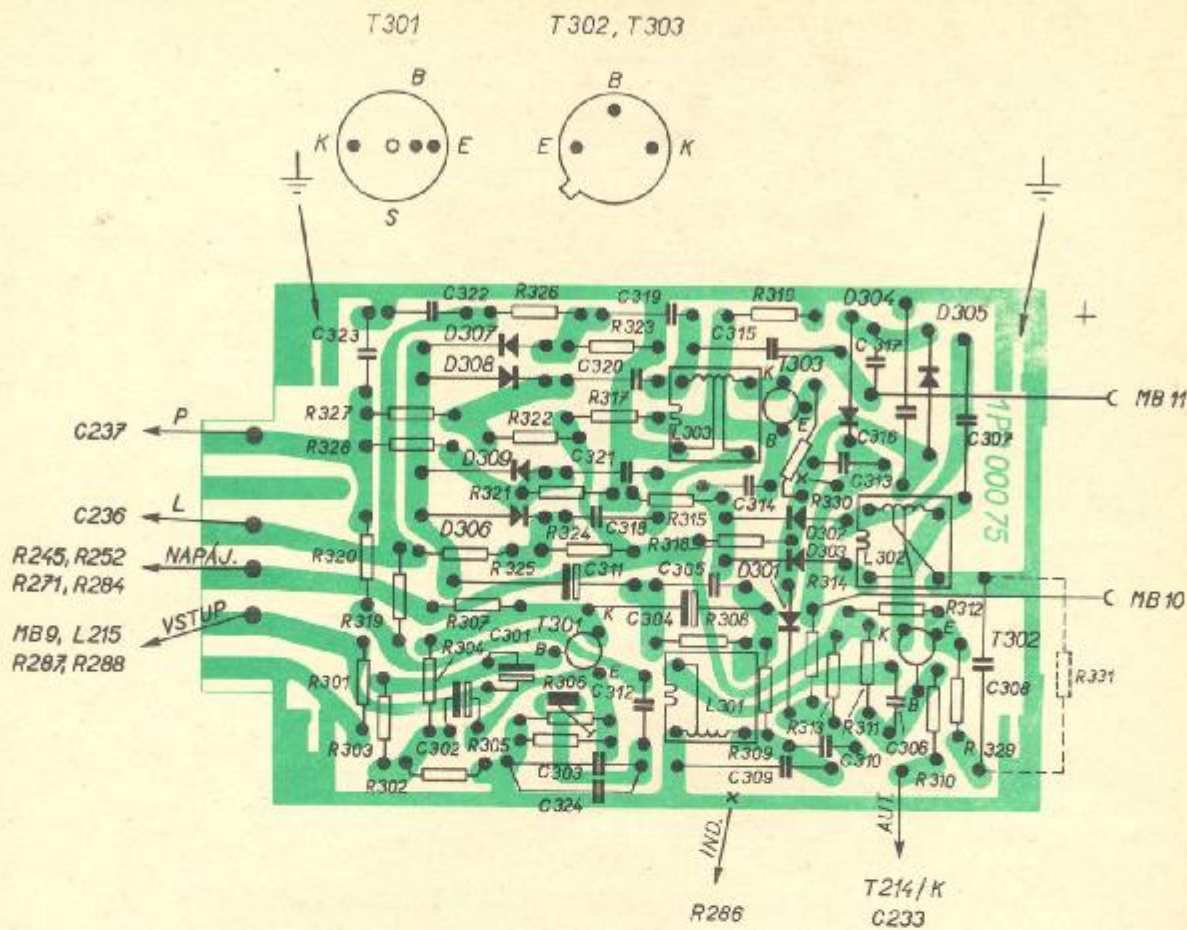
Obr. 17. Montážní zapojení detekčního obvodu



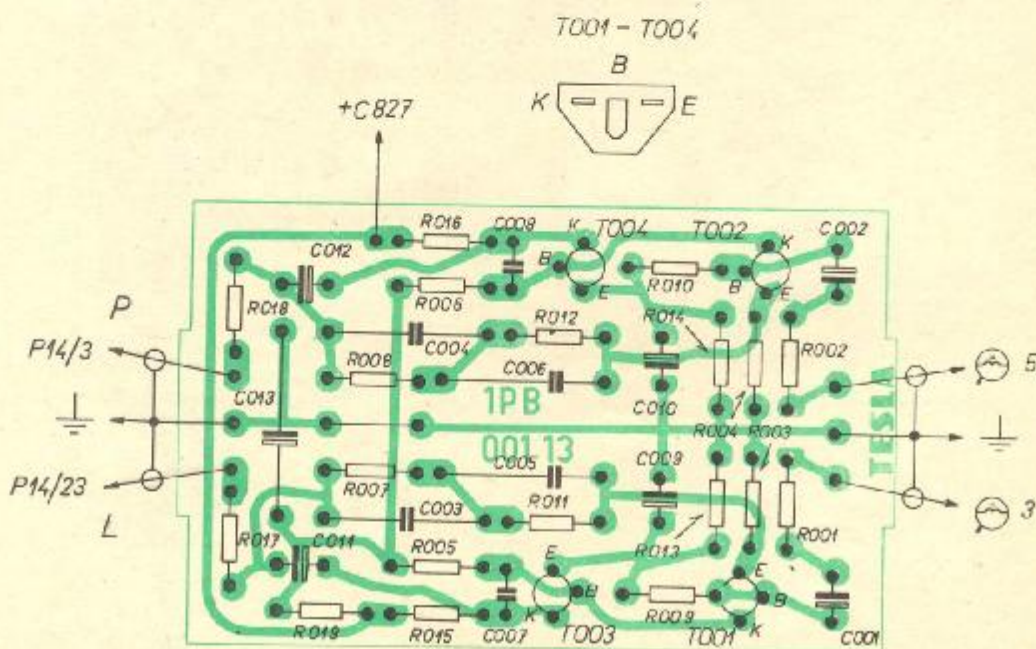
Obr. 18. Montážní zapojení anténního útlumového členu

**T101 - T103**      **D103**      **T104**

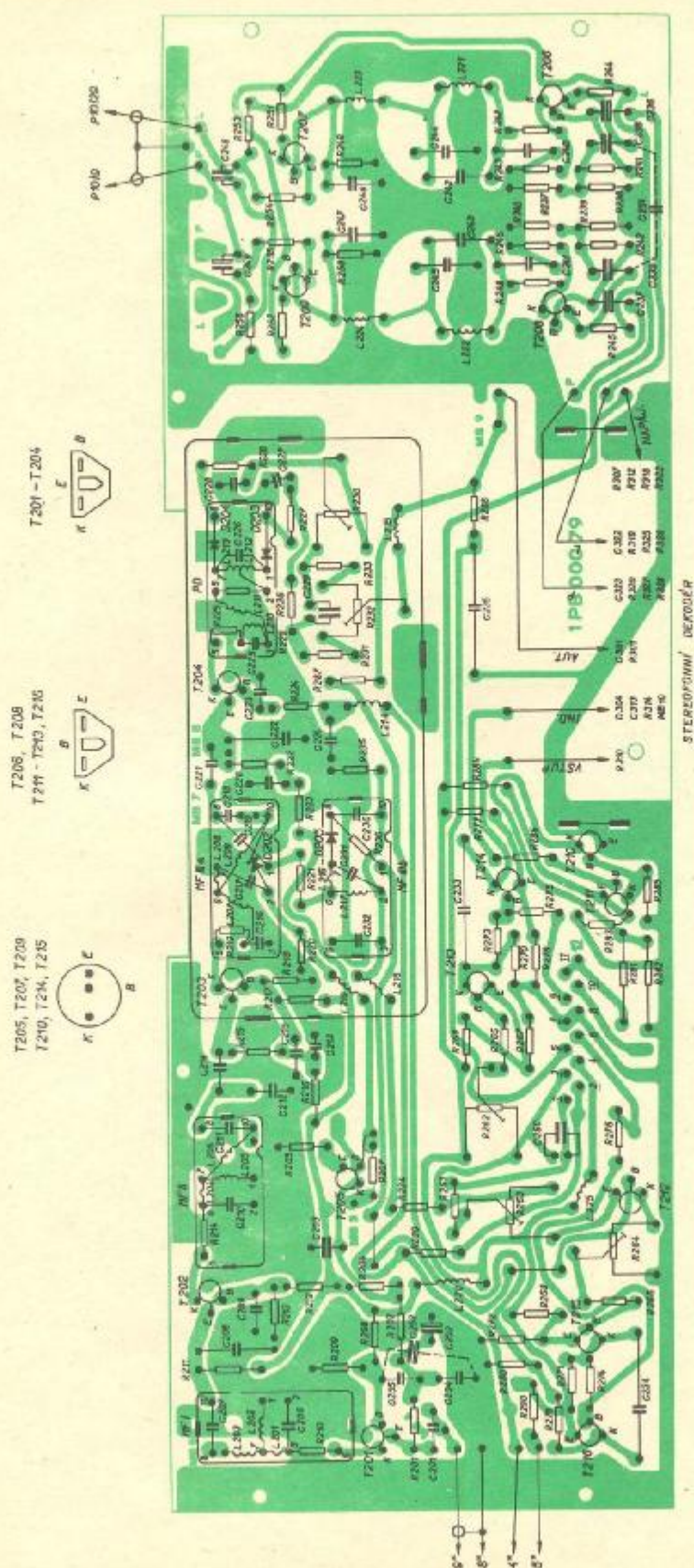




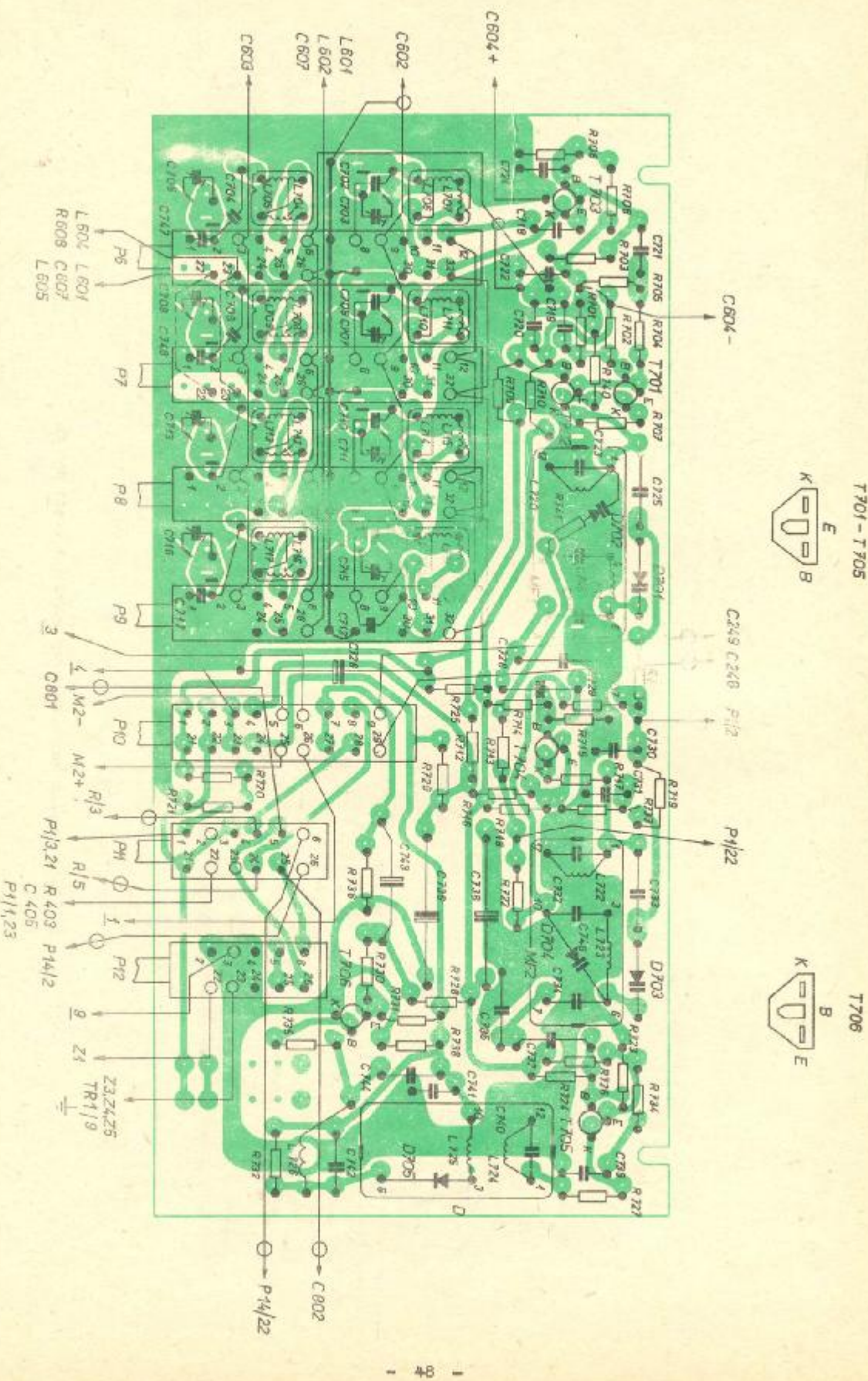
Obr. 20. Montážní zapojení stereofonního dekódéru

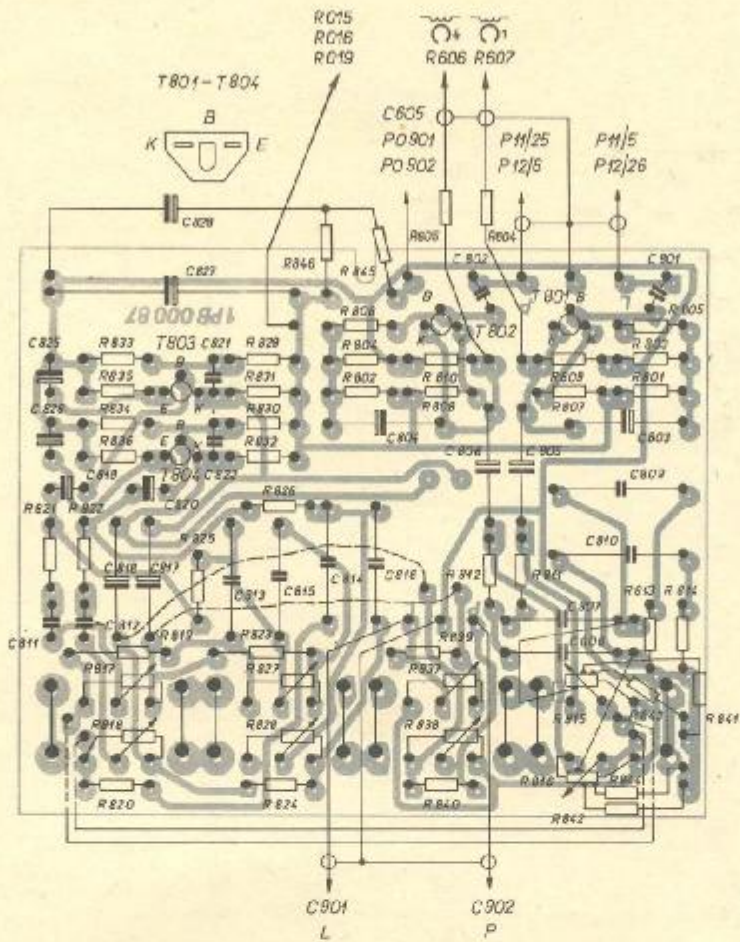


Obr. 21. Montážní zapojení korekčního předzesilovače pro přenosku

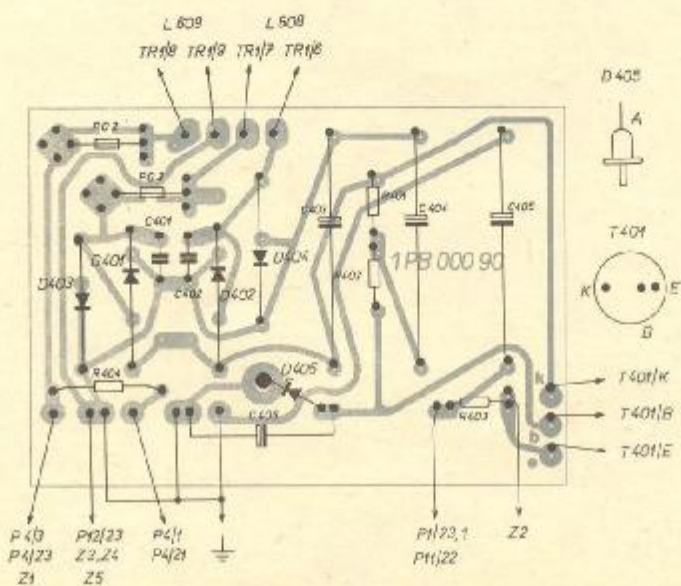


Obr. 22. Montážní zapojení mezikrejčkovní časti pro fm

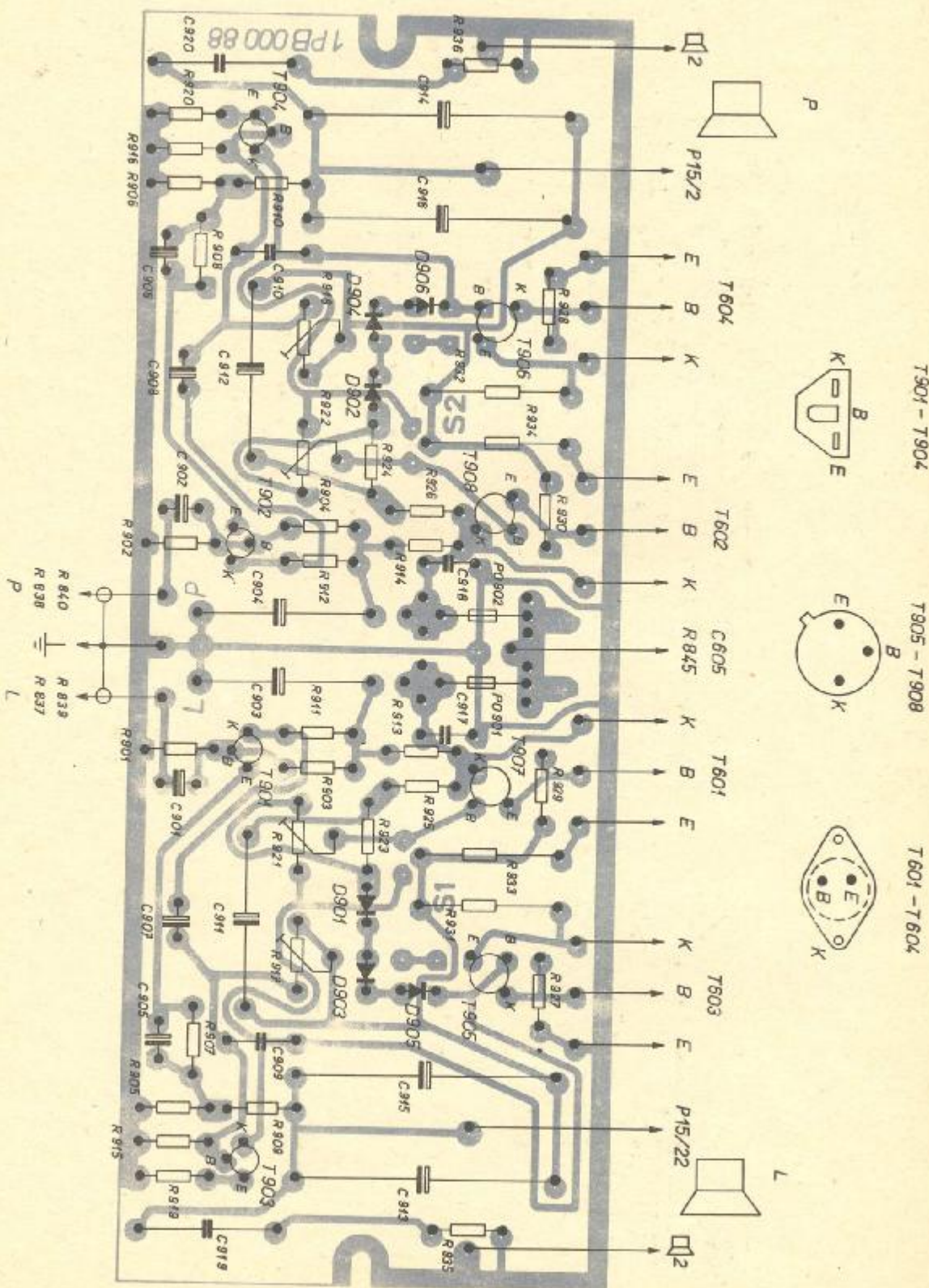




Obr. 24. Montážní zapojení korekčního zesilovače



Obr. 25. Montážní zapojení stabilizátoru



Obr. 25. Montážní zapojení výkonového oscilátoru